

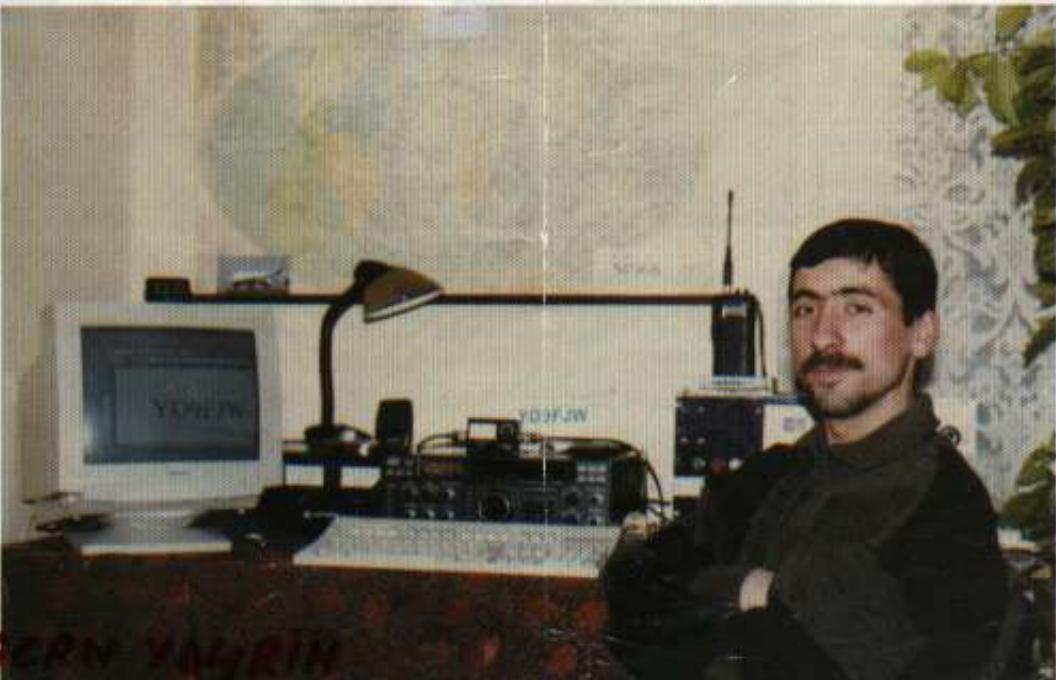


# RADIOCOMUNICATI

## "RADIOAMATORISM"

3/2001

PUBLICAȚIE EDITATĂ DE FEDERAȚIA ROMÂNĂ DE RADIOAMATORISM



**YO9DFQ** - Ștefan, secretar al C.J.R. Ialomița, unul din principalii animatorii ai activității de radioamatorism din acest județ.

**YO9DFQ**

ITU 28 CQ 20  
KN34QN

RST:  
MHz:  
Mode:  
UTC:  
Date:  
Radio:

COSCIUG STEFAN PO BOX 14: 8400 SLOBOZIA OP2 Stef

TNX FOR NICE QSO PSE QSL TXN

Impreună cu **YO9BVG** -  
Florian Florescu -  
Secretarul C.J.R.  
Teleorman (cu șapă în  
fotografie), echipa radio-  
clubului județean  
participă la un concurs de  
Unde Ultrascurte.

#### CQ YO

Ordonanța de Urgență cu privire la valorificarea bunurilor scoase din funcțiune aflate în administrarea Ministerului Apărării Naționale se află publicată în Monitorul Oficial partea I, nr. 286-22.06.1999

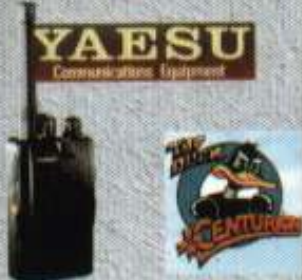
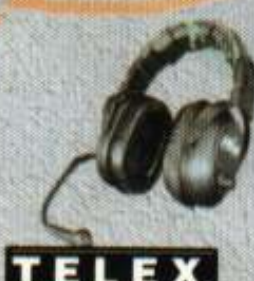


**RCS**

**Radio Communications & Supply**  
Magazin: Str. Mamulari nr.11, et.1  
Tel/Fax: +4 (01) 3150939, Mobil: +4 (094) 366147, +4 (094) 806902,  
E-mail: office@rcsco.com web: www.rcsco.com

**SmarTrunk Systems, Inc.**

**TELEX**  
LMR



# CRAIOVA REDIVIVA!

Anunțată din timp, adunarea anuală a radioamatorilor din jud. Dolj se prevedea a fi interesantă. Participare impresionantă.

Cuvântul de deschidere a fost rostit de Costel-YO7ARZ, președintele comisiei județene, care saluta pe cei prezenți și prezintă oaspeții (ing. Vasile Ciobanita-YO3APG, secretarul general al Federatiei, ing. Ilie Mihaescu -YO3CO, redactorul șef al revistei "CONEX CLUB" precum și cei sosiți din jud. Gorj și anume: Marcel-YO7BSN cu fiul sau Robert-YO7LWA și Dorel-YO7BUT din Targu Jiu precum și Petrica-YO7LTO din Turceni și Costi-YO7HBY din Balcesti-Valcea).

S-a pastrat un minut de reculegere pentru cei care au facut Silent-key; Stanica Petre -YO7LHF ex YO7GH și Parjol Mihai YO7CJG.

Prezentarea materialului a fost facuta de Marian-YO7CKP care a punctat principalele realizari pe plan sportiv și tehnic. S-au acordat premiile pentru anul 2000:

Concursul internațional "OLTEANIA- 145 MHz" editia VI-a

- Mariana-YO7LXT, locul I (stătii fixe) cu 429.240 pct.

- Cristi-YO3FFF/P, locul I (stătii portabile) 490.014 pct.

Concursul internațional "OLTEANIA- 50 MHz" editia IV-a.

- Emil-YO7VJ, locul I (single operator) cu 74.756.636 pct.

- Mariana YO7LXT, locul I (multioperators) cu 189.221.340 pct. Locurile I au primit trofee sponsorizate de Radioclubul Județean din Targu-Jiu prin efortul lui Marcel-YO7BSN.

Locurile I, II și III au primit Diplome, clasamentele complete pe anul 2000 și regulamentele Concursurilor "OLTEANIA" pe anul 2001.

Comisia Județeană este formată din: YO7ARZ - Vasile Constantin - președinte; YO7CKP - Marian Trincu - secretar; YO7BGA - Panait C.tin; YO7VS - Schmidt Ditmar; YO7LGI - Haizman Dtru; YO7LCZ - Efrim Dorel și YO7LHA - Marcel Năstase, care răspund de diferite domenii de activitate, respectiv: US, UUS, Comunicații digitale, RGA și QSL-uri.

In Dolj există 5 radiocluburi și 97 de radioamatori de emisie.

D-l Mihaescu-YO3CO a înmânat participanților la adunare numeroase reviste "CONEX-CLUB" și a arătat disponibilitatea de a oferi pentru radiocluburi precum și solicitantilor din scoli sau instituții cu specific electronic în mod gratuit revista menționată.

S-a amintit spozorizarea facuta de Cor Moerman-PA0VYL prin intermediu lui Mihai-YO7LHN care a oferit un lot de transceiver T-813 (90 buc.) ce a permis dotarea majorității membrilor Radioclubului YO7KAJ. Am mai scris despre acest sapt în revista noastră dar acum se subliniază saptul ca a sosit și cel de al doilea lot. Modificările efectuate pentru aducerea în banda și alte facilități au fost facute de către Sabin-YO7EA, Gusi-YO7LJJ și Samir-YO7LMU. Sau atașat la aceste modificări Dorel-YO7AOT, Vasile-YO7AWZ, Ovidiu -YO7LTI, Telu - YO7BGA.

Din două exemplare, Samir-YO7LMU a executat și pus recent în funcțiune un retranslator zonal pe canalul R-0 iar Sabin-YO7EA, din alte două aparate a executat un retranslator care să preia semnalul din R-4 (Vf. Omul) și să acopere, pe o frecvență de simplex, întreaga zona a orașului Craiova și imprejurimi.

Pentru inceput, cu scopul stabilirii amplasamentului optim (cu minimum de perturbări dela, și către vecini) acesta va fi pus experimental în funcțiune și va fi testat o perioadă de timp din mai multe amplasamente.

Problema este deosebit de dificilă având în vedere puternicile perturbări provocate pe același canal R-4 de către

retranslatoarele vecinilor....

O altă spozorizare a fost facuta de Florenta -YO7LEZ și Sorin-YO7COV, ambii manageri la INTERNET- OLTEANIA. Aceștia au oferit cont pentru conectarea calculatorului de la YO7KAJ la internet precum și spațiu nelimitat pentru gazduirea paginei WEB a Radioclubului YO7KAJ.

In viitorul apropiat se va înlocui conectarea prin linie telefonică cu conectarea prin radio. In plus au permis conectarea directă a Reg. 46 Transmisii, conectare prin care YO7KJL va face un Gateway din PR în rețeaua Internet.

Însă Reg. 46 Trs. a devenit de mult un important sponsor, care printr-o deosebită colaborare cu radioclubul județean, a susținut misarea de radioamatori prin oferirea spațiilor pentru desfășurarea unor activități, chiar prezența adunare a avut loc în sala de club a unității. Mai mult, intreg "staff"-ul conducerii unității este compus din radioamatori autorizați activi ca Mihai-YO7LHM, Doru-YO7LGI, Radu YO7LHT, Dinca YO7CFD.

Se intenționează gasirea altor sponsori care să ofere sprijin în desfășurarea în toamna a lucrărilor Simpozionului aniversar "75 ani de la prima emisiune radiodifuzată din Oltenia", emisiune efectuată de radioamatorii din Craiova.

- continuare în pag. 2 -

## CUPRINS

Transceiver U.S. pe 6 benzi - TS6B-HM .....	3
Analizor de Spectru .....	13
Antene, de la bază .....	17
Elemente de circuit microstrip .....	23
Rubrica vizitorului radioamator .....	25
Cupa "I Decembrie" .....	27
George Boole - părintele logicii simbolice .....	28
Imbunătățirea stabilității frecvenței de lucru la transceiverul A 412 .....	29
Antenă activă pentru banda de 2200 m .....	30
Ontario QSO Party .....	31
Cupa Feroviarului .....	32
Concursul US "Dunărea de Jos" .....	32

**Coperta I-a: YO2II - Sandu din Arad inițindu-și nepoțica în tainele radioamatorismului.**

**YO9FJW - Ionuț un pasionat radioamator din Pucioasa.**

### Abonamente pentru Semestrul I - 2001

- Abonamente individuale cu expediere la domiciliu: 46.000lei
- Abonamente colective: 41.000 lei

Sumele se vor expedia în contul FRR: Trezoreria Sector I București 50.09.42666.50, mentionând adresa completă a expeditorului.

### RADIOCOMUNICATIISIRADIOAMATORISM 3/2001

Publicație editată de FRR; P.O.Box 22-50 R-71.100

București tlf/fax: 01/315.55.75

e-mail: yo3kaa@penet.penet.ro

Redactori: ing. Vasile Ciobăniță

dr. ing. Andrei Ciontu

ing. Ștefan Laurențiu

std. Gabi Frățescu

std. Octavian Codreanu

YO3APG

YO3FGL

YO3GWR

YO3GIQ

YO4GRH

DTP: ing. George Merfu

YO7LLA

Tiparit BLANCA SRL; Pret: 6000 lei ISSN=1222.9385

de diagrama de radiație, antena va putea avea totuși un ciștig (provenit din directivitate) în comparație cu radiator izotrop cu pierderi identice.

### Adăugind elemente...

Acolo unde considerentele de spațiu nu sunt importante, de exemplu în instalații fixe, cum ar fi stațiile care recepționează semnale de telemetrie de exemplu de la un bazin de acumulare la dispecerat, legătura poate fi realizată fără utilizarea unor puteri mari la emisie, dacă se utilizează antene cu ciștig mai mare decât dipolul în semiundă.

Se poate obține o astfel de antenă dacă adăugăm elemente "parazite" dipolului în semiundă. Să ne imaginăm un element ceva mai mare decât jumătate de lungimea de undă, plasat aproape de dipolul în semiundă, în partea opusă emițătorului, așa cum se arată în Fig. 12. Acest element, denumit reflector re-radiază toată energia pe care o primește, dar ea va fi defazată (în avans) față de energia sosită pe dipol de la emițător. În momentul în care energia re-radiată de reflector ajunge la dipolul în semiundă, ea este în fază cu semnalul de la emițător, întărinind-l. În mod asemănător, un element ceva mai scurt, denumit director și amplasat în fața dipolului are un efect asemănător: adaugă un cimp util în dipol. Se pot adăuga și multe directoare (scutate proporțional) pentru a spori ciștigul. Spre deosebire de directoare, prin adăugarea în continuare a unor reflectoare nu se obține un ciștig suplimentar.

Astfel de antene, de tip Yagi, care pot avea 18 elemente și chiar mai mult, pot avea ciștiguri de pînă la 15dB comparativ cu radiatorul izotrop. Utilizând cîte o astfel de antenă și la emițător și la receptor puterea necesară realizării legăturii se poate reduce de pînă la 400 de ori față de cazul în care se utiliza numai un dipol.

### O altă modalitate de sporire a ciștigului

O altă modalitate de sporire a ciștigului este însumarea semnalului provenit de la mai multe antene. În Fig. 13 se arată un

### DIPLOMA GIRF 2001

*Grupul Radioamatorilor feroviari din Italia instituie aceasta diploma pentru legături/recepții cu stații membre ale clubului, efectuate în perioada 1 - 15 martie.*

*Diploma are urmatoarele clase:*

<i>Diploma A - benză: 1,8 - 3,5 - 7 MHz</i>	<i>20 puncte</i>
<i>Diploma B - benză: 14 - 21 - 28 MHz</i>	<i>5 puncte</i>
<i>Diploma C - benză: 50 - 144 - 432 - 1296 MHz</i>	<i>10 puncte</i>

*Se admite orice mod de lucru. Fiecare legătură/recepție se cotează cu un punct, cu excepția unei stații speciale "Jolly" care va fi altă în fiecare seara și care se cotează cu 3 puncte. Cererile cuprinzând extras de log și 15 ITC-uri se vor expedia la Mariotti Gianfranco - via Postioma 112-31050 Villorba (TV), pana la 30 aprilie 2001.*

**GERMAN ISLAND AWARD/GERMAN IOTA Ric, DL2VFR, spune că informații despre insulele germane valabile pentru diploma GERMAN ISLAND AWARD se găsesc în Web page: <http://www.iota-post.com>**

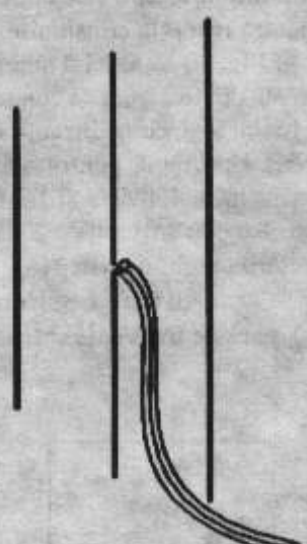


Fig. 12 O antenă Yagi are un reflector în spatele dipolului în semiundă și unul sau mai mulți direcțori în fața acestuia.

grup de dipoli în semiundă în față unui plan conductiv care, în practică, poate fi format dintr-o plasă de sirmă.

Utilizând un combinator hibrid (*hybrid combiner*) cu un număr corespunzător de intrări, semnalul de la toate antenele se însumează în fază. Cu un astfel de grup, apertura efectivă poate atinge dimensiuni comparabile cu suprafața fizică de dispunere a antenelor elementare, putind atinge valori egale, de exemplu, cu  $\lambda^2$ . Pentru a spori și mai mult ciștigul, fiecare antenă elementară poate fi înlocuită cu o antenă Yagi. Asemenea grupuri, foarte directive, de antene asigură un ciștig mare într-o direcție pe seama reducerii ciștigului pe celelalte direcții. Pentru a vă imagina de ce este așa este suficient să vă gîndiți la folosirea unei astfel de antene pentru emisie.

Puterea emisă este concentrată numai într-o anumită direcție, în defavoarea altora. Această directivitate este foarte utilă și la recepție. Nu se obține numai o creștere a sensibilității receptorului pentru anumite direcții ci și o reducere a semnalelor parazite provenite din celelalte direcții.

### Bibliografie

1. Formato, R, *Design wideband antennas*, Electronics World, oct. 1977, pp825-829; aici se regăsesc și alte materiale bibliografice;
2. Hickman, I, *Practical radio frequency handbook*, 2nd Edition, 1997, ISBN 0 75063447 2;
3. Salvati, *High frequency loop antenna*, Electronic Design, 22 iulie 1996 (scurte detalii sunt reproducute în referința bibliografică [2] de mai sus);
4. Virani, *Electrically small antennas*, Journal IERE, 538(6), 266-274, sept-dec. 1988;
5. Fujimoto, și alții, *Small antennas*, Research Studies Press, trad. YO3GWR

### DX MAGAZINE'S 100 MOST WANTED!

Carl, N4AA, Editorul publicației QRZ DX, ne informează că cele mai căutate entități DXCC în anul 2000 se pot găsi în pagina Web <http://www.dxpdb.com>. Pe primele poziții găsim:

1 - P5, North Korea	6 - KH5K, Kingman Reef
2 - VU4, Andaman	7 - YA, Afghanistan
3 - BS7, Scarborough Reef	8 - VP8/SS, South Sandwich Island
4 - 3Y/B, Bouvet	9 - 3Y/P, Peter I Island
5 - VU7, Lakshadweep	10 - 7O, Yemen

### PUBLICITATE

Petrică - YO5CQI caută: Tuburi metalo-ceramice (2 buc.) 4CX250B, 4CX350A sau (1 buc.) 4CX1000, precum și socluri aferente acestora. Tel. 063 364080; acasă 063 362305; E mail: [ilsom@elcom.ro](mailto:ilsom@elcom.ro) cu mențiunea pentru Petrică

YO4NQ dorește să achiziționeze un amplificator de putere în unde scurte, preferabil cu tuburile 811, 572b, finale de baleaj orizontal din TV color sau altceva, astfel încât puterea de ieșire să fie în domeniul 400-600w. Poate fi contactat la : 041/239337 int 1687; 1210 Serviciu; 041/237170 - acasă sau [afilip@cne.ro](mailto:afilip@cne.ro)

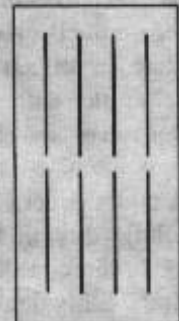


Fig. 13 Un grup de dipoli asigură o creștere a sensibilității într-o direcție prestabilită, ușual pe direcție perpendiculară pe planul suprafeței reflectante. Utilizată împreună cu un dispozitiv de aviere electronică a fazelor pentru fiecare element, această rețea poate avea directivitatea controlată electric.

# TRANSCEIVER U.S. PE 6 BENZI

## TS6B-HM

*Dupa cum se stie sunt multi radioamatori care pe langa traficul radio (realizare de legaturi bilaterale) vor sa se bucur si de satisfactiile rezultante dupa construirea si experimentarea unor aparaturi de trafic. Ma gandesc in special la acei radioamatori care au atat cunostintele tehnice necesare cat si indemnarea corespunzatoare realizarii aparatelor de trafic radio si mai ales doresc sa cunoasca mai concret principiul de functionare ale acestor aparate.*

*In realizarea legaturilor radio bilaterale un rol important cuvine statiei de EMISIE-RECEPTIE (transceiver).*

*Cu anii in urma acest echipament a fost realizat in exclusivitate de radioamatori. Intre timp au aparut fabrici producatoare de astfel de echipamente care la inceput au preluat idei si solutii de la radioamatori. Pe parcurs insa prin perfectionarea tehnicii si tehnologiei s-au adoptat solutii si realizari care nu se mai pot reproduce de catre amatori mai ales din punct de vedere al design-ului. Pe de alta parte asemenea aparate sunt din ce in ce mai usor procurabile si la noi in tara. Dupa toate acestea se pune intrebarea daca mai merita sau nu sa se depuna esferturi in acest sens din partea radioamatorilor, pentru ca nu mai exista posibilitatea realizarii unei asemenea statii de emisie-receptie cum sunt cele facuta de fabrica. Aceasta intrebare apare cu un accent din ce in ce mai mare, care are ca rezultat descurajarea si a celor amatori care au toate optitudinile necesare si dorinta sa realizeze, sa experimenteze aparate de trafic radio. Aceasta optica generala aparuta in randul radioamatorilor mai ales in ultimul timp, ca nu merita sa pierdem timpul cu constructia de transceiver, pentru ca oricum nu le putem executa ca fabrica, rezulta o ramanere in urma din ce in ce mai mult in cunostintele tehnice referitoare la functionarea acestor aparate.*

*Parerea mea personala este ca intr-adevar nu suntem capabili sa realizam ca fabrica, dar suntem pe deplin capabili sa realizam altfel decat fabrica, cu aceleasi performante sau mai bune, cu un pret aproximativ a zecea parte fata de un aparat de fabrica.*

*In ceea ce priveste performantele aparatului prezentat, am avut ocazia sa fac comparatie cu mai multe aparate ca: Kenwood, TS 520, TS 820, TS 130 sau YAESU FT 101 ZD etc. Sensibilitatea la receptie precum si raportul semnal/zgomot este comparabila cu oricare dintre aparatele mentionate, adica ceea ce s-a putut receptiona cu cele de fabrica a fost perfect receptionat si cu aparatul de fata. La emisie am primit numai cuvinte de lauda de la partenerii cu care am avut legaturi bilaterale.*

*Mentionez ca aparatul a fost prezentat la concursul de creatie tehnica in 1999 la Baia Mare (Sutor) unde a fost clasat pe locul 4 si la concursul de creatie tehnica in 2000 la Budapesta obtinand locul 2 in clasamentul echipamentelor de emisie-receptie.*

*Asa deci ar trebui reconsiderata ideea daca noi suntem sau nu capabili sa realizam aparate de emisie-receptie performante. Avem traditii bune in acest domeniu ca de exemplu transceiverul A412 si altele care au adus satisfactii depline la multi radioamatori YO. Din serice in paginile revistei noastre au aparut multe materiale documentare in acest domeniu, la care as dori sa aduc si eu contributia mea modesta prin prezentarea materialului de fata.*

*Dupa aceasta cam lunga introducere in cele de mai jos urmeaza prezentarea unui transceiver US relativ simplu dar performant*

**Iosif Cuibus - YOSAT**

care satisface pe deplin exigentele actuale de lucru in trafic.

In cadrul prezentarii caut sa explic mai amanuntit functionarea unitatiilor precum si modul de realizare respectiv punere in functiune ale circuitelor si subansamblelor diferite. De aceea imi cer scuze de la cititorii mai pregatiti care considera plitsitor descrierea, dar eu m-am gandit mai mult la cei incepatori care inca nu au experiente suficiente in constructii. Denumirea din titlu -TS6B-HM - provine din cuvintele prescurtate: TS - transceiver, 6 - sase benzi, HM -home made. Functioneaza in cele 6 benzi clasice de unde scurte in modurile SSB si CW atit la receptie cat si la emisie. Puterea de iesire la emisie este de 5W ceea ce satisface conditiile de participare la toate concursurile QRP. Totodata aceasta putere este suficienta pentru atacarea unui amplificator final de 50-100 W. Am optat la varianta QRP intrucat acest mic final de 5W este inglobat in cutia aparatului nu produce o caldura asa de mare ca sa influenteze negativ stabilitatea de frecventa a VFO-ului.

Placile subansamblelor functionale s-au realizat cu tehnologie clasaica intrucat realizarea tehnologiei SMD acasa ar fi fost mai greoai. Pe de alta parte majoritatea pieselor utilizate au fost recuperate din diferite placi si subansamble electronice.

In cele de mai jos prezint cateva instrumente absolut necesare realizarii cu succes a modulelor, subansamblelor respectiv a intregului transceiver.

1. Multimetru universal analog sau digital.
2. Grid-dip metru care cuprinde domeniile de masurare 1-30 MHz. Daca nu disponeti, se poate realiza dupa descrieri aparute in revistele de specialitate.

3. Frecventmetru digital cu posibilitati de masurare de cel putin pana la 25 MHz. Daca nu exista acest instrument se poate trece la construirea prealabila a scalei digitale pentru prezentul aparat care se poate utiliza si la masurarea frecventelor pana la 30 MHz.

4. Osciloscop cu limita de masurare de cel putin 10 MHz. Daca nu exista sa apelam la prietenii care au, sau la institutii unde se folosesc asemenea aparate.

In afara instrumentelor de mai sus sunt utile cateva aparate de masura ca: generator sinusoidal 10 Hz si 100 KHz, vobbler pentru vizualizarea caracteristicii de trecere a filtrelor SSB, generator cu 2 tonuri pentru reglarea nivelului de modulatie optima etc.

Dupa toate aceste enumerari se pune intrebarea daca merita sa achizitionezi atatcea aparate pentru construirea unei transceiver de unde scurte. Eu consider ca cei care abordeaza o asemenea lucrare nu se vor opri la un singur aparat ei vor construi o serie de alte aparate unde la fel sunt necesare masuratori similare. Placile de circuit imprimat sunt realizate pe placi dublu placat unde traseele de circuit se realizeaza pe o parte iar pe patrea opusa ramane o suprafata compacta de masa de care se vor lipi toate terminalele de masa.

Cateva idei si sfaturi pentru cei care doresc sa execute acasa placile de circuit imprimat:

1. Placile dublu placat se taie la dimensiunile aratare in desene.
2. Se curata suprafata placata pe ambele parti prin frecare cu o carpa umedita si imbibata cu praf de curatat. Dupa care se spala bine si se usca.
3. Se aseaza desenul placii pe placă si se fixeaza prin lipire cu banda de lipit (scoci). Ca sa nu deterioram revista, se poate face cate o copie XEROX dupa placile de circuit imprimat.
4. Se puncteaza cu un punctator locurile unde se vor gaurii.

5. Se indeparteaza desenul de pe placa si se deseneaza traseele cu lac sau alta solutie rezistenta la corodare. Traseele se deseneaza foarte atent sa fie identice cu desenul placii.

6. Pe partea opusa se aplica un strat de lac complet pe toata suprafata.

7. Se introduce placa in solutia de corodare (exemplu: clorura ferica) care corodeaza suprafetele nevopsite.

8. Dupa corodare se indeparteaza lacul si se curata din nou prin frecare cu o carpa umeda imbibata in praf de curat obtinand astfel o suprafata curata si lucioasa.

9. Dupa uscare se aplica pe ambele fete o solutie de sacaz dizolvat in acetona, care la urma se usca din nou (cu uscator de par). Pe aceasta suprafata pregatita se poate lipi usor si perfect cu cositor.

10. Se gaureste cu burghiul de  $\phi$ 0,6-0,9 mm acele gauri care apartin traseelor (mai putin punctele de masa).

11. Se intoarce placa si toate gaurile se zencuiesc cu burghiul de  $\phi$ 3 mm .

12. Se intoarce din nou placa si se continua executarea gaurilor cu burghiul de  $\phi$ 0,6-0,9 apartinand punctelor de masa. Se mai executa largirea gaurilor unde se introduc piese cu terminale mai groase cum sunt: terminalele potentiometrelor semireglabile, condensatoarelor trimeri, terminalele tranzistoarelor MOSFET, terminalele transformatoarelor de medie frecventa, terminalele relee etc. Aceste gauri se largesc cu burghiul de  $\phi$ 1,25 mm.

Intrucat placa de circuit al scalei digitale contine trasee pe ambele fete ale placii recomand executarea gaurilor inainte de desenarea traseelor. In felul acesta punctele traseelor pe ambele parti se intalnesc in mod sigur.

Aparatul contine in total cinci module care se vor asambla dupa o schema de conexiune prezentata in cele ce urmeaza:

- modulul de baza
- modulul VFO
- modulul Front-End (A si B)
- modulul PA
- modulul scala numerica

Propun realizarea modulelor in ordinea prezentarii, exceptie poate face scala digitala pentru cei care nu au frecventmetru digital. Inca un amanunt: sa avem la dispozitie o sursa de curent stabilizat de 12-13,8V care sa livreze cel putin 1A la iesire cu protectie la scurtcircuit.

## MODULUL DE BAZA

Cuprinde unitatile functionale care sunt necesare producerii semnalelor SSB si CW la emisie, respectiv receptionarea lor pana la difuzor astfel:

- La receptie contine: mixer comun (emisie, receptie), filtru SSB comun (emisie, receptie), amplificator FI, detector de produs, filtru de joasa frecventa, amplificator final audio.

- La emisie contine: oscilator local pentru SSB, oscilator local pentru CW, modulator echilibrat, amplificator RF, amplificator de microfon.

- Circuitele auxiliare contin: circuit de comanda emisie-receptie, vox, anti vox, amplificator S metru si AGC, generator de ton pentru monitorizarea manipularii la CW, stabilizator 8V respectiv 3,7V si relee de comanda.

Schemta de principiu se poate urmarii conform fig.1. Desenul placii de circuit imprimat la scara 1:1 vazut dinspre partea cu lipituri este prezentat in fig. 2. Schema de asezare a pieselor vazuta dinspre partea plantata se poate urmarii conform fig. 3.

La prima vedere acest modul pare complicat insa daca analizam mai amanuntit se poate observa ca circuitele cuprinse in acest modul sunt clasice si bine separate intre ele, usurand astfel montarea si reglarea in parte a partilor componente. Totodata

ofera posibilitatea sa fie scoase unele circuite si utilizate la alte montaje deja existente.

In cele ce urmeaza se vor analiza toate circuitele componente in parte. Totodata propun ca montarea si reglarea circuitelor sa se execute in aceasi ordine.

- Amplificator final audio contine un circuit integrat LM 386 care mai cuprinde doar cateva piese periferice avand un consum foarte redus. Nu necesita reglaje ulterioare. Puterea de iesire este de cca. 0,5W care este suficient pentru receptionarea in bune conditii a semnalelor SSB si CW chiar si in difuzor. Dupa montarea circuitului integrat si a pieselor periferice se verifica daca lipiturile sunt perfecte. Imediat dupa aceea se trece la incercarea functionarii circuitului. Se alimenteaza cu 12-13 V la terminalul 3 iar la terminalele 1 si 2 se leaga un difuzor de 8-12 $\Omega$ . Atingand cu varful pensetei terminalul 4, trebuie sa se auda un brum de 50Hz puternic.

- Filtrele de joasa frecventa s-au realizat in jurul unui CI. LM324 care contine 4 amplificatoare operationale. Astfel in jurul fiecarui amplificator s-a adaptat un filtru activ dupa cum urmeaza: 2 filtre trece jos legate in serie primeste semnalul de la detectoarul de produs avand rolul sa taie componente de joasa frecventa peste 3 KHz. In felul acesta se elimina semnalele perturbatoare de la statiiile vecine care produc tonuri ciriptate pe frecventa de lucru. Dupa aceste filtre urmeaza inca doua filtre active trece banda legate in serie avand frecventa de trecere in jur de 800 Hz. Practic toate cele 4 filtre sunt legate in serie. Cu un comutator cu trei pozitii se pot culege semnalele de audio frecventa de pe diferite trepte ale filtrului dupa cum urmeaza:

- poz. 1.-terminalul 8 -latime de banda 3 KHz receptie SSB
- poz. 2.-terminalul 7 -latime de banda 500Hz receptie CW
- poz. 3.-terminalul 6 -latime de banda 300Hz receptie CW

In felul acesta la poz. 1 al comutatorului sunt active cele 2 filtre trece jos, in poz. 2 pe langa primele doua filtre se activeaza al 3-lea filtru care este filtru trece banda avand frecventa centrala de 800 Hz si o latime de banda de 500 Hz iar in poz. 3 se activeaza si al doilea filtru trece banda avand aceeasi caracteristici ca si cel anterior. Legate insa in serie, rezulta o latime de banda de 300 Hz la frecventa centrala.

Toleranta la valoarea componentelor R si C utilizeaza la filtre trebuie sa fie de pana la 5%. Condensatoarele sa fie de tip multistrat sau stiroflex intrucat condensatoarele ceramice tip placeta nu au coeficient termic corespunzator.

Dupa montarea circuitului LM 324 si a componentelor periferice se verifica din nou lipiturile, dupa care se aplic tensiune de alimentare pe terminalul 5. Terminalurile 8,7 si 6 se leaga la un comutator cu trei pozitii. Punctul de iesire al comutatorului cu 3 pozitii se leaga la intrarea Y al unui osciloscop. Se regleaza baza de timp la osciloscop la 10 ms. si cu o sensibilitate de cca. 0,5 V. Se aplică la terminalul 9 de la un generator sinusoidal un semnal audio de cca. 2 mV. Reglând frecventa generatorului, în poziția 1 al comutatorului trebuie să rezulte un nivel aproape constant până la 3 KHz. Marind frecvența, nivelul de iesire trebuie să scada vertiginos, și la 4 KHz nivelul va fi cca. la 10 -a parte fata de semnalul până la 3 KHz. Pe poziția 2 al comutatorului scade și mai mult nivelul de iesire a semnalului. Modificând frecvența generatorului se observă o creștere brusă a nivelului în jurul frecvenței de 800 Hz care scade uniform modificând frecvența în sus și în jos. În poziția 3 al comutatorului situația trebuie să se mențină prin îngustarea benzii de trecere.

- Oscilatorul local SSB. Dupa cum se stie la receptionarea emisiunilor SSB si CW avem nevoie de semnal RF aplicat la detectoarul de produs. De aceea este necesar sa continuam cu

montarea și reglarea acestui circuit. Desigur acest oscilator asigura semnal RF și pentru emisie la modulatorul echilibrat.

Intrucât filtrul SSB în aparatul prezentat este realizat din

cristale de quart de 8867,23 KHz folosite la televizoare color sistem PAL care s-au achizitionat foarte ieftin, în continuare și la oscilatorul local s-a folosit asemenea cristal ca element rezonator.

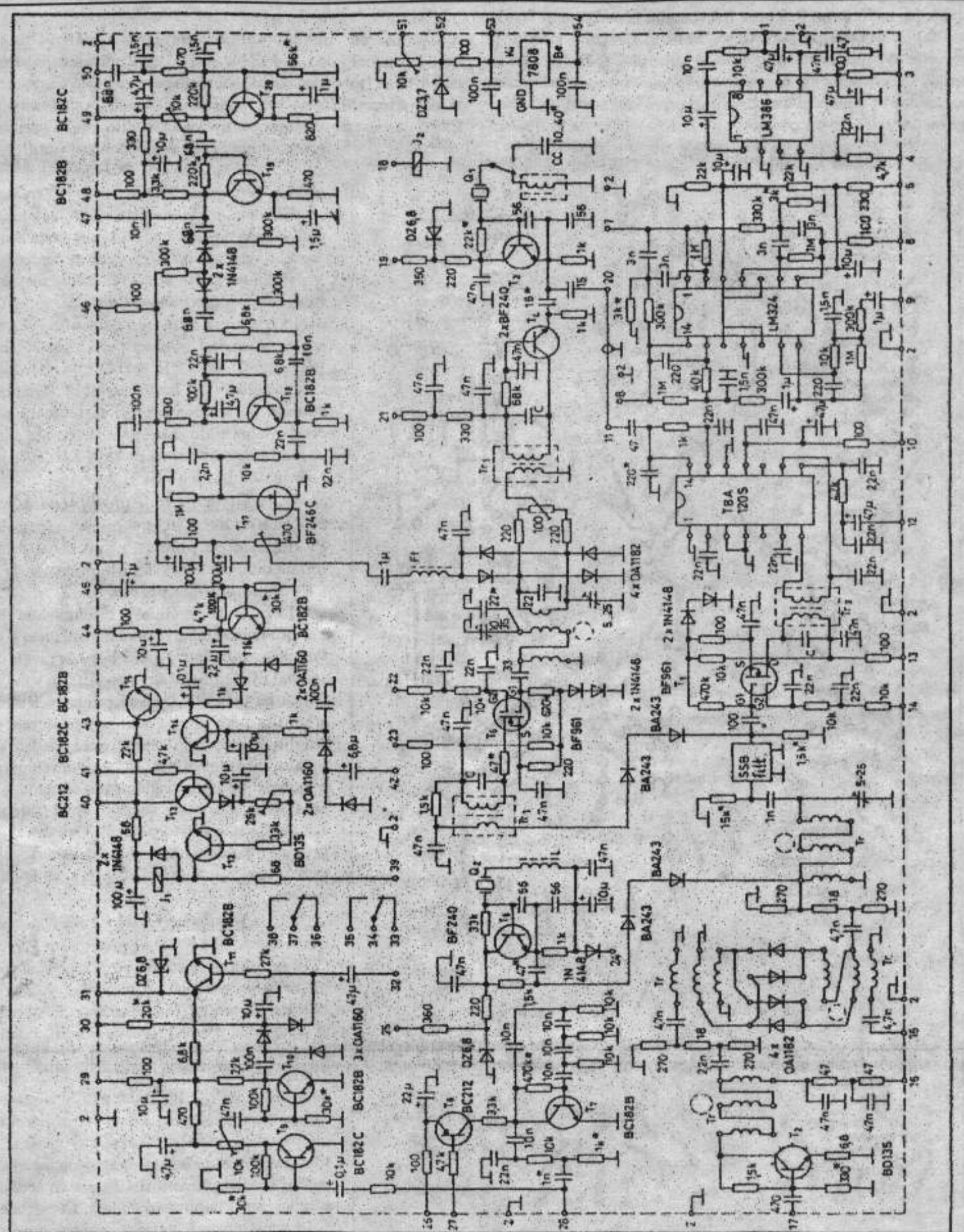


Fig. 1 Schema de principiu al modulului de bază

Desigur se poate utiliza fara nici o problema filtrul SSB de 9 MHz (XF9) cu cristale aferente pentru oscilator local.

Oscilatorul local este realizat cu tranzistorul BF240 (dar se poate folosi oricare dintre tipurile BF167, 173, 198, 199) in montaj in trei puncte. Reglarea frecventelor la oscilator se face in asa fel ca sa cada pe punctul de 20dB al flancului inferior si superior al caracteristicii de trecere a filtrului SSB. Aceasta se realizeaza cu elemente capacitive si inductive legate in serie cu rezonatorul. Astfel prin montarea unei capacitatii corespunzatoare se regleaza frecventa oscilatorului la 8866 KHz pentru partea

superioara a filtrului SSB. Prin montarea unei inductivitati reglabile in serie cu rezonatorul se regleaza frecventa oscilatorului la 8863,2 KHz pentru partea inferioara a filtrului SSB. Comutarea inductantei sau capacitatii la rezonator este realizat cu un releu mic de 12V.

Bobina cu inductivitatea variabila s-a realizat pe un transformator FI de 10,7 MHz avand 20 spire bobinate din sarma de  $\phi 0,15$  cu izolatie de email. Numarul de spire poate fi influentat si de permeabilitatea miezului de ferita din transformator. Capacitatea serie necesara pentru realizarea frecventei dorite se poate combina din doua condensatoare.

Oscilatorul este usor de realizat, nu contine elemente dificile. Punerea in functiune se realizeaza prin alimentarea terminalului 19 cu tensiune de 12-13 V care prin dioda zener ie stabilizeaza la 6,8 V prin care se realizeaza o stabilitate marita a frecventei. Se masoara frecventa oscilatorului cu un frecventmetru digital in emitorul tranzistorului T3. Se regleaza miezul bobinei pana ce se obtine frecventa de 8863,2 KHz (8898,5 KHz), dupa care se aplică 12 V la terminalul 18. Releul va comuta pe condensator si se regleaza din condensatoare de capacitate adevarata pana ce se obtine o frecventa de 8866 KHz (9001,5 KHz in cazul filtrelor XF9).

- **Detectorul de produs** este realizat cu CI TBA120S. Circuitul primeste semnalul FI simetric pe pinul 7 respectiv 9 de la insurare secundara al transformatorului Tr2. Ca detector de produs este utilizat amplificatorul diferential al discriminatorului FM producand un nivel audio mare (cca. 1 V) fara distorsiuni intr-o gama larga de nivele de semnal FI. Semnalul de la oscilatorul local se aplică pe pinul 14 trecand printr-un lant de amplificatoare limitatoare. In felul acesta se amplifica si se limiteaza nivelul oscilatiilor locale care devin practic dreptunghiulare imbunatatind astfel randamentul detectiei. Un alt avantaj este ca nu necesita nivel mare de semnal de la oscilatorul local. Detectorul de produs nu necesita reglaje deosebite dar trebuie realizat montajul cu grija si cu lipituri perfecte.

- **Amplificatorul FI** realizat cu un tranzistor MOSFET dual gate de tip BF961 (T1). Amplificarea acestuia este reglabilă, prin modificarea tensiunii pe G2, intre 0-7 V. Prin ridicarea punctului de masa al amplificatorului cu cele doua diode 1N4148, amplificarea se poate varia intr-o gama foarte larga de semnal. Transformatorul Tr2 se realizeaza folosind un transformator FI de 10,7 MHz utilizat la aparate radio tranzistorizat. Pentru frecventa intermedia de 8864,5 KHz se bobineaza 20 spire cu sarma de  $\phi 0,15$  cu izolatie de email pentru bobina primara si 10 spire cu aceiasi sarma pentru bobina secundara. Capacitatea C in acest caz are valoare de 56pF care se recomanda sa fie stiroflex. Masurarea frecventei de rezonanta se poate efectua cu un

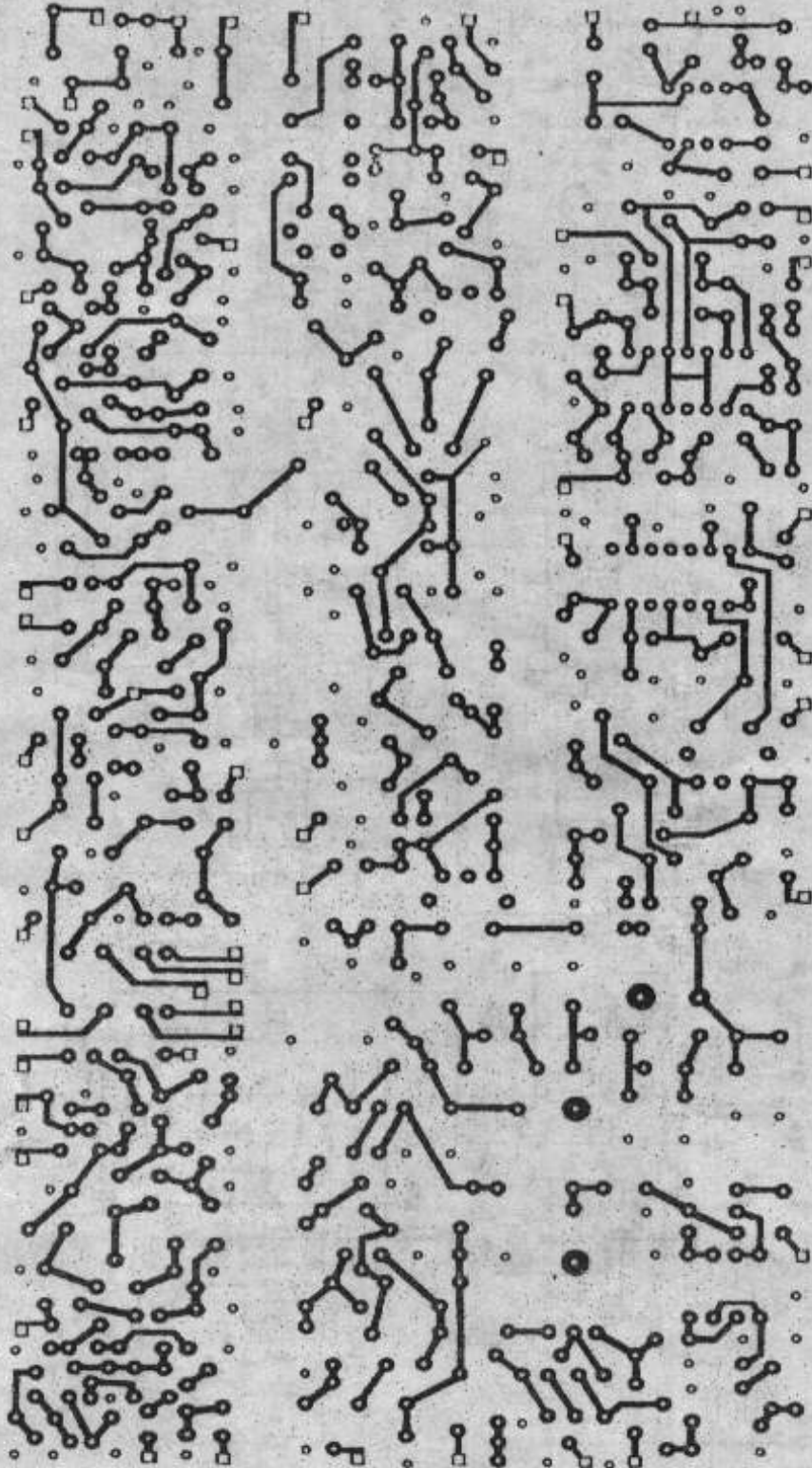


Fig. 2 Placa de circuit imprimat scara 1:1

DIP metru și fara capacul de ferita trebuie să fie în jurul frecvenței de 8870 KHz iar cu capacul de ferita pe la jumătatea cursei să fie la 8865 KHz.

Dupa realizarea și verificarea acestui etaj se trece la verificarea etajelor terminate. Se aplică tensiune de alimentare, la amplificator final audio terminal 3, la filtrul joasă frecvență terminal 5, la oscillatorul local terminal 19, la detectorul de produs terminal 10, la amplificatorul FI terminal 13. De la terminalul 10 printr-un divizor de 4,7 KO și potențiometru de 10 KO se aplică tensiune variabilă de la cursorul potențiometrului, care să fie

reglabilă între 0-7 V. Se scurtează circuitul terminalul 9 și 12. Se montează comutatorul cu 3 pozitii asa cum s-a arătat mai sus. De la comutator printr-un condensator de 2,2 $\mu$ F se couplează la un potențiometru logarithmic de 25-100K $\Omega$ . În cazul folosirii potențiometrului de valoare de 100K $\Omega$  condensatorul poate fi și de 1 $\mu$ F. Cursorul potențiometrului se leagă la terminalul 4. Între terminalul 1 și 2 se couplează un difuzor de 8-12 $\Omega$ . Reglând potențiometrele în poziția semnal maxim trebuie să se audă un fășat slab dar concret. Sa dispunem DIP metrul pornit la distanța de cca. 1m de la placa. Reglând frecvența DIP metrului la frecvența de 8865 KHz trebuie să se audă un fluierat pronuntat. Reglând după aceea miezul transformatorului Tr2 trebuie să gasim un semnal maxim pe la jumătatea cursei. Prin comutarea pe diferite pozitii al comutatorului cu 3 pozitii se poate verifica și funcționarea filtrelor.

#### *- Filtrul SSB comun*

realizat cu cristale de quart de 8867,23 KHz, conform figurii 4. Caracteristica de selectivitate se poate urmări după figura 5. Contine 6 elemente rezonatoare legate în serie (scara). Capacitatile în derivativă fata de cele prezентate în RADIOTECHNIKA numarul 2/2000 pag. 90 se modifică conform prezentei scheme intrucăt pe parcurs am obținut o îmbunătățire a funcționării filtrului cu aceste valori, mai ales prin uniformizarea partii de sus al caracteristicii de trecere. Precizia de frecvență a quarturilor folosite trebuie să fie în limita de 50Hz. Placa de circuit imprimat este în asa fel concepută ca să fie posibilă folosirea filtrelor clasice XF fără nici o modificare. Caracteristica de selectivitate se poate ridica cu un generator RF cu posibilități de reglare foarte fine, și voltmetru electronic sensibil. Modificând frecvența cu pasi de 100 Hz în jurul frecvenței de rezonanță se poate ridica curba caracteristică. Se mai poate verifica și vizualiza pe ecranul osciloscopului folosind un vobler pentru aceasta operatie. În cazul filtrului prezentat frecvența de mijloc  $F_0=8864,6$  KHz neuniformitatea benzii de trecere nu este mai mare de 1.5dB. Latimea de banda la punctele de 6dB este de 2 KHz. Din măsurători a rezultat o neuniformitate la flancurile inferioare și superioare. Flancul inferior este mai abrupt. De aceea pentru lucrul normal la benzile laterale se folosește oscillatorul local inferior. Benzile laterale corespunzătoare fiind realizate din mixaj.

#### *- Mixer comun*

In cazul de fata am folosit un mixer dublu echilibrat DBM (double balanced mixer) de constructie proprie care contine 2 transformatoare RF de banda largă (Tr) și patru diode cu caracteristici identice. Din caracteristica de funcționare rezulta o atenuare mare fata de cele 2 semnale introduse (semnalul VFO și semnalul dela oscillator local), iar semnalul de diferență apare la ieșire cu atenuari minime. Gradul de atenuare fata de cele 2 semnale introduse depinde de

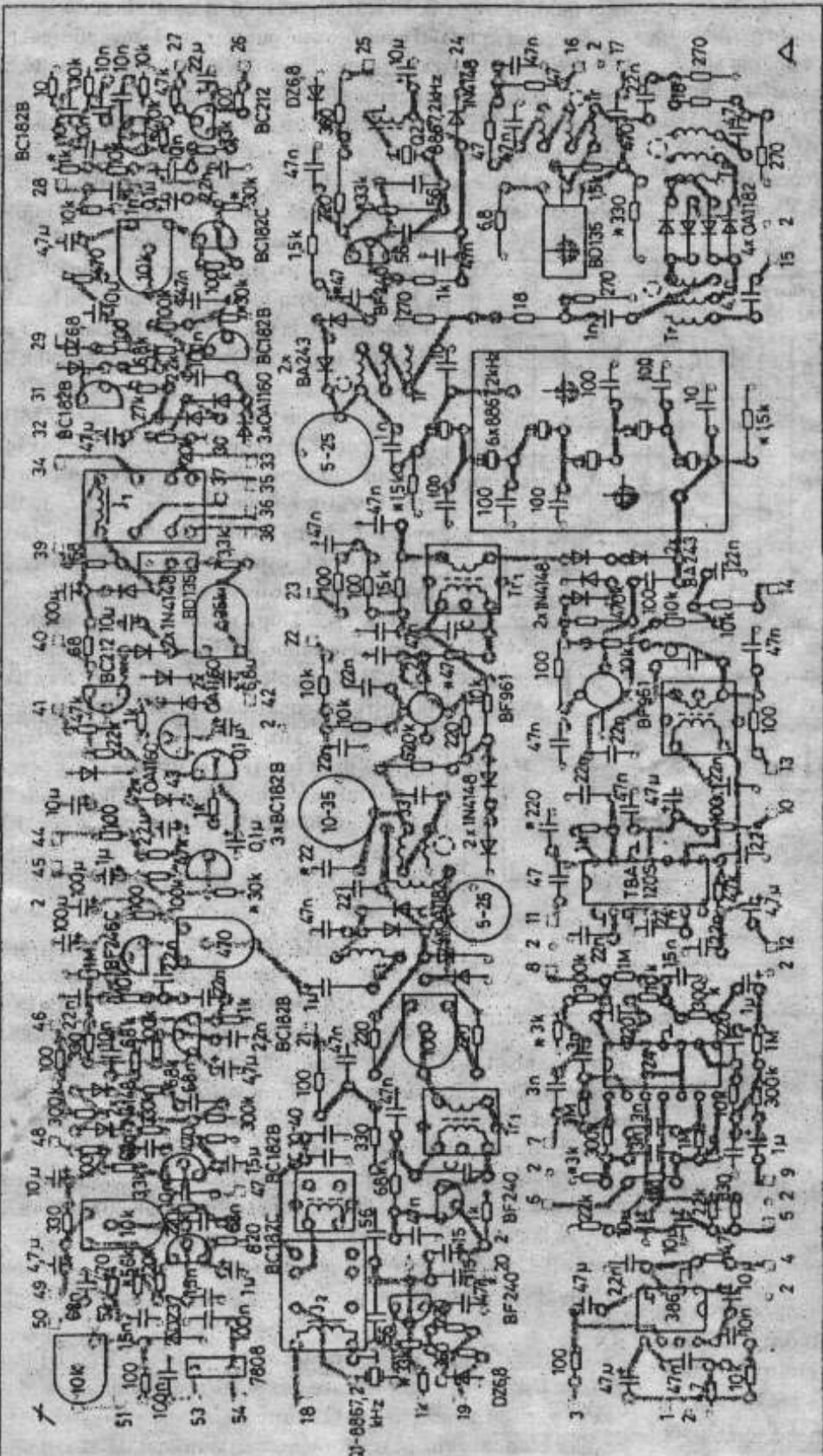


Fig. 3

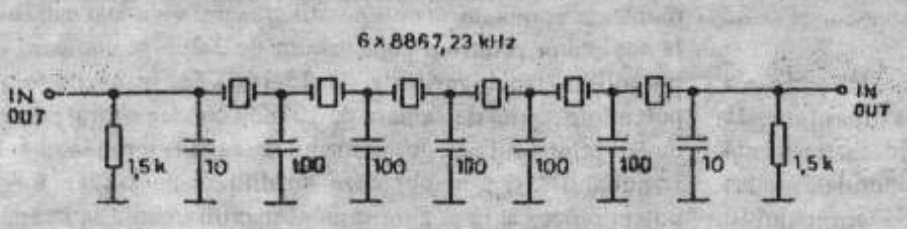


Fig. 4

constructia simetrica ale transformatoarelor, si de uniformitatea caracteristicilor celor 4 diode.

In ce priveste diodele folosite se poate utiliza diode de germaniu, diode de siliciu sau diode Schottky. Diferentele ce apar la aceste diode consta in tensiunea de deschidere a diodelor. Astfel la diode de germaniu tensiunea de deschidere este 0,2-0,3 V necesitand un nivel de semnal de la VFO mai mic (cca 0,8 V), la diode cu siliciu tensiunea de deschidere este de 0,6-0,7 V, necesitand astfel un nivel de semnal mai mare de la VFO (cca 1,5 V), la diodele Schottky tensiunea de deschidere este in jur de 0,4 V care necesita un nivel de semnal de la VFO (cca 1,2 V).

Pentru imbunatatirea echilibrarilor la mixer este necesara imperecherea diodelor utilizate. Pentru aceasta operatie se poate realiza un mic dispozitiv ieftin dar foarte util conform schemei prezentate la figura 6. Cu acest dispozitiv se poate verifica comportarea diodelor la diferite valori de curent, reglabil cu potentiometrul de 1MO. Modul de masurare consta din folosirea unui instrument cu indicatorul in mijlocul scalei de +/- 100  $\mu$ A care fiind legat intre dioda de referinta si dioda de masurat, indica diferența de curent in plus sau in minus fata de curentul care parcurge dioda de referinta. Aceasta se verifica in diferite pozitii ale potentiometrului. In felul acesta se pot selecta diode cu caracteristici similare sau foarte apropiate.

Un avantaj foarte mare la acest tip de mixer este ca poate functiona bidirectional fiind posibila astfel folosirea unui singur mixer atat la receptie cat si la emisie, simplificand astfel functionarea transceiverului. Impedanta caracteristica a mixerului in toate cele 3 puncte este de  $50\Omega$  ceea ce are ca rezultat o functionare foarte stabila. Avand in vedere impedantele mixerului a fost necesar folosirea unui transformator de ridicare cu 1:9 intre mixer si filtru pentru adaptare mai corecta. Aceiasi transformare se folosesc intre oscilatorul VFO si mixer dar in jos adica 9:1. Toate cele 4 transformatoare (Tr) cele din mixer si cele de adaptare au aceeasi constructie: Pe tor de ferita  $\phi 8 \times \phi 4 \times 2,5$  cu punct albastru se bobineaza 3x10 spire trifilar din sarma de  $\phi 0,2$  mm cu izolatie de email care in prealabil se rasuceste in asa fel ca pe o lungime de 1 cm sa cada aproximativ 3 rasuciri. Se mai poate executa si pe tor de ferita cu punct alb, dar in cazul acesta se bobineaza de 3x6 spire. Dupa bobinare se curata capetele si se identifica cu ohm-metru dupa care se poate monta pe placă. Reteaua R de  $270\Omega/18\Omega$  asigura o adaptare ohmica intr-o banda larga asigurand o functionare uniforma mixerului.

Intrucat semnalul de la modulul VFO (0,3-0,4 V) nu este

suficient pentru functionarea mixerului. A fost necesar de un etaj amplificator pentru VFO care functioneaza cu tranzistorul BD135. Currentul de colector fiind reglat la 35-40 mA asigura o amplificare liniara si uniforma intr-o gama larga de frecvențe (3-30MHz). Currentul colector se poate regla prin modificarea valorii rezistentei  $330\Omega$  marcat cu \* . Se mai monteaza peste tranzistor o placuta din tabla de aluminiu de dimensiunea  $10 \times 40$  mm si 1mm grosime

indoit in forma de U. Amplificarea etajului se poate modifica prin modificarea valorii rezistentei de  $6,8\Omega$  din emitor.

Executat montajul pana la acest punct, linia de receptie practic este realizata. Dupa verificarea din nou a circuitelor executate, se trece la realizarea generatorului SSB.

Semnalul RF produs de oscilatorul local nu are nivel suficient de mare pentru modulator echilibrat. De aceea este necesara amplificarea semnalului si adaptarea la modulatorul echilibrat care are o impedanta de intrare cca.  $100\Omega$ . Tranzistorul T4 folosit

in acest etaj amplificator este de tip BF240 (sau tranzistoare similare ca exemplu BF167-173-198-199) si lucreaza in montaj cu baza la masa care are la iesire un transformator Tr1 cu circuitul acordat pe frecventa oscilatorului de portocaloare. Acest transformator la fel ca si Tr2 s-a executat din transformator FI de 10,7 MHz de la aparate de radio cu tranzistoare, avand 20 spire din sarma de  $\phi 0,15$  mm cu izolatie de email pentru bobina primara si 4,5 spire din aceeasi sarma pentru bobina secundara. Capacitatea C este de 56 pF la fel ca la Tr2, masuratorile se efectueaza la fel cu DIP metru ca si la Tr2. Dupa montarea componentelor se aplica tensiune de alimentare la terminalele 19 si 21. Se coupleaza bobina secundara a Tr1 la intrarea osciloskopului. Se regleaza semnalul maxim la iesire, capacul de ferita fiind aproximativ la jumatarea cursei. Semnalul pe ecranul osiloscopului trebuie sa fie perfect sinusoidal cu un nivel de cca. 1 V sau ceva mai mare. Daca nivelul semnalului nu atinge valoarea necesara se poate mari capacitatea de cuplaj de 15 pf. marcat cu \*.

- **Modulatorul echilibrat** este realizat cu 4 diode de germaniu imperechate dupa cum a fost aratat mai sus. Echilibrarea se realizeaza cu potentiometrul semireglabil care

se poate efectua dupa ce amplificatorul RF va fi terminat. Cu trimerul de  $5-25\text{pF}$  se poate imbunatatii gradul de echilibrare efectuand intermitent reglajul cu potentiometrul de  $100\Omega$ . Semnalul de la modulator echilibrat se culege prin bobina de cuplare la un circuit acordat pe frecventa oscilatorului de portocaloare, care se realizeaza pe un tor de ferita cu punct albastru (N 20)  $\phi 8 \times \phi 4 \times 2,5$  mm. Se bobineaza bifilar 2x8 spire din sarma de  $\phi 0,2$  mm cu izolatie de email. Cele doua sarmi in prealabil se rasucesc. Bobina de cuplaj se bobineaza separat pe aceeasi tor din sarma de  $\phi 0,2$  mm avand 4 spire.

- **Amplificatorul RF** realizat cu tranzistor MOSFET dual gate de tip BF961. Amplificarea se poate regla in game largi de valori variind tensiunea pe G2 intre 0-7 V. Reglarea se poate realiza manual prin potentiometru sau automat de la circuitul ALC. Pentru simplitate in prezentul montaj s-a folosit reglajul

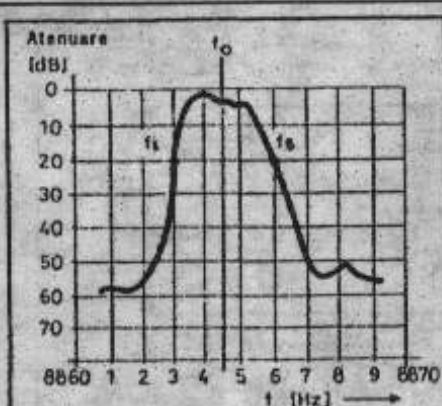


Fig. 5

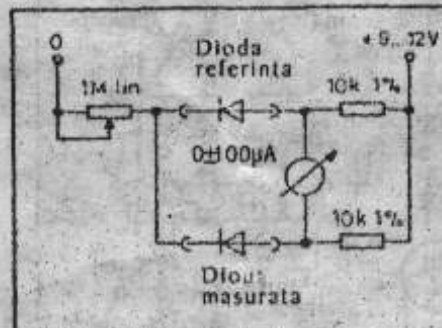


Fig. 6

manual. Din punct de vedere al functionarii, circuitul este foarte asemănător cu acela din amplificatorul FI. Construcția transformatorului T<sub>1</sub> este similară cu aceea de la modulatorul echilibrat. Dupa verificarea lipiturilor, operatie ce este valabila și pentru celelalte circuite (în cele ce urmează nu se va mai aminti acest lucru la fiecare circuit), se trece la verificarea și reglarea circuitelor.

Se aplică tensiune de alimentare la terminalele 19-21-23, iar printr-un divizor de  $4,7\text{ k}\Omega$  și potențiometru de  $10\text{ k}\Omega$  se aplică o tensiune variabilă între 0-7 V legând cursorul potențiometrului la terminalul 22. În locul diodelor BA 243 sa cupla osciloscopul la ieșirea de la T<sub>1</sub>. Potențiometrul trimer de  $100\Omega$  de la modulator echilibrat să fixăm într-o poziție de capăt, după care să reglăm la nivel maxim de ieșire prin reglarea din miezul transformatoarelor T<sub>1</sub> și prin reglarea trimerului  $10-35\text{ pF}$ . Capacitatea fixă de  $22\text{ pF}$  cu steluta trebuie astfel aleasă ca semnalul maxim reglat cu timer să nu ceda în poziția extrema al condensatorului (inchisă sau deschisă). Este recomandat folosirea condensatorului trimer cu folie.

După ce s-a reglat nivelul de semnal maxim la ieșire se poate trece la echilibrarea modulatorului cu potențiometrul semi-reglabil de  $100\Omega$  și condensatorul trimer de  $5-25\text{ pF}$ , efectuând reglajele pâna ce pe ecranul osciloscopului scade semnalul la zero.

- **Amplificator de microfon**. Dupa cum se cunoaste modulatorul echilibrat pe lângă semnalul de radiofrecvență trebuie să primească un semnal de audiofrecvență, rezultând astfel la ieșire din modulator un semnal DSB/SC ( semnal de radiofrecvență modulat cu dubla banda laterală ). Trecând acest semnal printr-un filtru de banda îngustă ( filtru SSB ) se taie una din benzile laterale , rezultând un semnal SSB ( semnal cu banda laterală unică ).

Semnalul de audiofrecvență se produce cu un amplificator de joasă frecvență realizat cu tranzistoare T<sub>20</sub> și T<sub>19</sub> la intrarea careia se poate lega un microfon sau alta sursă de semnal de joasă frecvență.

In aparatelor moderne pentru marirea eficacității semnalului RF radiat, se utilizează circuite auxiliare diferite. Astfel se folosesc compresoare de dinamică, circuite limitatoare sau de taiere sau combinarea acestor circuite (procesoare). Aceste circuite într-adevar sunt eficace dar dacă nu sunt reglate corect, strica foarte mult calitatea semnalului produs. De aceea în cazul aparatelor de construcție amatoricească trebuie să acordăm o atenție deosebită la aceste circuite auxiliare, deoarece nu prea avem aparatul adecvat pentru reglarea corectă. Așa de exemplu în cazul unui compresor de dinamică reglat necorespunzător rezulta o modulație distorsionată care strica înțelibilitatea.

In aparatul prezentat în loc de compresor am utilizat un limitator de semnal care nu necesită reglaje ulterioare. Circuitul de limitare constă din două diode legate în sens opus fata de semnal. În felul acesta semnalul de joasă frecvență din amplificator se limitează la valoarea de 0,6V. Nivelul de audiofrecvență va fi practic constant indiferent de la ce distanță și cu ce tarie vorbim în fața microfonului, reducând astfel pericolul supramodulațiilor care produc distorsiuni. Intru-cât prin limitare apar componente nedeterminate (armonici) în semnalul audio, s-a mai completat circuitul în continuare cu un filtru activ trece jos care taie componente peste 3KHz. Acest filtru funcționează cu tranzistorul T<sub>18</sub> cu componente aferente. Dupa filtru urmează un etaj cu un tranzistor FET având impedanță de intrare mare care nu suntează filtrul activ. La ieșirea din tranzistor FET prin potențiometru semireglabil de  $470\Omega$  semnalul este aplicat modulatorului echilibrat prin condensatorul nepolarizat de  $1\text{ }\mu\text{F}$  și socul de radiofrecvență. Nivelul de amplificare se poate regla cu potențiometru semireglabil de  $10\text{ k}\Omega$  din colectorul

tranzistorului T<sub>20</sub>, iar profunzimea modulației se reglează cu potențiometrul semireglabil de  $470\Omega$  din drena tranzistorului T<sub>17</sub>. În cazul folosirii unui microfon electret acesta se poate alimenta prin intermediul unei rezistențe de cca.  $10\text{ k}\Omega$  de la terminalul 49. Funcționarea corectă al amplificatorului de microfon se realizează atunci când pe colectorul tranzistoarelor T<sub>19-T<sub>20</sub></sub> se măsoara o tensiune continuă între 4,5-6 V care se reglează prin modificarea rezistențelor de polarizare marcate cu \*.

- **Comanda emisie-recepție, vox, antivox** cuprinde circuitele de comenzi pentru trecerea statiei în emisie respectiv recepție. Împreună cu circuitele vox, antivox se poate realiza comutarea în emisie a statiei în momentul vorbirii în fața microfonului. Circuitul antivox are rolul de a nu permite trecerea în emisie a statiei datorita sunetelor ce vin de la difuzor. Circuitul vox realizat cu 2 tranzistoare T<sub>15-T<sub>16</sub></sub> funcționează după cum urmează: T<sub>16</sub> primește semnal audio de la amplificatorul de microfon prin legarea terminalului 45 cu terminalul 47. Vorbind în fața microfonului semnalul audio ajunge la baza tranzistorului T<sub>16</sub>. Acest tranzistor amplifică în continuare semnalul după care se redreseză cu 2 diode de germaniu în montaj dublu de tensiune. Semnalul redresat deschide tranzistorul T<sub>15</sub>. În poziția vox terminalul 43 este legat cu terminalul 41 care astfel se pună la masa prin T<sub>15</sub> iar circuitul de comandă comută retelele pe emisie. Prin constanta de timp retelele se mențin în emisie și la pauze între cuvinte. Circuitul antivox funcționează cu tranzistorul T<sub>14</sub> în felul următor: Terminalul 1 este legat cu terminalul 42 astfel semnalul de la difuzor se redreseză cu 2 diode de germaniu în montaj dublu de tensiune. Semnalul redresat deschide T<sub>14</sub> punând la masa baza tranzistorului T<sub>15</sub> în felul acesta nu permite ca să cuplze statia în emisie la vocea difuzorului.

Circuitul de comandă propriu zisă cuprinde două tranzistoare T<sub>12-T<sub>13</sub></sub> dintre care T<sub>12</sub> un tranzistor BD135 actionează retelele J<sub>1</sub> care are două grupe de contacte cu terminalurile 33-34-35 resp. 36-37-38 unde primul grup de contacte comută tensiunea de 12 V de la receptie la emisie iar al doilea grup comandă RIT controlul. Tranzistorul T<sub>13</sub> este un tranzistor PNP de tip BC 212 (BC 252, BC 253) care prin constanta de timp reglabil cu potențiometrul semireglabil de  $25\text{ k}\Omega$  comandă tranzistorul T<sub>12</sub>. Tot prin acest circuit se poate realiza trecerea statiei în emisie în momentul apasării manipulatorului, și cu constanta de timp adecvat acesta revine la receptie după ce se ridică mâna de pe manipulator. În poziția RX al statiei (poz. PTT.) punând la masa terminalul 39 prin butonul aflat pe corpul microfonului retelele cuplăză în emisie. La eliberarea butonului statia revine din nou la receptie fără constantă de timp.

Incerarea functionării circuitului. Întâi se încearcă circuitul de comandă emisie-recepție prin alimentarea terminalului 40 cu tensiune de 12-13 V. Punând la masa terminalul 41 retelele trebuie să comute. Prin eliberarea terminalului 41 retelele revin cu întârziere conform constantei de timp care este reglabil între 0,2-2 sec. Dupa aceasta se verifică funcționarea vox-ului alimentând și terminalurile 44 resp. 48. Cuplând și un microfon la terminalul 50. Se scurtează terminalul 41 cu 43 și 45 cu 47. Vorbind în fața microfonului se reglează amplificarea cu potențiometrul semireglabil de  $10\text{ k}\Omega$  din colectorul tranzistorului T<sub>20</sub> pâna ce retelele comute. Circuitul antivox se verifică numai la funcționarea întregului ansamblu. Tranzistorul T<sub>16</sub> se polarizează în astfel că tensiunea pe colector să fie de 5-6 V ceea ce se realizează prin modificarea valorii rezistenței marcate cu \*.

- **Amplificator S metru și AGC**. Contine două etaje amplificatoare cu tranzistoarele T<sub>9-T<sub>10</sub></sub> și primește semnalul audio prin terminalul 28 care este cuplat cu terminalul 8. Semnalul

audio amplificat se redreseaza cu 2 diode de germaniu in montaj dublor de tensiune. Tensiunea rezultata dupa redresare actioneaza S metrul prin terminalul 30 pe de o parte pe de alta parte printr-o alta dioda de germaniu comanda tranzistorul T11 de la colectorul careia prin terminalul 31 se ia tensiunea AGC. Sensibilitatea amplificatorului se regleaza cu potentiometru semireglabil de 10 K $\Omega$  din colectorul T9. Tensiunea AGC pe colectorul T11 variaza in functie de nivelul tensiunii din baza adica cu cat primeste tensiune de comanda mai mare cu atat rezulta o tensiune mai mica in colector. Tensiunea AGC este limitata cu dioda zener la 6,8V. Constanta de timp al AGC-ului se poate schimba prin punerea la masa a terminalului 32 (AGC-lent). Incercarea functionarii: se alimenteaza terminalul 29 cu tensiune de 12-13V. Se cupleaza un instrument de 100-250 mA la terminalul 30. Se masoara tensiunea pe colectorul T11 care trebuie sa fie 6,8V. Se regleaza la amplificare maxima cu semireglabilul de 10 K $\Omega$ . Se atinge cu vîrful pensetei baza tranzistorului T9 in care moment acul instrumentului trebuie sa devieze maxim. In acelasi timp tensiunea in colectorul tranzistorului T11 trebuie sa scada la aproximativ 0,8V. Tensiunea masurata pe colectorul tranzistoarelor T9-T10 trebuie sa aiba valori cuprinse intre 5-6V si se regleaza prin modificarea valorii rezistentei 30K $\Omega$  marcate cu \*.

- **Generator de ton (monitor CW)** este format dintr-un tranzistor oscilator T7 si un tranzistor de comanda T8. Oscilatorul lucreaza in montaj RC cu retea de defazare. Cu elementele folosite oscileaza pe frecventa de aproximativ 800Hz. Comanda primeste prin tranzistorul PNP punand la masa cu manipulatorul terminalul 27. Semnalul produs ajunge la amplificatorul final audio prin legarea terminalului 28 cu 8. Nivelul corespunzator al semnalului se poate realiza prin modificarea valorii rezistentei de 1K $\Omega$  marcat cu \* respectiv al condensatorului de 1nF marcat tot cu \*.

Incercarea functionarii: Se alimenteaza terminalul 26 ca si in cazurile anterioare. Se leaga o casca de circa 1K $\Omega$  la terminalul 28. Se cupleaza manipulatorul intre terminalul 27 si masa. Apasand manipulatorul in casca trebuie sa se auda un ton de cca 800Hz urmarind ritmul manipularii.

- **Oscilatorul local CW**. Acest oscilator functioneaza intr-un montaj similar cu oscilatorul local pentru SSB si functioneaza numai la emisie in modul CW. Cristalul de quart ca si in cazul oscilatorului local SSB este de 8867,23 KHz. Frecventa de oscilatie se regleaza cu bobina (serie cu cristalul) L la valoarea 8864 KHz. In felul acesta cand la receptie acordam pe o statie care produce in difuzor cca. 800 Hz, la emisie apare la corespondent semnalul la "0" beat. Semnalul de la acest oscilator prin cele 2 diode BA243 se aplica direct pe mixerul comun. Nivelul corespunzator se poate regla prin modificarea valorii condensatorului de 47nF. marcat cu \*.

Incercarea functionarii: Se alimenteaza terminalul 25 in mod obisnuit. Se leaga frecventmetrul digital in locul primei diode BA243. Se cupleaza manipulatorul la terminalul 24 si masa. Apasand manipulatorul trebuie sa apara semnalul RF. Valoarea frecventei se poate modifica din bobina L care este realizat pe un miez de ferita  $\phi$ 2,5x15 bobinand din sarma de  $\phi$ 0,35mm 15-20 spire pana se obtine frecventa dorita.

Po placă s-a mai montat un stabilizator de 8V realizat cu CI LM7808 pentru alimentarea VFO-ului, respectiv 3,8V pentru alimentarea RIT control. Toate releele utilizate in aparatul prezentat sunt de 12V, de tip AG201404 cu cate 2 perechi de contacte morse, de fabricatie japoneza. Desigur se pot folosi si alte tipuri de relee cu modificarea corespunzatoare a placii de circuit imprimat.

Efectuand montajul si reglajele in ordinea prezentata,

in mod sigur toate circuitele vor functiona si dupa realizarea cablajelor generale, si nu vor aparea surprize neplacute la punerea in functiune a intregului ansamblu.

### MODULUL VFO

Dupa cum se cunoaste, stabilitatea de frecventa al intregului transceiver depinde de stabilitatea de frecventa al ansamblului VFO. Din aceste motive, de multa vreme transceiverele utilizeaza un singur VFO stabil cu care prin mixare cu frecventa unor oscilatoare cu quart, se realizeaza functionarea aparatului pe mai multe benzi. Aceasta solutie este realizabila si la constructii proprii, dar in acest caz se complica sistemul VFO, acesta necesitand pe langa oscilatoare locale cu quart si un mixer, si filtre de banda, pentru fiecare domeniu de frecente fiind necesare reglaje precise cu aparate de masura corespunzatoare, ceea ce in cazul constructorilor incepatori este mai greu de realizat. Alte solutii mai noi sunt: folosirea VFO-urilor cu bucla de calare PLL sau cele mai recente, utilizate aproape la toate aparatele moderne DDS-VFO (Direct Digital Sintezizer-VFO). Aceste modalitati de realizare a VFO-urilor prezinta deosemenea greutati fie din cauza componentelor speciale neprocurabile, fie din cauza lipsei de aparatura corespunzatoare efectuarii reglajelor necesare.

Din aceste considerente in cazul de fata am realizat sistemul VFO separat pentru fiecare banda, fiind o solutie ieftina si care satisface inca conditiile de stabilitate necesara in traficul radio in benzile de radioamatori. In felul acesta in functie de numarul de benzi la care dorim sa functioneze aparatul trebuie sa prevedem oscilatoare separate. Fiecare oscilator intra in functiune in momentul comutarii pe banda de frecventa dorita prin cuplarea tensiunii de alimentare la oscilatorul corespunzator. Semnalul RF de la oscilatoare prin dioda de comutare ajunge pe o bara comună de unde trece mai departe la etajele separatoare.

Schema de principiu al VFO-ului se poate urmarii in Fig. 7, iar desenul placii de circuit imprimat la scara 1:1 vazut dinspre partea cu lipituri, respectiv desenul placii de circuit cu asezarea componentelor vazut dinspre partea plantata este aratat in fig. 8 si fig. 9.

Transceiverul functioneaza in cele 6 benzi clasice de radioamatori. In acest fel VFO-ul contine 6 oscilatoare separate, care necesita un condensator variabil cu 6 sectiuni. Acest condensator s-a realizat din condensator variabil cu 3 sectiuni folosit la aparate de radio portabile tip VEF sau SPIDOLA. Operatiile de modificare mi le-a facut prietenul meu Zoli, YOSLJ.

Daca nu este posibila sub nici o forma realizarea unui condensator variabil cu 6 sectiuni, transceiverul se poate realiza sa functioneze in 5 benzi de radioamatori cu numai 4 oscilatoare VFO la care se poate utiliza un condensator variabil cu 4 sectiuni folosite la aparatele de radio portabile de tip MAMAIA (2 sectiuni pt. unda lunga si medie, si 2 sectiuni pt. unda ultrascurta. In acest caz banda de 3,5MHz si cel de 21 MHz se poate realiza cu un singur oscilator intrucat la 3,5MHz se foloseste mixare prin scadere, iar la 21MHz se foloseste mixare prin adunare. Frecventele oscilatorului VFO in acest fel aproape se suprapun.

In tabelele 1 si 2 sunt arataate domeniile de frecente cuprinse de oscilatorul VFO in fiecare banda, pentru frecventa intermedia de 8864 KHz.

Rezulta din tabel ca frecventa oscilatoarelor pentru 7MHz si pentru 28 MHz sunt destul de inalte, ceea ce, din punct de vedere al stabilitatii de frecventa, implica difficultati la realizarea oscilatoarelor. Dupa o functionare insa de peste 2 ani a transceiverului la autor stabilitatea de frecventa si in cazul benzilor arataate mai sus a fost corespunzatoare.

Desigur ca, pentru a realiza un VFO stabil, pe langa stabilitatea electrica, trebuie sa avem in vedere si stabilitatea mecanica.

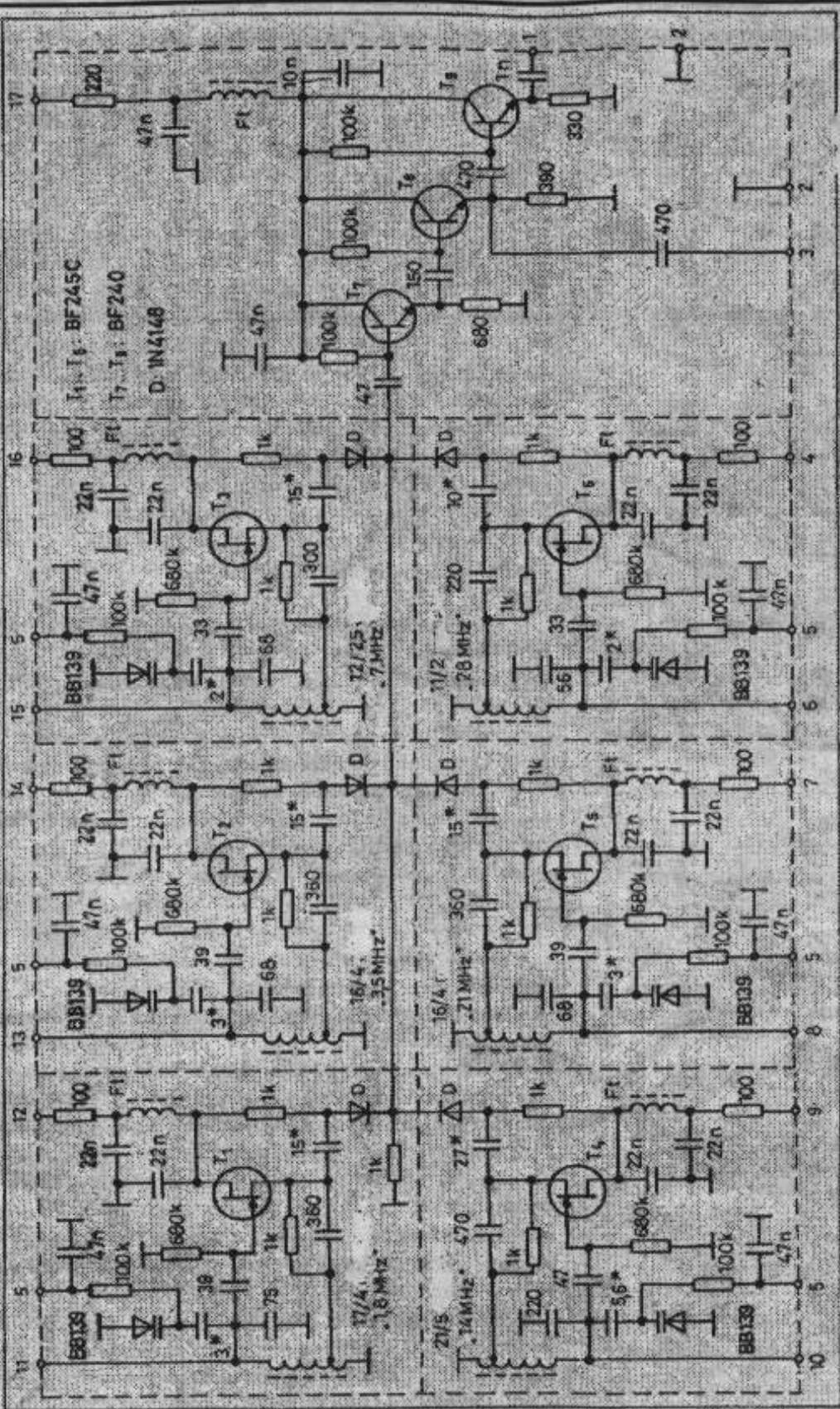


Fig. 7 Schema de principiu VFO

**Stabilitatea electrică:** în primul rând trebuie să folosim componente de buna calitate. Se va evita folosirea condensatoarelor ceramice de orice tip și va trebui să folosim condensatoare cu dielectric stiroflex sau mica, iar pentru decuplari trebuie să folosim condensatoare multistrat. Oscilatoarele să lucreze cu un curent de drenă cât mai mic posibil ceea ce se poate influența prin modificarea valorii rezistenței de  $1\text{ k}\Omega$  din sursă. Bobinele să fie realizate cu infasurări cât mai stabile care la urma sa fie fixată pe carcasa cu lac incolor. Condensatoarele de capacitate mica 2-6pF trebuie să fie facute din placa de circuit imprimat dublu placat de grosime 0,8-1mm (bucatele de cca.

5x10 mm.) la care să fie lipite terminale corespunzătoare pe cele două parti.

**Stabilitatea mecanică:** are o importanță deosebită, de aceea se recomandă ca VFO-ul să formeze o unitate compactă detasabilă. Astfel condensatorul variabil trebuie să fie fixat pe un suport executat în forma de U din tabla de aluminiu cu grosime de cel puțin 2mm. sau din tabla de fier cu grosime de 1mm. Pe partea superioară al suportului trebuie să fie fixat condensatorul variabil iar pe partea inferioară sub condensator să fie fixată placa VFO-ului. Prin orificii corespunzătoare condensatorul variabil se cuplează la placa VFO cu conductoare cât mai scurte posibil. Mecanismul de acord trebuie să fie fixat tot pe suportul VFO-ului. Raportul de reductie spre butonul de acord să fie cel puțin 1:30 adică butonul de acord să se rotească de cel puțin 15 ori până condensatorul variabil face o jumătate de tură.

**Executarea propriu zisă a placii VFO:** înainte de executarea montajului propriu zis placă de circuit imprimat se ecranează în jur cu tabla cositorită de latime de cca. 30mm. care se fixează prin lipire continuă cu cositor în jurul placii (nu se recomandă hefturi doar în câteva puncte), după care se montează ecranele interioare arătate cu linii intrerupte pe schema de principiu și pe desenul de așezare a pieselor pe placă de circuit imprimat.

Oscilatoarele funcționează în montaj ECO (în 3 puncte) realizat cu tranzistor FET de tip BF245C sau BF256C conform schemei. Dupa cum se poate vedea toate oscilatoarele au aceeași schema de funcționare numai valorile componentelor se modifica în funcție de schema de principiu. Bobinele din circuitul oscilant se pot executa pe carcasa de bobină cu miez de ferita folosită la televizoare alb-negru mai vechi în frecvența intermediara cale comună. Numărul de spire respectiv priza de la punctul de masă este arătat pe schema de principiu. Desigur în funcție de factorul de amplificare al tranzistorului folosit priza se poate

modifica în sus sau jos. Folosind tranzistoarele indicate mai sus sunt toate sansele ca oscillatorul să pornească fără probleme. Conductorul utilizat la bobinele circuitului oscilant poate să fie cu diametru de 0,35-0,4 mm cu izolație de email. Scurile de radiofrecvență se pot realiza pe toruri de ferita cu diametru de 8x4x2,5mm pe care se bobinează 30 spire din sărmă cu diametru de 0,2mm cu izolație de email. Se mai poate executa pe mosorase de ferita recuperate de la transformator de medie frecvență folosite la aparate de radio tip MAMAIA, ALBATROS, etc. bobinând același număr de spire.

La funcționarea RIT-controlului s-a folosit diode varicap de

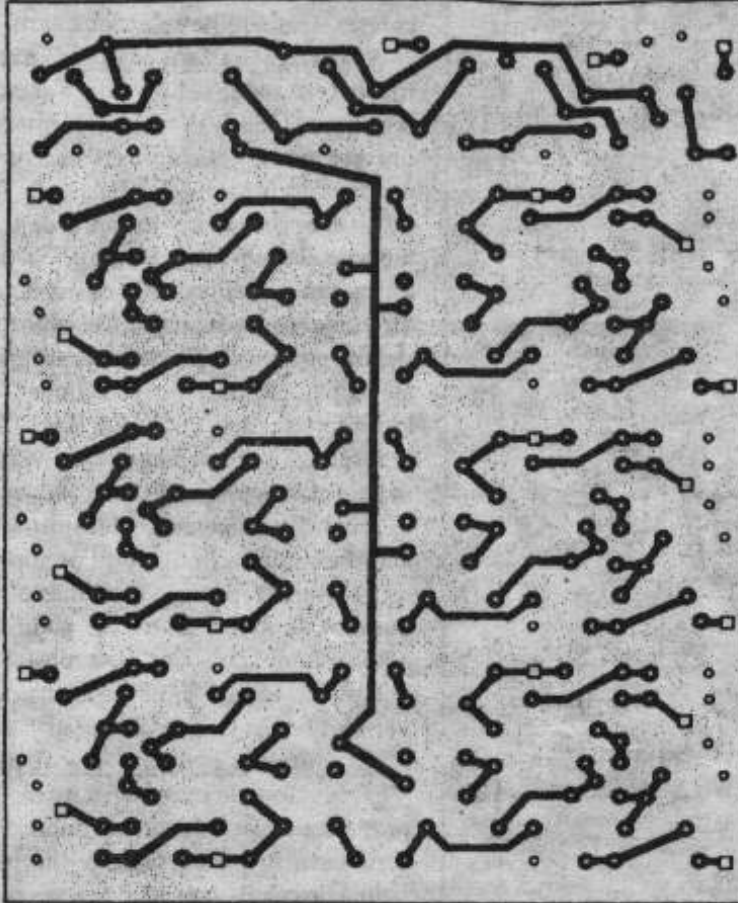


Fig. 8 Circuit imprimat VFO

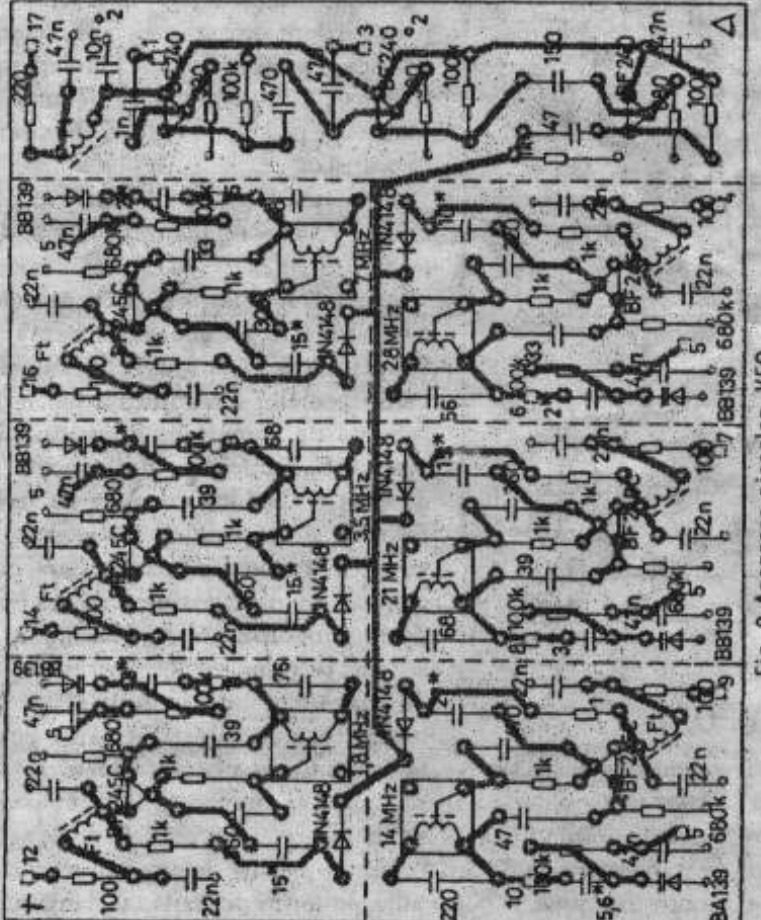


Fig. 9 Asezaarea pieselor VFO

comutatie de tip 1N4148 (sau alte similare) pe o bară comună de la care se transmite mai departe în etajele separatoare. Nivelul de semnal ce ajunge pe bară comună de la fiecare oscilator se poate influența prin modificarea valorii condensatorului din sursa tranzistorului marcat cu \*, în astfel ca să obținem nivel cât mai uniform de la toate oscilatoarele.

Etajele separatoare s-au realizat cu tranzistoare bipolare de tip BF198-199 sau alte similare care funcționează în montaj cu colector la masă, adică în montaj de repetor de emiter. Pentru o separare cât mai bună între oscilator și etajul amplificator respectiv mixer, s-a utilizat 2 etaje de repezoare de emitor legate în serie, iar pentru ameliorarea cât mai pronunțată a impulsurilor produse de către scala numerică să mai legăt înca un etaj separator în serie cu cele două.

**Punerea în funcțiune și reglarea VFO-ului:** tot ansamblul VFO este alimentat cu tensiune stabilizată de 8V. Stabilizatorul cu circuitele aferente și pentru RIT control sunt montate pe modulul de bază. De aceea în timpul efectuării reglaželor va fi necesar să avem în față și acest modul.

După realizarea integrală a ansamblului VFO se leagă între ele terminalele nr. 5 utilizând conductor izolat cu PVC cu grosime de 0,4-0,5mm. Se cuplăză la tensiune de 12V terminalul 54 al modulului de bază, iar minusul la masă (terminalul 2). Se alimentează cu 8V prin legarea terminalelor 53 de la modulul de bază cu terminalul 17 de la modulul VFO. Punctele de masă se leagă între ele. Conductorul folosit poate fi de orice fel. Recomand folosirea conductorului lăiat cu izolație PVC intrucât la reglažele modulului VFO va fi miscat de mai multe ori. Se alimentează primul oscilator (de exemplu cel de 28MHz) prin alimentarea terminalului 4 cu 8V. Se leagă terminalul 6 la una din secțiunile alese al condensatorului variabil printr-un condensator stiroflex. Terminalul 3 se cuplăză la intrarea Y a unui osciloscop și se verifică forma semnalului care trebuie să fie perfect sinusoidală. Rotind condensatorul variabil forma semnalului trebuie să fie același în toată gama de frecvențe și nivelul semnalului să fie de cca. 0,3-0,4Vvv.

La terminalul 1 se cuplăză un frecvențmetru pentru verificarea frecvențelor, rotind condensatorul variabil de la un capăt la altul. Frecvența inferioară se reglează cu condensatorul variabil închis prin modificarea pozitiei miezelui de ferita din bobină. Dacă nu se poate realiza valoarea frecvenței inferioare prin reglaže din miez de ferita, se trece la modificarea valoarei condensatorului paralel al circuitului oscilant. Prin deschiderea completă a condensatorului variabil se poate urmări gama de frecvențe cuprinsă de oscilator. Dacă gama de frecvențe este prea mare se mărește valoarea condensatorului de serie legat între terminalul 6 și condensatorul variabil se mai poate modifica gama de frecvențe și prin legarea unor capacitive fixe paralel pe condensatorul variabil. După aceste verificări se trece la reglarea domeniului de frecvență al RIT controlului. Se cuplăză terminalul 51 de la modulul de bază cu terminalul 5 de la VFO. Prin rotirea cursorului potențiometrului semireglabil de 10 kΩ de la modulul de bază, modificarea frecvenței trebuie să fie max. 10KHz. Dacă aceasta modificare este mai mare se ciupește din condensatorul realizat din placă de circuit dublu placat marcat pe schema de principiu cu \*. După efectuarea acestor reglaže se procedează similar cu fiecare oscilator în parte având în vedere domeniile de frecvențe cuprinse în tabel.

tip BB139 care însă nu este critic. Se poate utiliza și alte tipuri de diode varicap.

Semnalul de la fiecare oscilator se cuplăză prin dioda de

În final se verifică tot ansamblul VFO alimentând pe rând fiecare oscillator, și trebuie să rezulte la ieșire (terminalele 1 și 3) un semnal sinusoidal și nivel cât mai uniform.

Avantajele oscilatorului prezentat:

- Este o soluție ieftină
  - Rezulta semnal curat (nu conține semnale rezultate din mixaj)
  - Domeniul de frecvențe se poate regla separat pt. fiecare banda.
  - Nu ocupă loc mare în ansamblu transceiver.
- Dezavantajele oscilatorului prezentat:
- Stabilitatea de frecvență depinde de modul de realizare

- Necesita reglaje amanunte pentru fiecare banda
- Necesita condensator variabil cu multe secțiuni
- În cazul folosirii scalei mecanice trebuie să se separeze pentru fiecare banda

- La fiecare comutare a benzii, oscilatorul care intră în funcțiune necesită 1-2 minute până la intrarea în regim de funcționare, interval în care frecvența oscilatorului poate să se modifice cu 1-2 KHz, în funcție de banda.

(continuă în numărul viitor)

73! de la Iosif YO5AT

## ANALIZOR DE SPECTRU

### -Partea a doua-

*Exemple de proceduri ce pot fi utilizate spre a ne familiariza cu noul analizor de spectru*

În prima parte s-a descris schema și construcția unui simplu dar util analizor de spectru. Acum se vor prezenta unele aplicații și metode care extind concepțiile prezentate.

Evaluarea căștigului este unul din cazurile în care se utilizează analizorul de spectru este evaluarea unui amplificator. Se pleacă de la un mic amplificator din echipamente de test – un modul vechi care a fost prezentat în numeroase experimente. Schema prezentată în figura 11 reprezintă doar un exemplu, ea nefiind un proiect cu caracteristici optime de exploatare, dar mulți din cititori sunt familiarizați cu el. Circuitul utilizează 4 etaje de amplificare identice, cu tranzistorul 2N5179. Caracteristica acestei sheme este căștigul constant și impedanța. Ideal construcția și măsurările efectuate

rezoluție de 300KHz bandă de trecere facilitează baleajul rapid fără distorsiuni. În acest caz armonica a doua va fi atenuată cu 26dB. Când adăugăm și filtrul trece jos de 15MHz, armonica a doua va deveni -57dB. [16] Armonica a treia va produce distorsiuni. (Nu e plăcut ca un generator de semnal să fie bogat în armonici.) Acum, se intercalează amplificatorul de testat între generatorul de semnal și analizorul de spectru, păstrând filtrul trece jos la ieșirea generatorului. După alimentarea cu tensiunea amplificatorului de test pe ecran semnalul va fi, sus, în afara ecranului. Micșorând semnalul la -51dBm la ieșirea generatorului, semnalul analizorului va fi -20dB, ca înainte de a insera amplificatorul de testat. Căștigul măsurat e de 31dB. [17] Introducem încă 10 dB atenuare la analizor (acum e -20dB) iar la generator facem -41dBm. La amplificatorul de testat vom regăsi același căștig, dar bogat în armonici la ieșire. Armonica a doua va fi la -43dBc iar a treia la -60dBc.

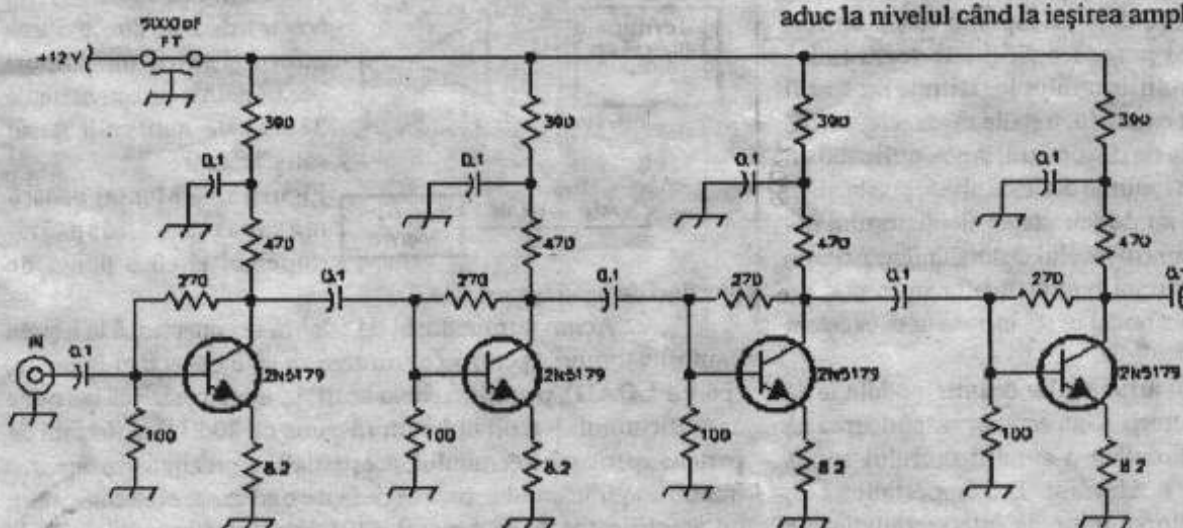
Se continuă procedura; ambele atenuări (generator și analizor) se aduc la nivelul când la ieșirea amplificatorului de testat se obține

zero dBm; armonicele 2 și 3 vor avea nivelele -28 respectiv -36dBc. Cu încă o atenuare de 10dB amplificatorul nu va mai funcționa corespunzător. Cu un atac de -21dBm, ieșirea a fost de +4dBm, un căștig de numai 25dB în schimbul unei valori de semnal mic de -31dBm. Distorsiuni de intermodulație

Pentru acest experiment se va realiza

montajul din figura 12 care cuprinde două oscilatoare cu cristal [18] pe 14,04 și 14,32MHz mixate într-un montaj hibrid de punte cu 6dB pierderi de neadaptare, [19] aplicate la filtrul trece jos de 15MHz cu atenuatoare în pași de 1dB. Acest semnal compus comandă amplificatorul de testat care are ieșirea cuplată la analizorul de spectru. Aceste măsurători se vor efectua cu o rezoluție de 30 KHz a benzii de trecere la analizorul de spectru. Filtrul video a fost alimentat și să redus viteza de baleaj până ce amplitudinea semnalului a fost stabilă.

Atenuatorii analizorului reglați pentru un nivel de referință de -10dBm la vârful ecranului, au fost verificate cu un semnal de la un generator calibrat. Se adaptează Căștigul Frecvenței

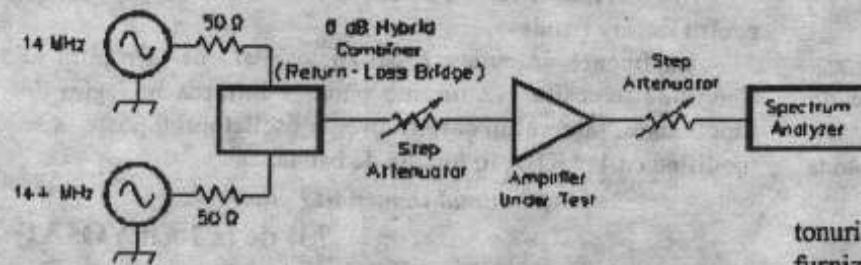


la un singur etaj ar fi suficiente pentru tot amplificatorul.

Figura 11 – Exemplu de amplificator de bandă largă utilizat pentru a ilustra măsurările.

Experimentul se începe prin inițializarea generatorului de semnal la o valoare de nivel de putere de -20dBm. (Dacă nu avem un bun generator de semnal acesta se poate ușor construi. [15] Autorii au utilizat, pentru cele mai multe experimente, un HP8654A.) Se conectează generatorul (pe frecvența de 14MHz) la analizorul de spectru printr-un cablu coaxial de 50ohm și un atenuator de 10dB. Amplificatorul ce va fi testat nu a fost conectat încă. Se regleză butonul *Amplificare Frecvență Intermediară* al analizorului pentru un răspuns la vârful ecranului. Utilizând o

*Intermediare să compenseze schimbările în banda de trecere a analizorului și pentru abaterea reziduală a amplificatorului*



logaritmic.

Figura 12 – Schema de evaluare a distorsiunilor de intermodulație la amplificatorul de testat.

Ieșirea celor două generatoare de ton a fost reglată să furnizeze la analizorul de spectru un răspuns de  $-10\text{dBm}$  pentru fiecare ton. Răspunsul distorsiunilor de intermodulație se va vedea cu ușurință, acum cu  $47\text{dB}$  decât ieșirea celor două tonuri dorite. Rezultatul la ieșire este dat de

$$\text{IP3}_{\text{out}} = \text{P}_{\text{out}} + \text{IMDR}/2,$$

unde:  $\text{P}_{\text{out}}$  este puterea de ieșire a fiecărui ton dorit ( $-10\text{dBm}$ ) și IMDR este raportul distorsiunilor de intermodulație, aici  $47\text{dB}$ . Pentru acest amplificator, valoarea de  $+13.5\text{dBm}$  măsurată, reprezintă tot ceea ce se poate obține mai bun.

Deși nu apar îmbunătățiri, când facem măsurători ale raportului distorsiunilor de intermodulație, este o bună idee de a schimba nivelul semnalului. Reducerea cu  $2\text{dB}$  a puterii de atac, face ca tonurile dorite să scadă cu  $-2\text{dB}$ , înțînd cont de pierderile de  $6\text{dB}$  în tonurile produselor de distorsiuni, totuși la ieșirea amplificatorului de testat trebuie să nu se modifice nimic.

În precedentul exemplu, distorsiunile de intermodulație au fost mai mici cu  $47\text{dBf}$  față de tonurile de ieșire dorite, o valoare ce se citește pe ecranul osciloscopului, datorită faptului că s-a utilizat un amplificator logaritmice ce posedă o fidelitate logaritmice moderată. Fără acuratețea amplificatorului logaritmice nu s-ar fi reușit măsurători bune. În acest exemplu, trebuie să apreciem că pe ecran am putut vedea produsele de distorsiuni. Apoi, utilizând un atenuator în trepte, am diminuat tonurile dorite la nivele prestabilite. O măsurătoare care depinde doar de acuratețea atenuatorului ne-a furnizat valoarea de  $-47\text{dBc}$  pentru nivelul distorsiunilor. Aceasta ilustrează profunda utilitate a unui bun atenuator în trepte, un instrument care poate fi un punct nodal ce stă la baza unui excelent laborator RF.

În timpul determinării armonicilor de intermodulație de ordinul 3, descrise mai sus, autorii și-au asumat răspunderea că distorsiunile au fost o caracteristică a amplificatorului supus testării. Acest lucru nu prea e adevărat. Era important să se determine caracteristicile distorsiunilor de intermodulație ale analizorului de spectru utilizat pentru măsurători, înainte ca măsurătorile asupra amplificatorului de testat să fie pe deplin validate. Specific, pentru ca rezultatele să fie valide, intrarea de interceptie a analizorului trebuie să fie mult mai mare decât ieșirea amplificatorului supus testării.

Intrarea de interceptie a analizorului de spectru este ușor de măsurat cu același echipament utilizat să evaluateze amplificatorul. Cele două tonuri sunt aplicate la intrarea analizorului fără o atenuare prezentă la intrarea sa. Apoi, intrarea tonurilor este reglată pentru un răspuns la cap de scală. În aceste condiții nu va exista nici o distorsiune prezentă pe ecran. Deși acesta este un test adecvat, el nu stabilește o valoare pentru intrarea de interceptie. Pentru a realiza aceasta analizorul trebuie supracomandat, utilizând semnale

care depășesc partea superioară a ecranului.

În continuare se va descrie calea de a măsura interceptia de intrare a analizorului.

Se calibrează analizorul pentru un nivel de referință de  $-30\text{dBm}$  cu o rezoluție de  $30\text{KHz}$ .

Acest lucru e confirmat prin lipsa de pe ecran a distorsiunilor cu cele două tonuri la nivelul referinței.

Se mărește cu  $10\text{dB}$  nivelul semnalului de comandă al fiecărui din cele două tonuri. La analizor suma celor două tonuri va fi  $-20\text{dB}$ . Această intrare de nivel mai mare decât referința furnizează produse de distorsiuni cu  $66\text{dB}$  mai jos decât nivelul de referință, sau  $-96\text{dBm}$ . Raportul distorsiunilor de intermodulație este  $(-20) - (-96) = 76\text{dB}$ . Privind ecuația de mai sus, interceptia de intrare a fost  $+18\text{dBm}$ .

O creștere cu  $2\text{dB}$  a semnalului de comandă așteaptă o creștere cu  $6\text{dB}$  a distorsiunilor. Dacă acest lucru nu se realizează, măsurarea distorsiunilor prin supracomandă devine suspectă.  $+18\text{dB}$  reprezintă o valoare bună. Acest analizor vede, în cel mai bun caz, semnale ceva mai mari de  $20\text{dB}$ , dar nimic mai mult.

Interceptia analizorului este măsurată cu și fără atenuator. Din acest motiv, cu o atenuare de  $20\text{dB}$ , intrarea de interceptie va fi  $+38\text{dB}$ , și așa mai departe.

**Măsurători ale pierderilor de neadaptare** Caracteristica amplificatorului măsurat anterior este adaptarea sau neadaptarea impedanței, realizată prin montajul prezentat în figura 13.

În prima fază nu conectăm amplificatorul de testat. Generatorul de semnal va prezenta la ieșire  $14\text{MHz}$ , cu circa  $-30\text{dBm}$  iar analizorul un răspuns la cap de scală cu portul **LOAD** în gol la puntea de pierderi de neadaptare.

Acum, pentru moment, la acest port plasăm un terminator de  $50\text{ohm}$  care va produce o cădere a semnalului de  $38\text{dB}$ . În felul acesta măsurăm directivitatea punții. Pentru măsurători ocazionale o directivitate de  $38\text{dB}$  este mai mult decât satisfăcătoare.

Figura 13 – Montaj pentru măsurarea adaptării impedanței cu o punte de pierderi de neadaptare.

Acum terminatorul de  $50\text{ohm}$  se conectează la ieșirea amplificatorului, pentru ca intrarea sa să o conectăm la punte, (portul **LOAD**), printr-un cablu scurt; se alimentează cu tensiune amplificatorul. Rezultatul e un răspuns de  $20\text{dB}$  mai jos față de partea superioară a ecranului; acești  $20\text{dB}$  reprezintă neadaptarea intrării amplificatorului, ceea ce de fapt e o adaptare excelentă pentru un amplificator de uz general. [20] Adaptarea se îmbunătățește ușor când, din greșală, se îndepărtează sarcina de la ieșire. Se va efectua o nouă măsurătoare; aceasta se va referi la adaptarea ieșirii amplificatorului. Pentru aceasta se transferă sarcina terminală de  $50\text{ohm}$  la intrarea amplificatorului și cablul de la punte la ieșirea amplificatorului; se va face o citire cu  $15\text{dB}$  mai jos de partea superioară a ecranului. Această adaptare a rămas virtual nemodificată (acum intenționat) am îndepărtat sarcina terminală de la intrare. Slaba dependență a ambelor pierderi de neadaptare ale amplificatorului este rezultatul celor 4 etaje ce-l compun. Reacția unui singur etaj de amplificare va avea impedanță portului care depinde puternic de terminația la portul opus.

Dacă din generatorul de semnal furnizăm  $-30\text{dBm}$ , la portul **LOAD** al punții vom regăsi  $-36\text{dB}$

Acest nivel e destul de mic pentru ca amplificatorul să nu fie supracomandat. Măsurările de adaptare trebuie să fie făcute la un nivel suficient de mic pentru ca amplificatorul să nu rămână linear. În acest caz nu vom sesiza nici o diferență când vom aplica 10dB mai mult la intrare.

Într-adevăr, când efectuăm măsurările ale pierderilor de neadaptare – cele mai multe din măsurările efectuate cu analizorul de spectru – e bine dacă în fața mixerului analizorului de spectru se stabilește o atenuare de cel puțin 10dB. Când această atenuare este conectată, nivelul de referință se schimbă de la vârful ecranului la baza sa. Acum, pierderile de neadaptare se vor măsura ca o diferență în decibeli față de noua referință.

**Măsurători la antenă.** În timp ce puntea de pierderi de neadaptare este conectată între generatorul de semnal și analizorul de spectru, este interesant de privit la alte valori de impedanță. Evident că alegem sistemul de antenă al stației, în mod special, dacă el este conectat prin intermediul unui *transmatch*. „Jucându-ne” cu butonul de acord cu placere vom demonstra că puntea și sistemul de detectie sensibil va permite reglări cu o acuratețe ne mai întâlnită în cazul sistemelor tradiționale a detectorului cu diodă. O astfel de acuratețe a acordului nu e necesară într-o instalatie normală de antenă, e interesant de văzut ce poate fi măsurat.

**Evaluare emițător.** O altă aplicație evidentă pentru un analizor de spectru este în evaluarea emițătorului. Figura 14 prezintă ieșirea unui tipică dintr-un chit de transceiver QRP. Semnalul dominant este cel de ieșire la 7MHz cu o putere de ceva mai bine de 1W, cu toate celelalte distorsiuni de ieșire. Toate distorsiunile sunt atenuate cu 40dB, ceea ce corespunde cu specificațiile la zi ale forurilor naționale competente. Trebuie să ne dea de gândit, că cei ce proiectează și construiesc, vor obține performanțe semnificativ mai bune dacă vor utiliza aparatură de măsură și control de bună calitate.

Figura 14 – Explicații în text.

Figura 15 – Se prezintă ieșirea unui simplu emițător QRP cu două răspunsuri de perturbații măsurabile. Semnalul util este în centru. Distorsiunea din stânga este

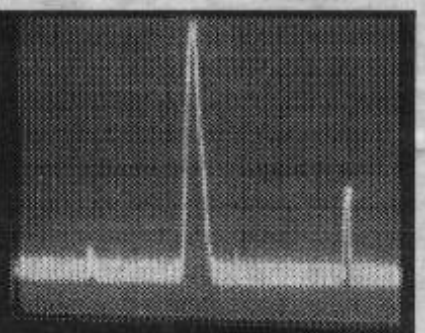
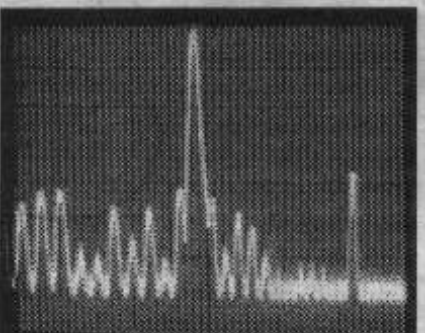


Figura 15 – Se prezintă ieșirea unui simplu emițător QRP cu două răspunsuri de perturbații măsurabile. Semnalul util este în centru. Distorsiunea din stânga este

semnalul de la intrarea în Tx de la VFO cu o atenuare de 64dB; în dreapta este armonica a doua cu o atenuare de 44dB.

Ieșirea de la un TX QRP (și cu siguranță de la cele de putere mai mare) este suficientă să deterioreze circuitele de intrare în analizorul de spectru. În general, atenuatoarele construite sunt capabile să suporte fără a se deteriora, puteri de până la 1W în timp ce în comerț pot ajunge până la 2W. În acest analizor mixerele pot fi deteriorate cu semnale mai mici de 50-100mW. Pot fi utilizate două metode prin care putem vedea ieșirea unui TX QRO fără a cauza deteriorarea analizorului de spectru. Prima, ar fi, ca la ieșirea emițătorului să se conecteze un cuplu direcțional cu un cuplaj slab cu port de eşantionare de -20 la -30dB. Majoritatea ieşirilor sunt disipate într-o sarcină artificială. A doua metodă utilizează un atenuator fix de putere mare. Figura 16 prezintă un atenuator de 20dB care suportă până la 20W. Schema nu e simetrică.

**Analiza spectrală la frecvențe superioare.** Deși este extrem de util, constatăm că analizorul de spectru la 70MHz acoperă frecvențe destul de ridicate. Nu numai că să experimentăm, dar dorim să examinăm mecanismul armonicilor de ordin superior al frecvențelor de unde scurte în benzile de VHF și UHF. Una din metodele pe care o putem aplica este utilizarea unui receptor cu un converter, de obicei controlat cu un cristal de quarț. Același lucru poate fi făcut cu un analizor de spectru, deși cristalul de control nu e necesar. Se poate construi un bloc de conversie, ce va consta dintr-un oscilator comandat în tensiune la 100-200MHz (ca cel utilizat în analizor) și un mixer cu diode. Un oscilator comandat în tensiune, comercial, cu un atenuator de 3dB va comanda direct un mixer SBL-1 sau TUF-1 pentru a obține un converter cu 10dB pierderi nominale. Pentru a utiliza convertorul la analizorul de spectru realizat anterior, va fi necesară o mică modificare a părții de intrare în analizor. Acest convertor permite analiza unui destul de mare spectru de frecvențe VHF. Cu oscilatorul comandat în tensiune la 100MHz sunt ușor de studiat frecvențele între 100 și 170MHz. Frecvențele imagine, între 70 și 100MHz, sunt de asemenea disponibile – el poate genera confuzii care se pot depista ușor cu un generator de semnal. Pentru analize la 430MHz și mai sus, e necesar un alt convertor. Tot în acest context se înscrie și necesitatea de a exista un frecvențmetru capabil să fie utilizat la aceste frecvențe ale convertorilor. Aceste blocuri e necesar a fi ecranate, iar intrarea tensiunii de rețea foarte bine decuplată.

Chiar fără analizor, convertorul este un lucru util. De exemplu, el poate fi utilizat cu un filtru trece bandă de 10MHz și un amplificator să comande direct un osciloscop. Acesta poate servi ca un detector sensibil pentru alinierea unui filtru la 110MHz.

Converterul va pune ceva probleme utilizatorului. Calea eficientă este utilizarea unor oscilatoare de frecvențe mari și filtre de intrare adecvate scopului. Se pot construi filtre rezonatoare elicoidale în

zona 500MHz sau mai sus, cu suficientă selectivitate îngustă, pentru a permite a doua conversie la 10MHz. O pistă mult mai practică este realizarea unui analizor cu triplă conversie cum ar fi schema bloc prezentată în figura 17. Un oscilator comandat în tensiune de 1-1.8GHz mută semnalele în spectrul 0-800MHz cu o frecvență intermedie de 1GHz. Acest semnal este ușor amplificat cu amplificatoare monolitice. Construcția unui filtru de 1GHz nu trebuie să fie prea dificilă pentru că nu e necesară o bandă de trecere îngustă. O bandă de trecere de 20-30MHz cu un filtru cu 3 rezonatori trebuie să fie adecvat. Semnalul rezultat este apoi heterodinat, cu o frecvență intermedie VHF (cum ar fi 110MHz) care acum e deja cunoscută.

E clar că există numeroase căi pentru a ataca

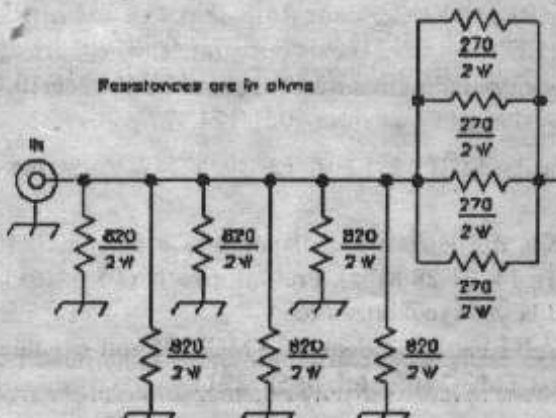
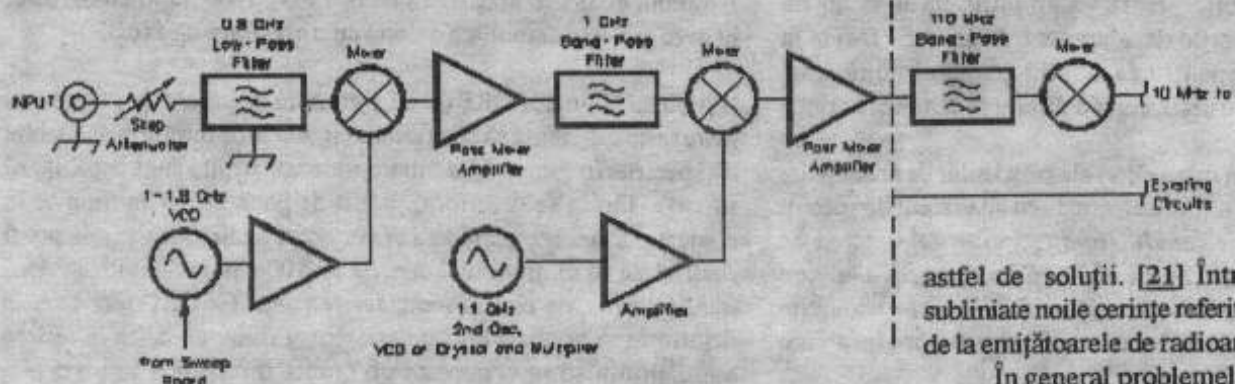


Figura 16 – Atenuator de 20dB care suportă la intrare 20W.

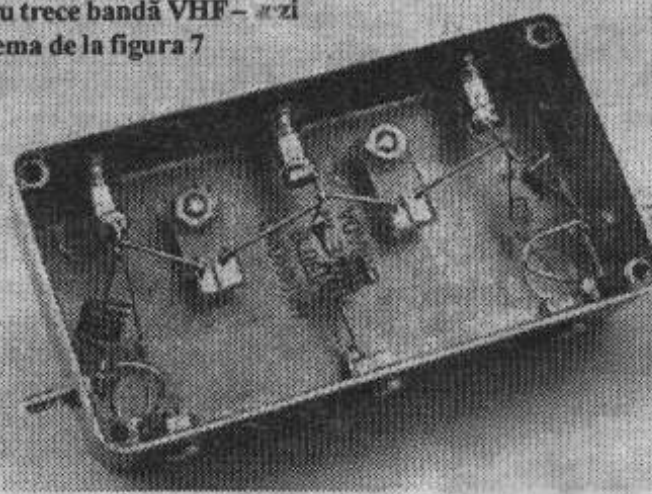


**Figura 17 –**  
Schema bloc a unei versiuni de analizor care va funcționa în portiunile VHF și UHF inferioare.

subiectul. Tehnologiile recente oferă un ajutor în ceea ce privește structura filtrelor trece bandă, de înaltă performanță cât și a oscilatoarelor comandate în tensiune cu distorsiuni reduse. Timpul consumat cu unele cataloage și pe WEB site-uri trebuie să fie foarte productiv în această privință. În prima fază, cel mai important lucru este experiența pe care o furnizează realizarea unui analizor de spectru de frecvențe mici.

**Sumar.** Acest analizor a fost o sculă utilă autorului mai bine de 10 ani, care posedă o minunată experiență și este un constructor "înrătit" de echipamente SSB/CW în unde scurte și VHF cu bune echipamente de test. S-au realizat special, analizoare cu bandă îngustă de acord pentru a examina distorsiunile și supri-marea benzilor laterale la emisie. Echipamentul utilizează aceleași concepte prezentate.

Sunt multe căi prin care se poate dezvolta acest instrument. Mulți constructori au căutat să interfejeze analizorul cu un PC, în locul unui osciloscop. Au fost deja prezentate circuitele care pot furniza



**Figura 18 – Prototipul unui filtru trece bandă VHF – vizi schema de la figura 7**

astfel de soluții. [21] Într-un alt QST recent sunt subliniate noile cerințe referitoare la emisii parazitare de la emisioarele de radioamatori.

În general problemele mai vechi sunt înlocuite de problemele mai noi, mult mai stringente. Analizorul de spectru descris aici poate fi o sculă de bază ce va rezolva noile provocări.

**Multumiri** lui WA7MHL, WK7Q, W7HJS și în special lui KK7B pentru contribuțiile lor.

[15] Oscilatorul de bandă largă prezentat în figura 68, cap 7 din "Solid State Design for Radio Amateur (Newington, ARRL, 1997) este bun de utilizat.

[16] Termenul de *dBc* se referă la *dB* de atenuare față de o purtătoare specifică. Sunt destui parametri, care toți sunt denumiți *câștig*.

[17] Formal, acesta este un câștig convertit sau un câștig de inserție 50.

[18] Sursele de semnal utilizate sunt versiuni actualizate ale circuitelor prezentate în figura 66, pagina 168 din [15]

[19] Vezi pagina 154, *Solid State Design for The Radio Amateur*.

[20] O pierdere de neadaptare de 20dB corespunde la un coeficient de tensiune de reflexie de 0,1, sau un SWR de 1,222. Vezi Wes Hayard, W7ZOI, *Introduction to RF Design* (Newington: ARRL, 1994), pagina 120.

[21] Vezi, de exemplu, Steve Hageman, "Build Your Own Network Analyzer", QST, Jan, 1998, pagina 39-48 și Feb 1998, pagina 35-39.

**Bibliografie:** 1998 ARRL Periodicals CD, QST, september: A spectrum Analyzer for the radio Amateur.

Traducere și adaptare YO4BII

## PUBLICITATE

**De vinzare** modul TNC2 asamblat, testat pentru radio pachet cu urmatoarele caracteristici:

- marime modul: 180x80mm, circuit imprimat de calitate
- 32K SRAM pentru a stoca informații în cazul unei pene de curent
- EPROM-ul conține 2 programe diferite (KISS.EPD,TF27b.EPD)
- poate fi selectat cu jumper modul NRZ sau NRZI pentru emisie și receptie. Contine un circuit DCD. Comunica cu portul serial cu max. 38400 baud. Pe portul lui HDLC poate fi conectat un modem cu 300-19200 baud. A fost testat sub urmatoarele sisteme de operare: DOS, Win9x, Linux. A fost testat cu urmatoarele programe de radio pachet: Graphic Packet, TstHost, NPG, Winpack, TstWin, Vpacket, WinGT, XNET.

Informatii la tel: 093-458724, AX25: yo5ofh@yo5ysm.sam.rom.eu, E-mail: yo5ofh@hotmail.com sau Web: <http://www.micromedia.home.ro> (aici gasiti si alte module interesante).

yo5ofh - Csaba

**CAUT** Transceiver HM functional (gen A 412). Florentin - YO2LIQ tel 055-551.600, 095-617.386

**Adunarea Generala a FRR va avea loc la Bucuresti in ziua de 21 aprilie**

**Informatiile pentru pagina WEB a FRR se vor trimite la yo3fvc@qsl.net**

**INFO** despre ARRL DXCC Honor Roll se pot găsi la ARRL DXCC Manager Bill Moore, NC1L, via E-mail at: bmoore@arrl.org

**OFER** gratuit pentru radioamatorii constructori: filtru MF 10,7 MHz. YO7BGA -Panait Constantin - 051/124.477

**CAUT:** tuburile: ECH 35, EF36, EF 39. YO4WV - Stefan - Tel. 041/68.25.25.

**Paul YO9CXE** din Buzau are disponibila o antena GP30 originala (pentru 14, 21 28 Mhz). Pret informativ 60\$ relatii la 038445482 sau la yo9cxe@buzau.ro

**YO8RLA GABI** cauta modem cu TMC3105 sau eventual circuitul integrat TMC 3105 tel: 095872911

## Antene, de la baze...

Această traducere este făcută după excelentul articol "Antennas from the ground up" scris de către Ian Hickman, la rubrica RF Design din prestigioasa revistă Electronics World, numărul din ianuarie 1998. Pornind de la dipolul în semiundă și până la antenele active de recepție sărăcăuță de antene Yagi și cele de tip buclă, autorul explică unele aspecte fundamentale ale antenelor, uneori neglijate...

Este un lucru obișnuit, pentru o revistă care se numea cîndva *Wireless World*, să trateze diferite subiecte legate de comunicațiile fără fir, incluzînd aici și cele legate de antene. Deoarece în ultima vreme s-a discutat mai mult despre tehnologia de realizare a diferitelor antene<sup>[1]</sup>, considerăm că este timpul să aruncăm o privire mai cuprinzătoare antenelor de toate tipurile și principiilor de bază ale funcționării lor.

### Pentru început...

Atunci cînd discutăm despre antene elementul de comparație utilizat din punct de vedere teoretic este antena-radiator-izotropic. Dacă este alimentată de la un emițător, această antenă radiază putere cu intensitate egală în toate direcțiile.

Ca oricare antene și radiatorului izotropic sunt asociate în spațiu linii de cîmp electric și magnetic, datorită existenței tensiunii aplicate și curentului care parcurge elementele antenei. În imediata apropiere a antenei aceste cîmpuri nu sunt în fază, și deci reprezintă energie stoacă circulantă: această zonă este denumită zonă de cîmp apropiat (*near field region*). Acest cîmp scade rapid cu distanța, fiind deja destul de mic la o distanță de  $\lambda$  metri, adică la o lungime de undă față de antenă.

Dar antena radiază cîmp electric și magnetic care sunt *în fază*, și reprezintă calea de transmitere a puterii prin antenă - cîmpul îndepărtat (*far field*). Intensitatea cîmpului magnetic corespunde cîmpului de magnetizare, măsurat în amperi pe metru. Acesta, împreună cu intensitatea cîmpului electric (măsurată în volți pe metru) definesc impedanța caracteristică a spațiului liber care este  $120\pi$  sau  $377\Omega$ .

Antena izotropică apare ca fiind pur rezistivă și după cum se

arată în Fig. 1 această rezistență are două componente. Rezistența  $R_R$  este denumită *rezistență de radiație* și exprimă rezistență nedisipativă care reprezintă "calea" prin care antena radiază putere. Rezistența de

Fig. 1 Rezistența de radiație  $R_R$  transformă o parte din energia provenită de la emițător în căldură. Rezistența de radiație  $R_R$  nu are acest dezavantaj - ea radiază energia primă în spațiu.

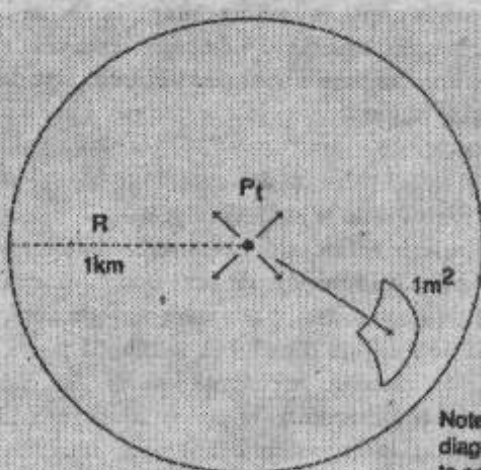
pierderi  $R_L$  este componenta ohmică a rezistenței totale a antenei. Reiese cu claritate că eficiența de radiație  $\eta_r$  se poate exprima prin relația din Ec. 1.

În anumite cazuri este posibil să facem rezistența  $R_R$  neglijabilă, dar uneori, în practică, trebuie acceptată o eficiență a radiației mult mai mică decît 100%.

Fig. 2 arată un radiator izotropic situat în spațiu liber, radiind puterea  $P_t$ .  $D = \frac{P_t}{4\pi d^2}$  (Ec. 2) Densitatea puterii  $D$ , în wati pe metru pătrat, la distanța  $d$ , în metri, este dată de Ec. 2. În această relație se presupune că  $d$  este mult mai mare decît lungimea de undă și că este, desigur, independentă de



frecvență (*N. Trad.* este o distanță, aleasă convenabil). Termenul  $4\pi d^2$  reprezintă suprafața unei sfere de rază  $d$ , cu centru situat în radiatorul izotropic. Intensitatea cîmpului electric  $\epsilon$ , în volți pe metru, în orice punct din spațiu este dată de Ec. 3. Dar dacă  $D$



$$\text{Power density } D \text{ at range } R = \frac{P_t}{4\pi R^2} \text{ W/m}^2$$

$$\text{e.g. if } P_t = 1\text{W}, \text{ then at } R = 1\text{km}, D = \frac{1}{4\pi \cdot 1000^2} = 0.078 \mu\text{W/m}^2 = -71\text{dBW/m}^2$$

Fig. 2 O antenă-radiator-izotropic radiază energie în spațiu cu o intensitate egală în orice direcție.

depinde doar de  $P_t$  și de distanță, de ce comunicațiile pe o distanță dată în spațiu liber necesită o putere de o sută de ori mai mare la frecvența de  $\epsilon = \sqrt{377D}$  (Ec. 3) 100MHz decît la frecvența de 10MHz?

În fond, cu ce-i mai bun watt-ul altcuiva la 10MHz decît watt-ul meu la 100MHz?

### Micșorarea pierderilor prin întoarcere

Răspunsul la întrebare se poate afla dacă considerăm o antenă de recepție. Vom apela tot la o antenă izotropică, cum este cea din Fig. 2 (în plus o considerăm potrivită pentru frecvențele considerate) scufundată într-un cîmp cum este cel dat de Ec. 2. Va receptiona o putere determinată de suprafața sa efectivă, denumită *apertură efectivă*. Apertura efectivă  $A$ , în metri pătrați, a unei antene izotrope concepută a lucra la frecvența  $f$  în MHz este dată de Ec. 4, unde  $\lambda=300/f$ , în metri pentru  $f$  în MHz. Deoarece apertura antenei este proporțională (inerent) cu pătratul lungimii de undă, o antenă, de orice tip, care lucrează jumătatea frecvenței uneia de același tip va primi de patru ori mai multă energie.

Combinând Ec. 2 și Ec. 4, pentru antenele izotrope de emisie și de recepție, puterea recepționată  $P_r$  este pur și simplu  $D$  de înmulțit cu  $A$  ceea ce conduce la Ec. 5.

Această relație definește legea scăderii puterii cu pătratul distanței

$$P_r = \frac{P_t}{4\pi d^2} \cdot \frac{\lambda^2}{4\pi} = \frac{P_t \lambda^2}{(4\pi d)^2} \quad (\text{Ec. 5})$$

pentru spațiul liber, adică o pierdere suplimentară cu 6dB

pentru fiecare octavă - sau dublare - a distanței.

Nu se poate construi o antenă simplă cu caracteristică de radiație izotropă așa că a venit vremea să ne uităm la antenele din lumea reală. Aici întâlnim numai cîteva tipuri de bază, dar fiecare este capabil să suporte modificări și rafinări ale soluției pentru o mare diversitate de scopuri. Vom începe cu tipurile de bază și vom lăsa variațiunile pentru mai tîrziu.

### Dipolul în semiundă

Cea mai simplă antenă care poate fi realizată în practică este dipolul în semiundă. Imaginea-vă ultima bucătă a unei linii de transmisie deschise, echilibrate, măsurând un sfert de lungime de undă, despăcată la capăt la un unghi drept, în forma literei T. În mod normal, la o distanță de  $\lambda/4$  de capătul deschis al unei linii de transmisie aceasta pare ca un scurt-circuit. Dar din cauză că brațele deschise radiază energie acestea par a avea o rezistență finită. Aceasta este de aproximativ  $73\Omega$  așa că dacă alimentăm un dipol printr-un fider echilibrat de această impedanță toată puterea incidentă va fi absorbită și radiată în spațiu.

Absența puterii reflectate înseamnă că raportul de undă staționară, exprimat în unități de tensiune (denumit prescurtat VSWR), este 1:1 (sau unitar), o adaptare perfectă pentru emițător.

Ca antenă de recepție dipolul în semiundă poate fi modelat ca o sursă de tensiune cu rezistență internă de  $73\Omega$ . Conform teoremei transferului maxim de putere atunci cind o astfel de sursă este conectată la o rezistență de sarcină, jumătate din puterea preluată de către antenă din spațiu este furnizată sarcinii, restul - celalătă jumătate este disipată intern în sursă. Dar sursa de  $73\Omega$  este reprezentată de rezistență de radiație care, spre deosebire de o rezistență obișnuită, nu transformă energie incidentă în căldură. Jumătate din puterea primită și care nu a fost transmisă sarcinii este re-radiată conform unei diagrame de radiație specifice dipolului, pe care o vom descrie în continuare. Deci distribuția cîmpului în imediata vecinătate a dipolului este rezultanta cîmpurilor incidente și re-radiate. De remarcat că dacă centrul

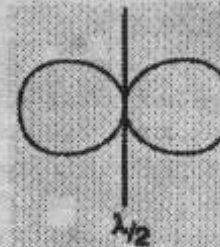


Fig. 3b Diagrama de radiație a unui dipol în semiundă are un maxim pe direcții perpendiculare pe axa sa și este nulă în lungul axei.

impedanță este mult mai mică decît cei  $377\Omega$  care reprezintă impedanță caracteristică a spațiului liber. În Fig. 3b se arată diagrama de radiație pentru dipol, care indică o radiație nulă de-a lungul dipolului. Pe direcții perpendiculare pe dipol peste tot este un maximum de radiație, avind formă, în spațiu tridimensional, a unui tor (sau în formă de gogoasă - inelus).

Deoarece puterea este concentrată în special pe direcții perpendiculare pe dipol, cu valoare zero la capetele acestuia, cîmpul maxim radiat pe direcții preferențiale este mai mare decît ar fi fost în cazul unui radiator

izotropic atât cu aceeași putere. Ca antenă de recepție dipolul prezintă aceeași diagramă - un maximum de sensibilitate pentru semnalele care vin din direcții perpendiculare pe dipol și sensibilitate nulă pentru cele care vin în lungul dipolului.

Pentru antena dipol în semiundă apertura efectivă este dată de Ec. 6, unde  $G$  reprezintă ciștigul față de radiatorul izotropic; este evident că  $G$  este o funcție de orientarea antenei relativ la cîmpul incident. Pentru direcția cea mai favorabilă, care maximizează  $G$  și care este perpendiculară pe axa  $A = \frac{G\lambda^2}{4\pi}$  (Ec. 6) dipolului,  $G$  este de 1,65.

Deci un dipol în semiundă are un ciștig maxim de  $10\log(1,65)$  adică +2,15dB față de un radiator izotropic. Apropo, toți logaritmii folosiți sunt în baza zece, deci  $\log = \log_{10}$ !

De remarcat că pentru un dipol în semiundă secțiunea într-un plan a torului de directivitate, "caracteristica în formă de opt" nu este echivalentă cu două cercuri. Pentru un dipol scurt din punct de vedere electric - cu lungimea mult mai mică decît  $\lambda/2$  - secțiunea este circulară, dar o astfel de antenă nu rezonă. Chiar dacă este adusă la rezonanță, prin acordul reactanțelor, rezistența de radiație  $R$ , este foarte mică - de obicei mult mai mică decît rezistența de pierderi  $R_s$ .

### Dipolul în semiundă are și ei utilizările lui

Deci un dipol electric scurt nu este un bun element radiant și nici o bună antenă de recepție. O astfel de antenă este bună ca sondă pentru măsurarea cîmpului electric  $E$  ( $E$ -field probe), dacă este conectată la un amplificator cu impedanță de intrare foarte mare.

Cu o astfel de sarcină de mare impedanță, apropiată de gol, antena generează o tensiune dată de relația:  $E_{oc} = I_x \cdot \epsilon$  unde  $\epsilon$  este intensitatea cîmpului electric în volți pe metru și  $I_x$  este lungimea electrică efectivă a dipolului. Dacă lungimea fizică a dipolului este mult mai mică decît  $\lambda$ , atunci lungimea efectivă poate fi considerată egală cu lungimea fizică.

Doi dipoli, amplasați în planuri perpendiculare și conectați corespunzător vor receptiona semnale din toate direcțiile, iar dacă mai amplasăm și un al treilea dipol într-un plan perpendicular pe celelalte două se poate obține o diagramă de radiație izotropă. Această schemă este utilizată într-adevăr pentru unele antene de măsură utilizate în măsurări de compatibilitate electromagnetică (EMC).

Fig. 3 arată și distribuția de curent în dipoli de lungime  $\lambda$  și  $3\lambda/2$ . Aici impedanțele la punctul de cuplare cu fiderul sunt mari, respectiv mici, raportate la impedanța spațiului liber. Direcția pentru radiație maximă face un unghi de  $54^\circ$ , respectiv  $42^\circ$  față de axa dipolului, în comparație cu un unghi de  $90^\circ$  pentru dipolul în semiundă.

Fig. 4 arată trei modalități de conectare a dipolului la fider. În

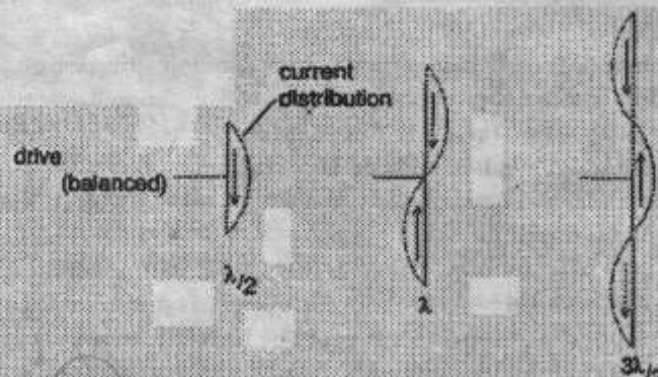


Fig. 3a Distribuția de curent prin un dipol în semiundă (cu lungime de  $\lambda/2$ ): în partea stângă se observă că are un maxim în punctul de alimentare și este nulă la extremități, exact inversul distribuției tensiunii. Sunt arătate și distribuțiile de curent pentru dipoli de lungime  $\lambda$  și  $3\lambda/2$ .

dipolului ar fi fost scurtcircuitat în loc să fie conectat la un fider și la o sarcină, toată puterea recepționată ar fi fost re-radiată, modificind cîmpul local.

În Fig. 3a, se arată un dipol în semiundă și distribuția de curent prin acesta, cu un maxim în centru, așa cum se indică. Distribuția are forma unei jumătăți de sinusoidă și forma distribuției de tensiune este o jumătate de cosinusoidă, adică zero în centru și maximum (în antifază) la fiecare extremitate. Cu fiderul conectat în punctul de curent maxim și minim de tensiune



Fig. 4 a). Dipolul în semiundă prezintă (sau oferă) o impedanță rezistivă de  $73\Omega$ , simetrică; b). Dipolul poate fi conectat, fără dezadaptare, la o impedanță simetrică de  $300\Omega$ , utilizând o adaptare în delta. Distanța "m" și lungimea brațelor sunt parametri care trebuie ajustați pentru a corespunde cu raportul dintre lungimea dipolului și secțiunea conductorului și impedanța fiderului; c). Impedanța unui dipol îndoit este de patru ori mai mare decât a unui dipol obișnuit, asigurând o bună adaptare la un fider simetric de  $300\Omega$ .

Fig. 4a) impedanța dipolului de  $73\Omega$  este tocmai bună de a fi adaptată cu un cablu coaxial de  $75\Omega$ , așa cum sunt cele utilizate la receptoarele TV, deși trebuie făcută observația că, în cazul coaxialului, linia este neechilibrată (nesimetrică) iar dipolul este echilibrat (simetric). Un *balun* adică un transformator de adaptare **echilibrat-neechilibrat** (*balanced-unbalanced*) poate fi utilizat pentru soluționarea acestei probleme, dar, de multe ori, el este omis. Conversia echilibrat-neequilibrat are loc întrucîptă pe o distanță de cîteva lungimi de undă, în lungul fiderului, care acționează ca un fel de balun.

Pentru anumite semnale, cum sunt cele din domeniul radiodifuziunii FM se utilizează frecvență un fider echilibrat, de tip panglică, cu impedanță caracteristică de cca.  $300\Omega$ . Acesta poate fi adaptat la impedanță mai joasă a dipolului în semiundă, utilizând adaptarea în delta arătată în Fig. 4b. Ca alternativă se poate utiliza dipolul îndoit din Fig. 4c. Cei doi dipoli, apropiati unul de celălalt, acționează ca un transformator cu raportul de 2:1 (sau 4:1), transformind impedanța de  $73\Omega$  a dipolului în  $292\Omega$ , adaptată la cablul panglică.

#### Radiatorul vertical în sfert de lungime de undă

Probabil următoarea antenă larg utilizată, după dipol, este radiatorul vertical în sfert de lungime de undă sau antena verticală.

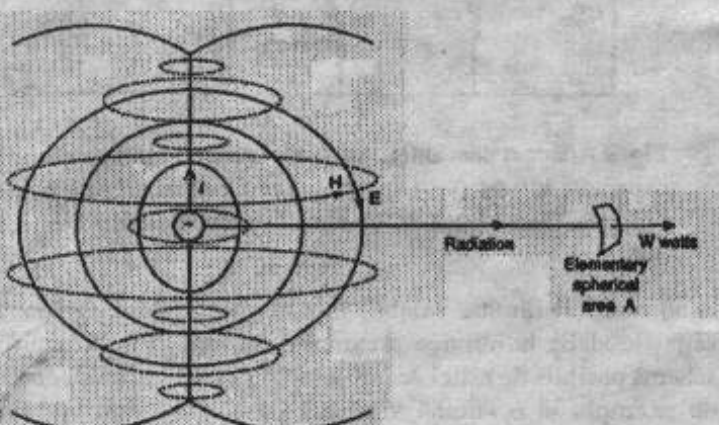


Fig. 5 Se arată liniile de cîmp magnetic și electric care înconjoară un dipol în semiundă conectat la un emițător.

Fig. 5 arată cîmpurile electric E și magnetic H în imediata vecinătate a unui dipol în semiundă. În spațiu, cîmpurile se distribuie așa cum se indică, fiind peste tot mutual ortogonale, adică perpendiculare unul pe celălalt.

În timp, cîmpurile din imediata vecinătate a antenei - zona cîmpului apropiat - sunt în quadratură, așa cum aminteam anterior. Aceasta înseamnă că ele reprezintă o formă de energie stocată,

așa cum se întimplă și în cazul unui circuit acordat; un dipol în semiundă este rezonant. În cazul cîmpului îndepărtat, fiind în fază, cîmpurile realizează un transfer real de energie dinspre antenă.

Așa cum menționam mai înainte, impedanța dipolului în punctul de conectare este de  $73\Omega$ , simetrică. Acum să ne să ne imaginăm o bucată plană de cupru, de suprafață infinită, inserată

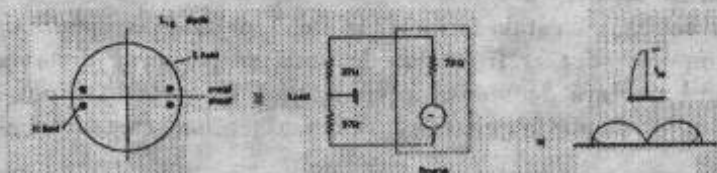


Fig. 6 Se arată cum performanțele unei antene verticale în  $\lambda/4$ , situate deasupra unui plan de masă idealizat sunt derivate din comportarea unui dipol în semiundă.

între cele două brațe ale dipolului, așa cum se încearcă să se arate schematic în Fig. 6a. Liniile de flux magnetic nu intersecțează folia de cupru nicăieri; ele sunt complet neafectate de prezența acesteia. În mod asemănător, liniile de cîmp electric nu sunt afectate, deoarece ele întlnesc folia de metal sub unghiuri drepte. Deci antena se comportă ca două antene separate, una radiind jumătate din energia aplicată în sferă superioară, cealaltă în sferă din partea de jos.

De aceea o antenă verticală situată deasupra unui plan de masă perfect are o impedanță de  $37\Omega$  și o diagramă de radiație care este omnidiirectională în plan orizontal. Diagrama în plan vertical este o jumătate de tor, fiind pur și simplu porțiunea superioară a diagramei unui dipol în semiundă.

Deoarece o antenă verticală ideală radiază toată energia în porțiunea superioară a unei sfere, asigură un ciștag direcțional maxim - în direcție orizontală - de  $3dB$  față de un dipol în semiundă, deci de  $5,15dB$  față de un radiator izotrop.

În practică planul de masă nu este perfect. Cum deobicei aceasta este situația, diagrama de radiație nu se extinde pînă jos. Direcția de radiație maximă este ușor ridicată, așa cum se arată, figurat cu linie punctată, în Fig. 6b.

De fapt, de cele mai multe ori planul de masă este imperfect, fiind uneori foarte departe de ideal de exemplu la emițătoarele portabile, cum este cazul telefoanelor mobile sau al *handy*-urilor.

#### Antena buclă

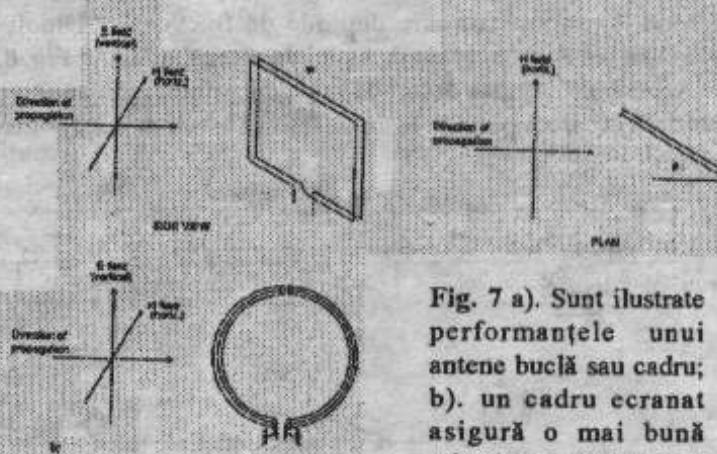


Fig. 7 a). Sunt ilustrate performanțele unui antenă buclă sau cadru; b). un cadru ecranat asigură o mai bună rejecție a perturbațiilor electrostatice.

În afară de antena dipol și cea verticală următoarea antenă de bază este antena buclă. Fig. 7a arată o antenă buclă verticală de înălțime h și lățime w, traversată de un cîmp polarizat vertical sub unghiul  $\theta$  (cu  $\theta < 90^\circ$ ) așa cum se arată în aceeași figură, vederea

subintitulată "plan".

Dacă există cîmpul electric  $E$  (in volți pe metru) atunci în fiecare conductor apare o tensiune indușă  $E \times h$ . Tensiunea indușă în conductorul vertical cel amări apropiat de sursa cîmpului (emîtător) va apărea și în conductorul vertical  $\phi = \frac{2\pi}{\lambda} w \cos\theta$  (radiani) (Ec. 7) cal mai departăt cu

un defazaj indicat de formula din Ec. 7, defazaj corespunzător timpului necesar frontului de undă să parcurgă distanța suplimentară de  $w \cos \theta$  metri. Dacă distanța este mică corespunzătoare în raport cu  $\lambda$ , cele două tensiuni, care sunt con-

$$Eh\phi = \frac{E h 2\pi w \cos \theta}{\lambda} = \frac{EA 2\pi \cos \theta}{\lambda} \quad (\text{Eq. 8})$$

siderate în direcții opuse de-a lungul buclei aproape că se anulează reciproc. Rezultanta netă, pentru fiecare spiră va fi aproximată de Ec. 8, unde A este suprafața cuprinsă de buclă.

Rezultatele de mai sus sunt valabile numai în cazul în care  $w$  și  $h$  sunt amândouă mici în comparație cu  $\lambda$ . Dacă această condiție nu este îndeplinită, apar unde staționare de-a lungul conductoarelor, complicînd mult teoria.

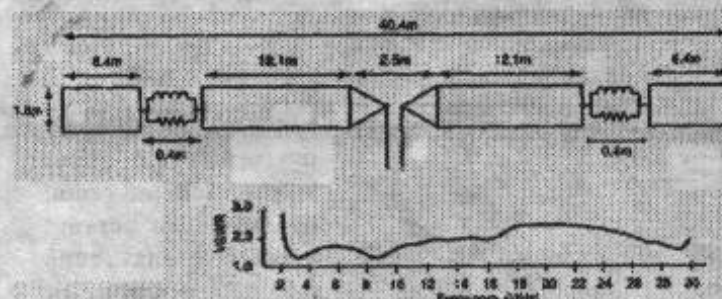
**Ceva mai multă lărgime de bandă pentru dipoli**

Pentru dipolul în semiundă s-au dezvoltat mai multe variații pe aceeași temă. Un dezavantaj al acestei antene, denumită "dublet" în Statele Unite este lărgimea de bandă relativ redusă. Aceasta poate fi crescută prin utilizarea unor conductoare mai groase pentru cel două brațe ale dipolului; acestea pot fi tubulare sau mai multe fire conectate în paralel și sprijinite pe suporturi circulare. În acest caz, "efectul de capăt" este mai pronunțat. Acest efect de capăt înseamnă că lungimea optimă pentru dipolul în semiundă este cu unul pînă la două procente mai mică decît lungimea teoretică de  $\lambda/2$ . Dacă h reprezintă jumătate din lungimea dipolului și a este secțiunea brațului, atunci pentru valori ale lui h/a mai mici de 100, scurtarea poate atinge pînă la 10% (sau ceva pe acolo) din lungimea teoretică. Această valoare depinde mult și de modul în care sunt conectate împreună brațele pentru conectare la fider.

**Si mai multă lățime de bandă**

Dacă este nevoie de o lărgime de bandă și mai mare și care nu poate fi obținută prin metoda de mai sus se poate încerca o încărcare rezistivă a antenei. Aceasta conduce la creșterea rezistenței de pierderi  $R_p$ , parametru care depinde de frecvență. "Dipolul australian" este un exemplu de astfel de antenă, arătat în Fig. 8.

Această antenă este destul de populară printre radioamatorii entuziaști deoarece permite lucrul în întregă bandă de unde scurte.

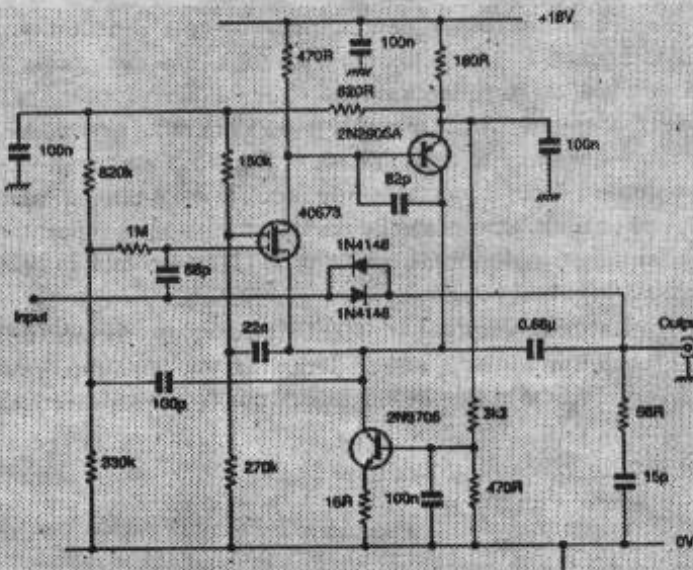


**Fig. 8** Un dipol simetric, cu impedanță de  $300\Omega$ , montat orizontal, este o antenă des folosită, putind acoperi toate benzile de amatori. Pentru uz general trebuie montat căt mai sus și mai degajat posibil. Circuitele LR au inductanță de  $16\mu H$  și rezistență de  $300\Omega$ .

În unele aplicații, implicind numai recepția unor semnale, eficiența antenei nu este chiar atât de importantă și putem adopta unele soluții (micșorarea dimensiunilor fizice, distribuirea compensării, etc.)<sup>11</sup>. Își în cazul antenei verticale se pot face modificări în sensul reducerii dimensiunilor fizice; se poate reduce lungimea (ceea ce conduce la accentuarea caracterului capacativ) și reacorda antena printr-o bobină de lungire electrică. Ca alternativă se poate introduce o inductanță la jumătatea antenei verticale scurte sau se poate adăuga o capacitate terminală (sus). Aceste variante pot fi combinate, în diferite proporții.

Intr-o variantă larg utilizată conductorul este bobinat pe o armătură izolantă, desori flexibilă. Se poate adăuga o capacitate la bază pentru a aduce antena din nou la rezonanță. Toate acestea conduc la o îngustare a benzii de trecere, datorită creșterii factorului de calitate (Q-ul antenei). Ele reduc deasemenea și eficiența de radiatie, crescînd raportul  $R_s/R_p$ .

Doar pentru recepție, cu antenă verticală scurtată, cu capacitate terminală la vîrf se poate forma o antenă activă, funcționând ca sondă pentru măsurarea intensității cimpului electric E. Îșirea este conectată la un amplificator cu ciștig ridicat, amplasat la baza antenei. Această variantă este foarte convenabilă pentru benzile de unde scurte, unde zgomotul benzii este mare, măscind astfel un zgomot ceva mai ridicat al preamplificatorului.



**Fig. 9** Adăugat unei antene verticale scurte, compensată capacitive la vîrf (vezi în text), acest circuit asigură o recepție foarte bună în banda de frecvențe 100KHz-30MHz.

Aranjamentul rămine valabil, în anumite limite, chiar pentru semnale slabe la intrarea preamplificatorului. Fig. 9 indică o schemă posibilă de astfel de (pre)amplificator. El se poate conecta, de exemplu la o antenă verticală de cca. 400mm înălțime. Elementul vertical poate fi adăpostit într-un tub de masă plastică și are o capacitate la vîrf formată dintr-un disc metalic cu diametrul de 250mm<sup>[2]</sup>.

**Alternative...cu bucle**

Acolo unde nu este avantajos să plasăm o antenă (de mari dimensiuni) în exteriorul unei carcase, aşa cum se întimplă la unele aparate portabile, se poate recurge la o variantă de antenă buclă. Este varianta cunoscută ca "antena cadru", care a fost folosită încă de la începuturile comunicațiilor radio.

Constructiv, antena buclă arată ca un solenoid (o bobină fără miez magnetic), deși în practică poate fi descrisă și ca bobină avind ca miez transceiverul. Spre deosebire de dipolul în

semiundă și de antena verticală, amîndouă sensibile la componenta electrică E a cîmpului electromagnetic, antena buclă răspunde la componenta magnetică H a frontului de undă.

În general termenul de "antena buclă" este ușor folosit pentru a desemna o buclă cu o singură spiră în timp ce "antena cadru" este un termen utilizat pentru o antenă cu mai multe spire.

Fig. 7 arată o antenă cadru cu două spire. O posibilă utilizare pentru această antenă este cea de radiogoniometrie. Pentru această aplicație o antenă cu două sau mai multe spire cum este cea din Fig. 7a, nu va genera în mod univoc (printr-o scădere bruscă a semnalului) o direcție a semnalului. Deoarece bucla are o grosime finită, d. în direcția de propagare a semnalului, bucla poate fi considerată echivalentă cu o buclă cu N spire coincidente în serie cu o singură spiră de grosime d. Deci, pentru radiogoniometrie trebuie realizată o antenă cu spire coplanare, ca un fel de tort. Chiar și așa rămîne o incertitudine de  $180^\circ$ , deoarece se obțin două zone de semnal minim. Pentru a o elibera se poate folosi semnalul de la o altă antenă, de obicei verticală. Semnalul de la aceasta poate acționa fie aditiv, fie subtractiv în raport cu semnalul de la antena buclă. Pentru a obține rezultate cît mai bune ieșirea antenei trebuie conectată la intrarea unui preamplificator cu intrarea simetrică. Dacă una din extremitățile antenei buclă se conectează la masă, se produce o dezechilibrare a distribuției capacităților parazite în raport cu planul de masă și antena se comportă întrucâtva ca o antenă verticală scurtă. Aceasta comportare nu numai că influențează negativ obținerea nulului, dar conduce la mărirea susceptibilității în recepționarea semnalelor electrostatice parazite. Ideal, bucla ar trebui să răspundă numai la componenta H a cîmpului.

Atunci cînd antena funcționează într-un mediu în care se presupune că există puternice interferențe electrostatice, atunci este bine ca antena să fie ecranată într-un tub, așa cum se arată în Fig. 7b; astfel de antene se găsesc de vînzare. Desigur, tubul de ecranare trebuie să aibă o mică deschizătură, pentru a putea conecta fiderul. O întrerupere în continuitatea ecranului este absolut necesară, pentru a preveni crearea curentilor de circulație în ecran; ecranul ar produce și o izolare magnetică, antena nerecepționând nimic!

### DX-uri...

Antenele buclă sunt larg utilizate de către entuziaștii căutător de DX-uri din unde scurte și astă din mai multe motive. În primul rînd, antena este directivă. Astă înseamnă că atunci cînd se recepționează un semnal de la o stație îndepărtată, antena buclă poate asigura o discriminare bună a semnalului util față de alte

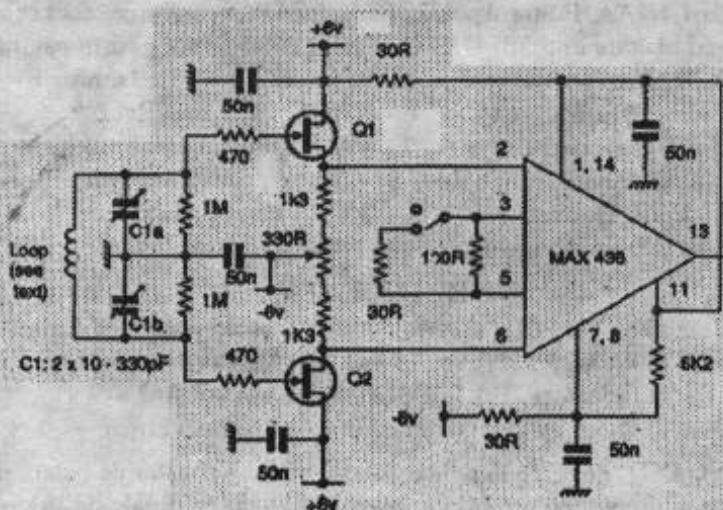


Fig. 10 Acest preamplificator, utilizat cu o antenă cadru (vezi în text), acoperă destul de bine banda de unde scurte.

semnale. Aceste semnale nedeterminate pot fi pe aceeași frecvență sau pe o frecvență adiacentă, sosind sub diferite unghiuri față de azimut în raport cu semnalul dorit. În al doilea rînd, antena cadru poate fi acordată ușor, contribuind la creșterea selectivității receptorului la care este conectată. Antenele cadru se pot utiliza și pentru receptiile emisiunilor din unde scurte.

În Fig. 10 se arată o antenă cadru activă. Utilizând o bobină formată din trei spire de conductor gros de 8AWG cu un diametru de 15 inch și cu o distanță între spire de o jumătate de inch, antena este bună pentru semnale din domeniul de frecvență cuprins între 4,4MHz și 16MHz. Comutatorul asigură alegerea unui cîstig de 8dB sau de 20dB. Detalii suplimentare pot fi găsite în referința bibliografică [3].

### Antene buclă pentru VHF și UHF

La aceste frecvențe antena buclă are de obicei o singură spiră

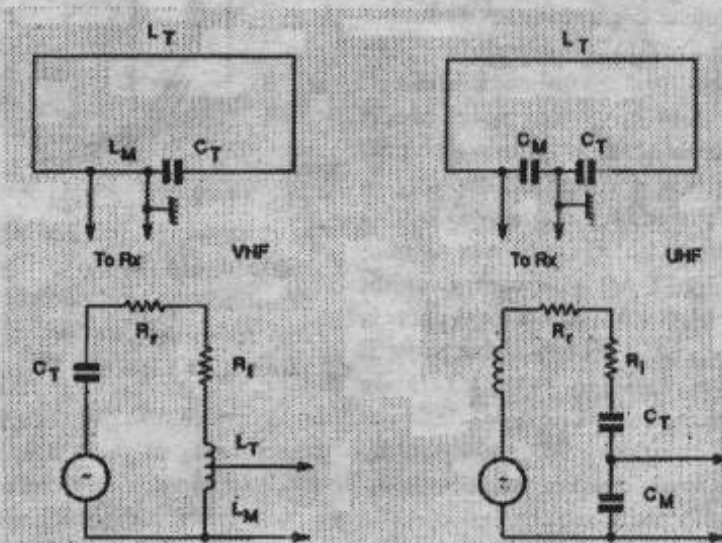


Fig. 11 Diferite moduri de conectare utilizate în mod obișnuit atât pentru unde scurte cît și pentru unde ultrascurte pentru antene cadru de mici dimensiuni.

așa cum se arată în Fig. 11, cu sistemul de adaptare indicat și el în figură. Bucla poate fi formată din conductor cu secțiune rotundă sau din platbandă sau poate fi realizată sub formă unui traseu pe cablaj imprimat. Ecuatiile necesare proiectării unei astfel de antene implică determinarea grosimii și lățimii conductorului și dimensiunile bulei și pot fi găsite în referințele bibliografice [4] și [5]. De remarcat că formulele de calcul oferă doar punctul de pornire în stabilirea dimensiunilor, deoarece prezența într-un spațiu limitat a antenei, cablajului imprimat, bateriei, componentelor electronice, etc. necesită reevaluarea experimentală a proiectului.

Oricare din antenele menționate mai sus - desigur, cu excepția celor active, pot fi folosite atât pentru recepție cît și pentru emisie.

Trebuie luat în considerare că antenele care au dimensiunile fizice mici în raport cu lungimea de undă (antenele verticale cu bobină de lungire și antenele buclă de dimensiuni mici) prezintă o eficiență de radiație redusă. Atât pentru recepție cît și pentru emisie, performanțele lor pot ajunge și pînă la 20dB sub radiatorul izotrop. De remarcat că această înrăutățire a performanțelor se datorează exclusiv pierderilor; apertura efectivă a unei antene "mici" este teoretic independentă de dimensiuni. În practică însă, rezistența de radiație devine excesiv de mică atât față de rezistența de pierderi cît și față de reactanță. Acordul și adaptare devin atunci impracticabile. În ciuda acestor dezavantaje, în funcție

de diagrama de radiație, antena va putea avea totuși un ciștig (provenit din directivitate) în comparație cu radiator izotrop cu pierderi identice.

### Adăugind elemente...

Acolo unde considerentele de spațiu nu sunt importante, de exemplu în instalații fixe, cum ar fi stațiile care recepționează semnale de telemetrie de exemplu de la un bazin de acumulare la dispecerat, legătura poate fi realizată fără utilizarea unor puteri mari la emisie, dacă se utilizează antene cu ciștig mai mare decât dipolul în semiundă.

Se poate obține o astfel de antenă dacă adăugăm elemente "parazite" dipolului în semiundă. Să ne imaginăm un element ceva mai mare decât jumătate de lungimea de undă, plasat aproape de dipolul în semiundă, în partea opusă emițătorului, așa cum se arată în Fig. 12. Acest element, denumit reflector re-radiază toată energia pe care o primește, dar ea va fi defazată (în avans) față de energia sosită pe dipol de la emițător. În momentul în care energia re-radiată de reflector ajunge la dipolul în semiundă, ea este în fază cu semnalul de la emițător, întărinindu-l. În mod asemănător, un element ceva mai scurt, denumit director și amplasat în fața dipolului are un efect asemănător: adaugă un cimp util în dipol. Se pot adăuga multe directoare (scutate proporțional) pentru a spori ciștigul. Spre deosebire de directoare, prin adăugarea în continuare a unor reflectoare nu se obține un ciștig suplimentar.

Astfel de antene, de tip Yagi, care pot avea 18 elemente și chiar mai mult, pot avea ciștiguri de pînă la 15dB comparativ cu radiatorul izotrop. Utilizând cîte o astfel de antenă și la emițător și la receptor puterea necesară realizării legăturii se poate reduce de pînă la 400 de ori față de cazul în care se utiliza numai un dipol.

### O altă modalitate de sporire a ciștigului

O altă modalitate de sporire a ciștigului este însumarea semnalului provenit de la mai multe antene. În Fig. 13 se arată un

### DIPLOMA GIRF 2001

*Grupul Radioamatorilor feroviari din Italia instituie aceasta diploma pentru legături/recepții cu stații membre ale clubului, efectuate în perioada 1 - 15 martie.*

*Diploma are urmatoarele clase:*

Diploma A - benzi: 1,8 - 3,5 - 7 MHz	20 puncte
Diploma B - benzi: 14 - 21 - 28 MHz	5 puncte
Diploma C - benzi: 50 - 144 - 432 - 1296 MHz	10 puncte

*Se admite orice mod de lucru. Fiecare legătură/recepție se cotează cu un punct, cu excepția unei stații speciale "Jolly" care va fi alta în fiecare seara și care se cotează cu 3 puncte. Cererile cuprinzând extras de log și 15 IRC-uri se vor expedia la Marius Gianfranco - via Postloma 112-31050 Villorba (TV), pana la 30 aprilie 2001.*

**GERMAN ISLAND AWARD/GERMAN IOTA Ric, DL2VFR, spune că informații despre insulele germane valabile pentru diploma GERMAN ISLAND AWARD se găsesc în Web page: <http://www.iota-post.com>**

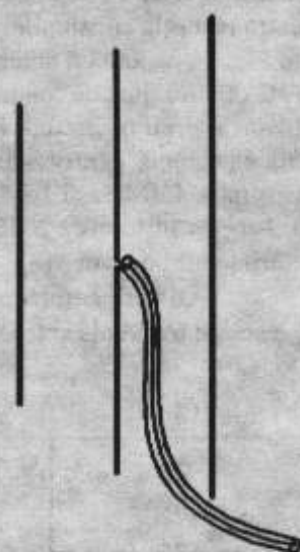


Fig. 12 O antenă Yagi are un reflector în spatele dipolului în semiundă și unul sau mai mulți direcțori în fața acestuia.

grup de dipoli în semiundă în fața unui plan conductiv care, în practică, poate fi format dintr-o plasă de sîrmă.

Utilizând un combinator hibrid (*hybrid combiner*) cu un număr corespunzător de intrări, semnalul de la toate antenele se însumează în fază. Cu un astfel de grup, apertura efectivă poate atinge dimensiuni comparabile cu suprafața fizică de dispunere a antenelor elementare, putînd atinge valori egale, de exemplu, cu  $\lambda^2$ . Pentru a spori și mai mult ciștigul, fiecare antenă elementară poate fi înlocuită cu o antenă Yagi. Asemenea grupuri, foarte directive, de antene asigură un ciștig mare într-o direcție pe scamea reducerii ciștigului pe celelalte direcții. Pentru a vă imagina de ce este așa este suficient să vă gîndiți la folosirea unei astfel de antene pentru emisie.

Puterea emisă este concentrată numai într-o anumită direcție, în defavoarea altora. Această directivitate este foarte utilă și la recepție. Nu se obține numai o creștere a sensibilității receptorului pentru anumite direcții ci și o reducere a semnalelor parazite provenite din celelalte direcții.

### Bibliografie

- Formato, R, *Design wideband antennas*, Electronics World, oct. 1977, pp825-829; aici se regăsesc și alte materiale bibliografice;
- Hickman, L, *Practical radio frequency handbook*, 2nd Edition, 1997, ISBN 0 75063447 2;
- Salvati, *High frequency loop antenna*, Electronic Design, 22 iulie 1996 (scurte detalii sunt reproduse în referință bibliografică [2] de mai sus);
- Virani, *Electrically small antennas*, Journal IERE, 538(6), 266-274, sept-dec. 1988;
- Fujimoto, și alții, *Small antennas*, Research Studies Press, trad. YO3GWR

### DX MAGAZINE'S 100 MOST WANTED!

Carl, N4AA, Editorul publicației QRZ DX, ne informează că cele mai căutate entități DXCC în anul 2000 se pot găsi în pagina Web <http://www.dxpdb.com>. Pe primele poziții găsim:

1 - P5, North Korea	6 - KHSK, Kingman Reef
2 - VU4, Andaman	7 - YA, Afghanistan
3 - BS7, Scarborough Reef	8 - VP8/SS, South Sandwich Island
4 - 3Y/B, Bouvet	9 - 3Y/P, Peter I Island
5 - VU7, Lakshadweep	10 - 7O, Yemen

### PUBLICITATE

**Petrică - YO5CQI** căută: Tuburi metalo-ceramice (2 buc.) 4CX250B, 4CX350A sau (1 buc.) 4CX1000, precum și socluri aferente acestora. Tel. 063 364080; acasă 063 362305; E-mail: [ilsom@elcom.ro](mailto:ilsom@elcom.ro) cu mențiunea pentru Petrică

**YO4NQ** dorește să achiziționeze un amplificator de putere în unde scurte, preferabil cu tuburile 811, 572b, finale de baleiaj orizontal din TV color sau altceva, astfel încât puterea de ieșire să fie în domeniul 400-600w. Poate fi contactat la: 041/239337 int 1687; 1210 Serviciu; 041/237170 - acasă sau [afilip@cne.ro](mailto:afilip@cne.ro)

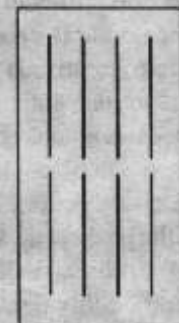


Fig. 13 Un grup de dipoli asigură o creștere a sensibilității într-o direcție prestabilită, ușor pe direcție perpendiculară pe planul suprafeței reflectante. Utilizată împreună cu un dispozitiv de aviere electronică a fazelor pentru fiecare element, această rețea poate avea direcțivitatea și controlul electric.

# ELEMENTE DE CIRCUIT MICROSTRIP

Dr. ing. Ciontu Andrei - YO3FGL

Impedanța de intrare  $Z_{int}$  a unui segment de linie microstrip de lungime  $l$  cu pierderi neglijabile (constantă de atenuare  $\alpha=0$ ), terminată pe o impedanță de sarcină  $Z_s$ , este dată de aceeași binecunoscută formulă de la liniile de transmisii.

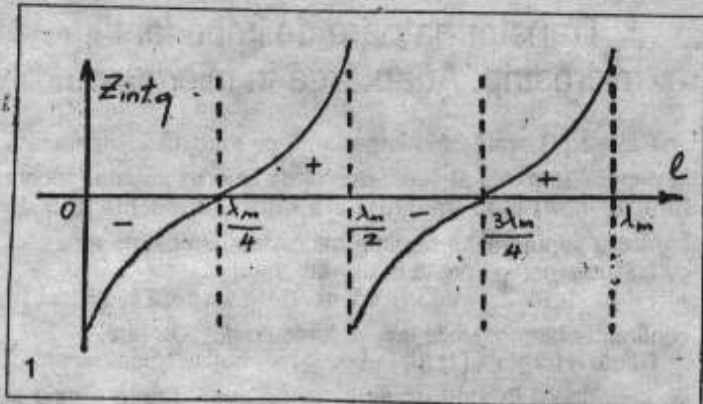
$$Z_{int} = Z_m \left( \frac{Z_s + jZ_m \lg \beta_m}{Z_m + jZ_s \lg \beta_m} \right) \quad (1)$$

In care:  $j = \sqrt{-1}$  unitatea imaginară,  $\beta_m = 2\pi/\lambda_m$  constantă de fază.

## Reactanțe capacitive microstrip

Dacă segmentul de linie microstrip este în gol ( $Z_s = \infty$ ) pentru impedanța de intrare rezultă expresia:

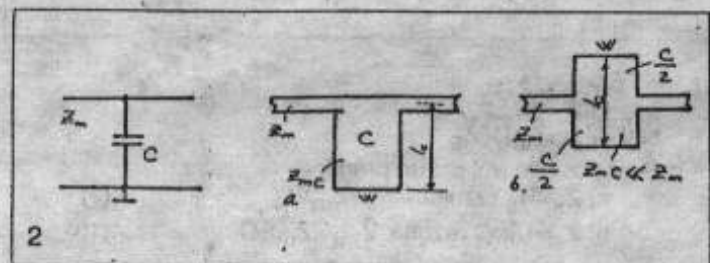
$$Z_{intg} = jZ_m \operatorname{ctg}(2\pi/\lambda_m) \quad (2)$$



În cazul cotangentelor pozitive, această impedanță reprezintă o reactanță negativă (capacitivă), figura 1. Acest lucru se întâmplă când:

$$l = (0: \lambda_m/4) + k\lambda_m/2; k=0,1,2\dots$$

Expresia cea mai simplă pentru o astfel de reactanță



capacitivă se obține pentru  $2\pi/\lambda_m = \pi/4$  de unde  $l = \lambda_m/8$

Acum este:

$$Z_{intg} = jZ_m = 1/j\omega C \quad (3)$$

$$\text{de unde } C = 1/\omega Z_m \quad (4)$$

Deci, pentru a obține la o anumită frecvență impusă, o capacitate C cât mai mare, trebuie să folosim un segment de linie microstrip (în gol) cu impedanță caracteristică  $Z_m$  cât mai mică. Aceste liniile sunt în general late, o valoare  $Z_m$  mică reclamând rapoarte w/h mari.

Exemplu: Se dau:  $f=1$  GHz,  $Z_m=10 \Omega$ ,  $l=\lambda_m/8$ , substrat dielectric sticotextolitul  $\epsilon_r=4,25$  ( $h=1,6$  mm). Se cere C și dimensiunile liniiei. Din tabelul 2, pentru  $Z_m=10 \Omega$  (se recomandă  $Z_m=50 \Omega$ ) extragem:

$$\epsilon_{ref}=3,853; \sqrt{\epsilon_{ref}}=\lambda_0/\lambda_m=1,963; w/h=15,951$$

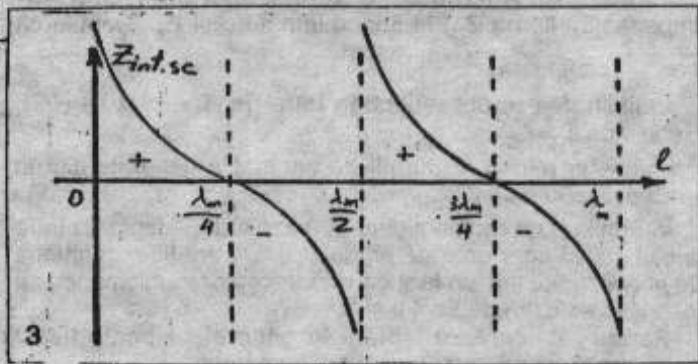
$$\text{Avem că: } \lambda_0=0 \text{ cm}; \lambda_m=15,28 \text{ cm}; l=1,91 \text{ cm};$$

$$w=2,552 \text{ cm}; \omega=2\pi 10^9 \text{ rad/s}; C=15,9 \text{ pF}$$

În realizarea circuitelor complexe microstrip adesea se pune problema ca în anumite puncte (AA') ale unei liniil

microstrip să se plaseze căpacități microstrip (semiconcentrate), figura 2. Acest lucru se poate face ca în figura 2a și b în varianta nesimetrică și simetrică.

De observat că parametrii  $Z_{mc}$  și  $I_c$  din cazul b pot difera de cei din cazul a. Ideea este de a realiza de o parte și de alta a liniei microstrip două căpacități simetrice cu valoarea  $C/2$ .



## Reactanțe inductive microstrip

Când segmentul de linie microstrip lucrează pe o impedanță de sarcină foarte mică (la limită, scurtcircuit,  $Z_s=0$ ) impedanța de intrare este:

$$Z_{intsc} = jZ_m \operatorname{tg}(2\pi/\lambda_m) \quad (5)$$

Dacă tangenta este pozitivă, această impedanță reprezintă o reactanță pozitivă (inductivă), figura 3. Acest lucru este posibil pentru:

$$l = (0: \lambda_m/4) + k\lambda_m/2$$

Expresia cea mai simplă pentru o astfel de reactanță inductivă se obține pentru:

$$l = \lambda_m/8; Z_{intsc} = jZ_m = j\omega L_m \quad (6)$$

$$L = Z_m/\omega \quad (7)$$

Pentru ca la o anumită frecvență, inducția L să fie cât mai mare, trebuie ca segmentul de linie microstrip să aibă impedanță caracteristică cât mai mare, adică cu raportul w/h mic. O inducție de soc microstrip se obține pentru  $2\pi l/\lambda_m = \pi/2$  ( $\operatorname{tg}\pi/2 = \infty$ ) de unde  $l = \lambda_m/4$  (practic așa cum rezultă din figură, ceva mai mare).

Exemplu: La frecvența  $f=1,5$  GHz să se realizeze o

inducție microstrip de 7,42 nH.

Aditem că vom folosi ca substrat sticotextolitul dublu placat cu  $h=1,6$  mm;  $\epsilon_r=4,25$ . Alegem  $Z_m=70 \Omega$  (se recomandă pentru  $Z_m=50-100 \Omega$ ) și din tabelul 2 extragem următoarele date:  $\epsilon_{ref}=3,09$ ;  $\sqrt{\epsilon_{ref}}=1,758$ ;  $w/h=1,067$ . Avem că:  $\lambda_0=20$  cm;  $\lambda_m=11,38$  cm.

Realizăm inducție simplu cu un segment  $\lambda_m/8$  în scurtcircuit. Deci:  $\lambda_m/8=1,42$  cm=14,2 mm=l (lungimea segmentului). Lățimea w a segmentului este

$$w=1,067 \times 1,6 = 1,7 \text{ mm.}$$

Ca și la căpacități, căleodala se pune problema de a realiza între anumite puncte ale unei liniile microstrip anumite inducții microstrip (semiconcentrate), figura 4. Modul de realizare practică este arătat în figura 4 a și b în varianta nesimetrică și simetrică.

În cazul din figura 5, trebuie să realizeze simetric două inducții (necuplate între ele), simetrice de valoare  $2L$ , care puse în paralel să dea valoarea L (valoarea necesară). Dacă cele două segmente de linie în scurtcircuit se vor proiecta ca în figura 5b, este posibilă apariția unui cuplaj inductiv necontrolabil.

c)  $Z_s = j\omega L$  rezultă:  $Z_{int} = Z_m^2 / \omega L$ . (11)

Din cazul b și c rezultă că transformatorul  $\lambda/4$  schimbă și natura reacției. O adaptare fără bandă de încreștere mai largă se obține în mai multe trepte  $\lambda/4$  (figura 6) pentru care:

$$Z_{m2} = Z_{m1} \times Z_{m3}; Z_{m3} = \sqrt{Z_{m2} \times Z_{m4}}$$

Adaptarea cu transformator microstrip  $\lambda/4$  nu este întotdeauna posibilă. De fapt în practică problema adaptării poate îmbrăca trei aspecte și anume:

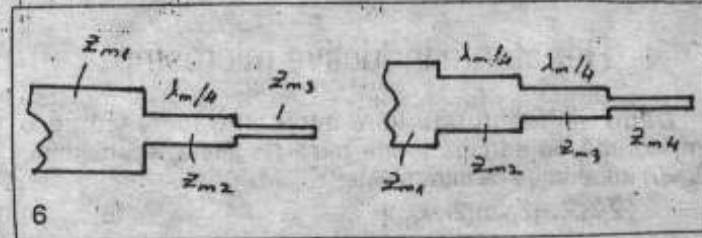
- transferul maxim de putere activă din generator (impedanță internă  $Z_g$ ) la impedanța sarcinii  $Z_s$ . Trebuie ca  $Z_g = Z_s$  (conjugată)

- eliminarea undei reflectate între generator și sarcină. Trebuie ca  $Z_g = Z_s$

- transfer minim al puterii de zgomot a generatorului în sarcină. Trebuie ca  $Z_{gopt} = Z_s$

Într-un lanț de radioemisie în microunde, adaptarea între primul etaj și lider este de primul tip, iar între lider și antenă de al doilea tip. Într-un lanț de radioreceptor în microunde, se întâlnesc adaptări de tipul 2 și 3.

Pentru realizarea adaptării în general se poate folosi transformatorul microstrip de lungime oarecare  $l$ .



Cunoșcând  $Z_s = R_s + jX_s$  și  $Z_{int} = R_{int} + jX_{int}$  trebuie determinat segmentul de linie microstrip care realizează această transformare, adică calculate  $l$ ,  $h$ ,  $w$  pentru un substrat dielectric dat ( $\epsilon_r$ ). Din relația matematică complexă (1) se pot găsi două necunoscute reale și anume  $Z_c$  și  $\tg\beta_l$ . Se are:

$$Z_m = \sqrt{R_s R_{int} + (R_{int} X_s - R_s X_{int}) / (R_s + R_{int})} = Z_m(W/h) \quad (13)$$

$$\tg\beta_l = Z_m | R_{int} X_s / (R_s R_{int} + X_{int} R_s) | \quad (14)$$

Nici această adaptare nu este posibilă întotdeauna, ci numai când pentru impedanță caracteristică a liniei microstrip  $Z_m$  rezultă o valoare reală, lucru ce se întâmplă dacă:

a)  $R_s > R_{int}$  numai dacă  $R_{int}/R_s > (R_{int} + X_{int})/(R_s + X_s)$  (15)

b)  $R_s < R_{int}$ ;  $R_{int}/R_s < (R_{int} + X_{int})/(R_s + X_s)$  (16)

Exemplu de calcul:

## DIVERSE

*Salut! S-a schimbat adresa pentru CQ WPX. S-au publicat și rezultatele pe anul 2000. <http://home.woh.rr.com/wpx/> 73 și succes! Valeriu, ERIBF*

*Please notify all members that the station ZB2FUM is a pirate station, we have checked with the Wireless Officer who has confirmed that the said call has not been issued by him.*

*Any information about this station would be greatly welcomed. Many thanks for your co-operation. Best of 73's Wilfred Guerrero ZB2IB, Secretary Gibraltar Amateur Radio Society. Greetings from Gibraltar.*

*RTTY Rules, Results and Records: <http://www.rttjournal.com/3index.html>*

*Citing irreconciliable differences with the President of IARU Region II, the Secretary of that regional organization resigned his position effective March 1st, 2001.*

Impedanța  $Z_s = 46,46 + j73$  (Ω) trebule transformată la frecvență de 2 GHz la intrarea unui segment de linie microstrip în impedanță:

$$Z_{int} = 16,7 + j0,53$$

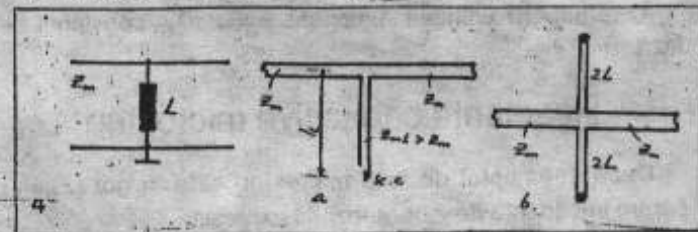
Suntem în cazul  $R_s > R_{int}$  condiția (15) este îndeplinită:

$$R_{int}/R_s = 0,359; (R_{int} + X_{int})/(R_s + X_s) = 0,0373$$

Rezultă:  $Z_m = 61,37$  Ω

$$\tg\beta_l = 1,468; \beta_l = (2\pi/l_m)l = 0,973 \text{ rad}; l = 0,155 \lambda_m$$

Din tabelul 2 rezultă:  $w/h = 1,479$

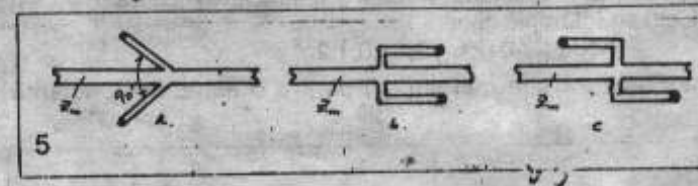


## Transformatoare de impedanță microstrip. Adaptarea în microunde.

Relația (1) arată că o impedanță de sarcină  $Z_s$  conectată la capătul terminal al segmentului de linie microstrip (socotit fără pierderi) este transformată într-o impedanță  $Z_{int}$  de intrare a segmentului de linie microstrip. Problema adaptării cu linie microstrip constă în următoarele:

Fiind date  $Z_s$  și  $Z_{int}$  să se determine  $Z_m$  și  $l$  și în continuare dimensiunile liniei microstrip de adaptare.

Dacă în formula (1) se ia  $l = \lambda_m/4$  se obține transformatorul de impedanță în slăbit de lungime de undă, foarte simplu și foarte utilizat (figura 6). Din (1) rezultă:



$$\bar{Z}_{int} = Z_m^2 / \bar{Z}_s \quad (8)$$

$$\text{sau } \bar{Z}_m = \sqrt{\bar{Z}_{int} \times \bar{Z}_s}$$

Sunt posibile trei cazuri practice:

a)  $\bar{Z}_s = R_s$  rezultă:  $\bar{Z}_{int} = Z_m^2 / R_s$  (9)

b)  $\bar{Z}_s = 1/j\omega C$  rezultă:  $\bar{Z}_{int} = Z_m^2 / \omega C$  (10)

## PUBLICITATE

*Silviu YO8FZ ofera spre vanzare un filtru CW Kenwood, YG-455C-I nefolosit, pret 100 DM. Poate fi contactat prin e-mail sau la tel. 030 520376 dupa ora 18.00 CFR.*

*CRISTI - YO6PFL din TG-MURES, are disponibila o statie DRAGON SY550, 10memo, afisaj LCD, scan, iluminare afisaj, 20w/0.5w, in perfecta stare de functionare si estetica. Pret 350 DM, echivalent in lei, fix.*

*\*\* statie BOSH, 12 w, necesita sinteza, cu media frecventa 21.4 mhz, trasa in banda de 2 m, atit RX cit si TX. Pret 60 DM, echivalent in lei. Ptr. relatii sunati la 065/162764 sau 095/676037 sau la e-mail "yo6pfl@yahoo.com".*

*Vand Liniar cu 2xGU 50 (posibilitati de adugare a inca un tub, soclu inclus in montaj) YO8TVD tel 094801807 sau*

*Caut tev EFIR-M, MF090 sau VOLNA pentru un radioamator proaspăt autorizat, astept orice ofertă cu interes*

*Dan Sabau yo5dge@karma.ro*

# RUBRICA VIITORULUI RADIOAMATOR

- partea a III - a

## CAP. 2. COMPONENTE

### 2.1 REZISTORUL, REZISTENTA

Componentele electronice pasive construite special pentru a avea o anumita rezistență, se numesc rezistoare. În practică în locul rezistorului se folosește încă denumirea de rezistență care este numeric egală raportul dintre tensiunea aplicată la borni și curentul care o parcurge. Conform legii lui Ohm,  $R=U/I$ . Unitatea de măsură a rezistenței electrice este ohmul ( $\Omega$ ) cu multiplii kiloohm și megaohm:  $1k\Omega=10^3\Omega$ ;  $1M\Omega=10^6\Omega$ ; și cu multiplul miliohm  $1m\Omega=10^{-3}\Omega$ .

După caracteristica tensiune-curent se deosebesc două categorii de rezistoare:

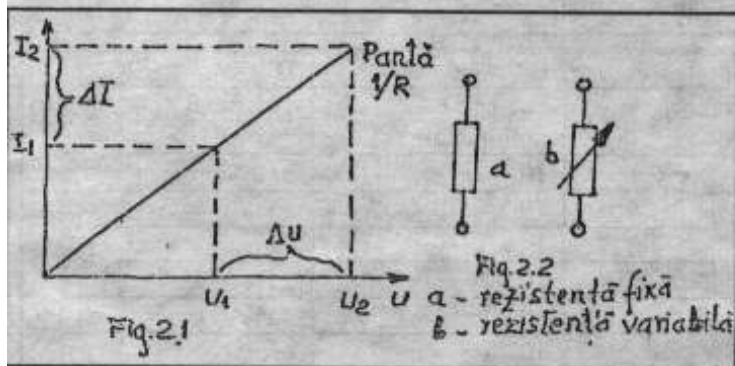
- rezistoare liniare a căror valoare este o constantă (dreapta) între tensiune și curent (fig. 2.1)
- rezistoare cu caracteristică neliniară

Din punct de vedere constructiv, rezistoarele se împart în:

- rezistoare cu rezistență fixă
- rezistoare cu rezistență reglabilă

După tehnologia de realizare de deosebesc:

- rezistoare bobinate realizate prin înfășurarea unui conductor de mare rezistivitate pe un suport izolator (ceramic, fibra de sticlă).
- rezistoare cu pelicule, care au elementul rezistiv format dintr-o peliculă subțire de pasta metalică depusă pe un suport izolant.
- rezistoare de volum al cărui element rezistiv este constituit din întregul corp al rezistorului.



TABEL 2.1

tipul rezistorului	$P_{max}$ [W]	$L_{max}$ [mm]	$d$ [mm]	$D_{max}$ [mm]	coef. de temperatură $\times 10^{-4}/^\circ C$
RCG, RMG 1025	0,25	7,0	0,6	2,5	15 pt. $1\Omega \leq R_n \leq 10\Omega$
RCG, RMG 1050	0,5	13,0	0,8	1,1	5 pt. $10\Omega \leq R_n \leq 1M\Omega$
RCG, RMG 1100	1,0	22,5	0,8	6,4	10 pt. $0,1M\Omega \leq R_n \leq 1M\Omega$
RCG, RMG 1200	2,0	34	1,0	8,6	75 pt. $1M\Omega \leq R_n \leq 10M\Omega$

TABEL 2.2

tipul rezistorului	$P_{max}$ [W]	$L_{max}$ [mm]	$D_{max}$ [mm]	$l$ [mm]	$d$ [mm]
RPM 3012	0,125	5,0	5,0	5-10	2,54
RPM 3025	0,25	5,0	7,5	5-10	2,54
RPM 3050	0,5	7,5	7,5	5-10	5,08
RPM 3100	1,0	12,7	7,5	5-10	7,62

După tipul de material rezistiv, rezistoarele se împart în:

- rezistoare cu pelicule de carbon și bor-carbon.
  - rezistoare de volum formate din amestecul a mai multor componente.
  - rezistoare bobinate din sărma conductoare.
  - rezistoare cu elementul rezistiv din materiale semiconductoare.
- Simbolul rezistorului este prezentat în fig. 2.2.

Caracteristici principale

- 1) Rezistența nominală este valoarea rezistenței marcată în cifre sau în cercuri colorate pe corpul rezistorului.
- 2) Toleranța este de asemenea marcată pe corp în clar sau în codul culorilor și reprezintă procente din valoare.
- 3) Puterea disipată nominală  $P$  [W] este puterea maximă în c.c. sau c.a. pe care o poate disipa un rezistor. Depasirea puterii disipate nu este permisă deoarece poate duce la distrugerea acestuia.

Rezistoarele utilizate mai frecvent în montajele electronice au puterea în limitele: 0,1; 0,125; 0,25; 0,5; 1; 2; 5 și 10 W

Dimensiunile fizice ale rezistoarelor românești cilindrice și RPM funcție de puterea disipată sunt prezentate în tabelele 2.1 și 2.

- 4) Tensiunea nominală  $U$  [V] este tensiunea continuă sau alternativă aplicată la bornele rezistorului fără ca acesta să se distruga. Valorile nominale uzuale ale tensiunii sunt: 150; 200; 250; 500; 750; 1000 V. Tensiunea maximă nu este marcată pe rezistor, ea se calculează cu formula  $U = (P \cdot R)^{1/2}$  unde  $P$  și  $R$  sunt puterea, respectiv rezistența nominală.
- 5) Rezistența rezistorului în curent alternativ. Datorită efectului de suprafață (pelicular), a capacitatii și inductantei distribuite pe elementul rezistiv, la înaltă frecvență rezistența are caracter complex, comportându-se în parte ca o inductanță și în parte ca o capacitate.
- 6) Tensiunea de zgâromot apare la bornele rezistenței și este proporțională cu frecvența și temperatură. Raportul între tensiunea de zgâromot  $U_z$  și tensiunea continuă aplicată rezistorului definește factorul de zgâromot al rezistorului și se exprimă în  $\mu V/V$  sau în decibeli [dB]. Pentru rezistoarele de un general factorul de zgâromot este de  $1\dots 5 \mu V/V$  și sub

$1\mu V/V$  pentru rezistoarele profesionale.

- 7) Stabilitatea. Valoarea rezistorului se schimba în timp datorita temperaturii, umiditatii, îmbătrânirii și a altor factori. Variatia cea mai semnificativa a rezistorului se produce sub influenta temperaturii. Coeficientul de temperatura  $\alpha = (1/RT_1) \cdot ((RT_2 - RT_1)/(T_2 - T_1)) [1/^\circ C]$  unde  $RT_1$  și  $RT_2$  sunt rezistentele la temperatura  $T_1$  și  $T_2$ . Coeficientul de temperatura pentru rezistoare frecvent utilizate în montaje electronice are valori de  $(2-20) \cdot 10^{-4}/^\circ C$ .

**Marcare.** Marcarea rezistentelor se face în clar sau în codul culorilor după cum urmează:

- valoarea rezistentei nominale  $R_n$
- toleranța în procente
- puterea nominală (numai pentru rezistoare bobinate)

**Codul culorilor.** Cele 4 (patru) inele colorate de pe corpul rezistorului (fig. 2.5) au semnificația din tabelul 2.3

### Rezistoare neliniare.

Termistoarele sunt niste rezistoare la care rezistența electrică variază foarte mult cu temperatura. În funcție de modul de variație al rezistentei, există două tipuri de termistoare:

- cu coeficient pozitiv de temperatură (CPT)
- cu coeficient negativ de temperatură (CNT)

Variatia rezistentei unui termistor de tip CPT și CNT se prezintă în fig. 2.6. Termistoarele se fabrică dintr-un amestec de oxizi metalici. Între rezistența și temperatura există relația:  $R = A^{B/T} \cdot I$ ; A este o constantă care depinde de forma termistorului;  $I=2,7$ ; B=constantă ce depinde de material; T=temperatura absolută în  $[^{\circ}K]$ . Termistorul CNT se folosește ca stabilizator de curent în diferite montaje electronice, iar cele CPT ca traductoare sau ca protecții la scurtcircuit.

Varistoarele sunt rezistoare la care rezistența electrică crește cu creșterea tensiunii aplicate. Între tensiunea aplicată și curentul ce străbate varistorul există relația:  $I = C \cdot U^{\beta}$  unde: I=curentul [A]; C=constanta ce depinde de material; U=tensiunea aplicată [V];  $\beta$ =coefficient de nelinearitate [ $\beta > 1$ ]. Se utilizează în etajele de stabilizare, de limitare și protecție la supratensiuni.

### 2.2 CONDENSATOARE. CAPACITATEA.

Cel mai simplu condensator – condensatorul plan – este format din două armături (placi) și un dielectric (izolator) care poate fi aerul sau diferite materiale electroizolante. Capacitatea unui condensator este raportul dintre cantitatea de electricitate Q cu care se încarcă condensatorul și tensiunea aplicată U;  $C = Q/U$ . În sistemul MKSA, unitatea de capacitate este faradul [F].

Capacitatea unui condensator plan este:

$$C = \epsilon \cdot S/d; \epsilon = 8,85 \cdot 10^{-12} F/m; S = \text{suprafața placilor } [m^2]; d = \text{distanța dintre placi } [m]; \epsilon = \text{permittivitatea relativă}; C = \text{capacitatea în Farazi}$$

Parametri caracteristici:

1. Capacitatea nominală (C) este valoarea capacității electrice marcata pe corpul capacitorului. Marcarea se face în clar sau în codul culorilor. Submultiplii Faradului sunt:
  - microfaradul  $1\mu F = 10^{-6} F$
  - nanofaradul  $1nF = 10^{-9} F$
  - picofaradul  $1pF = 10^{-12} F$
2. Toleranță. Reprezintă abaterea maximă a capacității reale față de valoarea nominală exprimată în procente.
3. Domeniul de temperatură ( $T_{min} - T_{max}$ )  $[^{\circ}C]$  este gama temperaturilor mediului ambient în care capacitorul poate lucra normal.

TABEL 2.3

	A	B	C	D
	Prima cifră	A doua cifră	Factor de multiplicare	Toleranță
Argintiu	-	-	$10^{-2}$	$\pm 10\%$
Auriu	-	-	$10^{-1}$	$\pm 5\%$
Negru	-	0	1	-
Maro	1	1	$10^0$	$\pm 1\%$
Roșu	2	2	$10^2$	$\pm 2\%$
Portocaliu	3	3	$10^3$	-
Galben	4	4	$10^4$	-
Verde	5	5	$10^5$	-
Albastru	6	6	$10^6$	-
Violet	7	7	$10^7$	-
Gri	8	8	$10^8$	-
Alb	9	9	$10^9$	-
Fără culoare	-	-	-	$\pm 20\%$

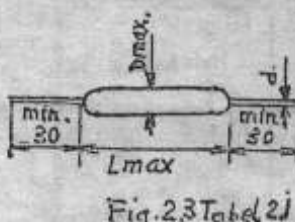


Fig. 2.3 Tabel 2.3

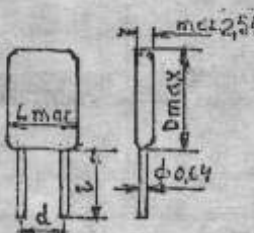
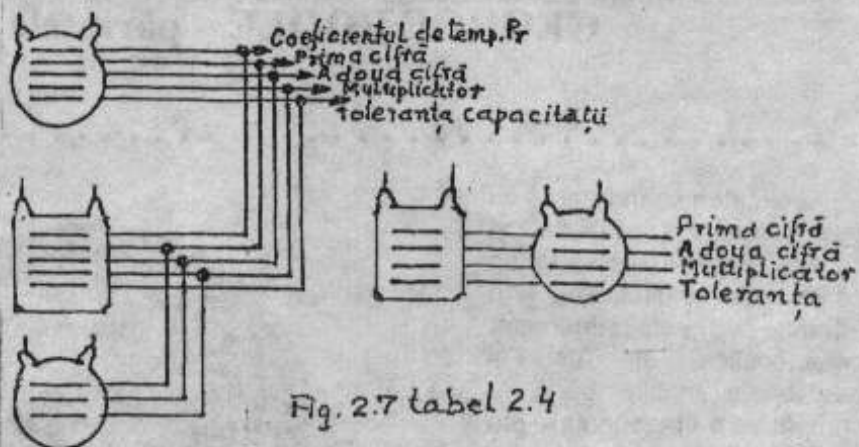
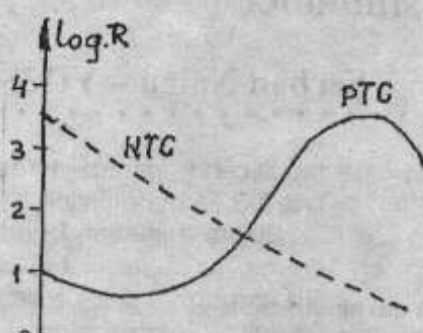


Fig. 2.4  
Tabel 2.4



Fig. 2.5  
Tabel 2.5

4. Coeficientul de temperatură al capacității  $\beta$  este raportul dintre variația capacității și variația temperaturii. El poate fi pozitiv dacă o data cu creșterea temperaturii capacitatea crește și negativ dacă scade capacitatea cu creșterea temperaturii.
5. Tensiunea nominală (U) măsurată în volți [V] este tensiunea continuă sau alternativă echivalentă ce poate fi aplicată capacitorului permanent de regula la  $+40^{\circ}C$ .
6. Rezistența de izolație (R) caracterizează proprietatea de izolație a materialului dielectric dintre armături. Curentul care trece prin condensator când la borne se aplică o tensiune continuă se numește curent de fugă.
7. Tangenta unghiului de pierderi  $[\tan \delta]$ . În capacitor există pierderi când acestuia i-se aplică o tensiune alternativă. Raportul dintre puterea activă și cea reactivă este tangentă



Codul culorilor TABEL 2.4

culoarea	$\beta_T$ [ppm/ $^{\circ}$ C]	prima cifră	a doua cifră	multiplicator	toleranță	
					$C < 10\text{pF}$	$C \geq 10\text{pF}$
Negru	0	0	0	1	$\pm 2\text{pF}$	$\pm 20\%$
Maro	-33	1	1	10	$\pm 0,1\text{pF}$	$\pm 1\%$
Roșu	-75	2	2	$10^2$	$\pm 0,25\text{pF}$	$\pm 2\%$
Portocaliu	-150	3	3	$10^3$	-	-
Galben	-220	4	4	$10^4$	-	-
Verde	-330	5	5	-	$\pm 0,5\text{pF}$	$\pm 5\%$
Albastru	-470	6	6	-	-	-
Violet	-750	7	7	-	-	-
Gri	-	8	8	0,01	-	-
Alb	-	9	9	0,1	$\pm 1\text{pF}$	$\pm 10\%$
auriu	+100	-	-	-	-	-

de pierderi  $[\tan \delta]$ . Calitatea capacitorului este cu atât mai bună cu cât  $[\tan \delta]$  este mai mică.

8. Puterea dissipată maximă [P]. Catalogele de condensatoare nu dă aceasta putere. Folosirea unui condensator în circuite acordate de radiofreqvență trebuie să suporte curenti mari (de ordinul amperilor, zecilor sau sutelor de amperi) funcție de puterea instalată. De aceea un condensator se poate folosi cu anumite precauții. În funcție de parametrii dati în cataloge se poate calcula curentul cu formula:  $I = \omega \cdot C \cdot U$  și apoi puterea dissipată cu formula:  $P = U \cdot I \cdot \tan \delta$  unde U este tensiunea pe care o poate suporta condensatorul.

#### Clasificarea condensatoarelor

Dupa dielectric: cu hârtie uleiata, cu hârtie metalizată, cu film de plastic, ceramice tip I sau II, cu mica, cu sticla, cu aer, cu portelan, electrolitice (cu aluminiu; cu tantal)

Dupa capacitate: fixe, variabile, semireglabile

Condensatorul în circuite de curent alternativ

Curentul în prin condensator este proporțional cu variația sarcinii q în timp.  $i = dq/dt$

Sarcina acumulată este proporțională cu tensiunea  $q = CU$ . Înlocuind q în formula curentului se obține:  $i = Cdu/dt$ ; Daca tensiunea are forma sinusoidală  $u = \sqrt{2}U \sin \omega t$ ,

$i = \omega C \sqrt{2}U \cos \omega t = \omega C \sqrt{2}U \sin(\omega t + \pi/2) = \sqrt{2}I \sin(\omega t + \varphi)$ , pentru  $\varphi = \pi/2$ .

Din ultima relație se obține:  $I = \omega CU = U/(1/\omega C)$ . Conform legii lui Ohm, cantitatea  $1/\omega C$  are dimensiunea unei rezistențe care în cazul condensatorului se numește reactanță capacitive și se măsoară în ohmi ( $\Omega$ ) ca și rezistență. Din ecuația curentului se vede că acesta este defazat cu  $90^\circ$  înaintea tensiunii (fig. 2.8).

ing. Petre Predoiu - YO7LTO

- Va urma -

#### CUPA "1 DECEMBRIE" Editia 2000

a. Echipe		b. Seniori		c. Juniori	
1. YO8KOA	29.298	23. YO3YX	7.854		
2. YR8A	28.320	24. YO7BEM	6.660		
3. YO9KPD	25.424	25. YO2CY	6.264		
4. YO2KJG	24.696	26. YO4FRP	5.848		
5. YO3KSB	24.080	27. YQ5OEW	5.239		
6. YO6KNW	10.640	28. YO2BN/P	5.146		
7. YO9KPM	9.072	29. YO4ZF	4.960		
8. YO7KBS	7.918	30. YO7AHR	4.704		
9. YO4KRF	7.740	31. YO8GF	4.332		
10. YO9KBU/P	5.460	32. YO8QH	3.750		
11. YO4KCC	1.584	33. YO5BWJ	2.560		
		34. YO6OEJ	1.428		
1. YO3ND	30.114	35. YO5COG	1.220		
2. YO8BGD	29.760	36. YO7BKU	540		
3. YO8MI	25.842				
4. YO9XC	25.080	1. YO7GWA	7.708		
5. YO4SI	24.420	2. YO4FZX	6.864		
6. YO7BUT	22.458	3. YO8RMV	5.742		
7. YO2ARV	20.570	4. YO9GPH	4.560		
8. YO8FZ	20.088	5. YO5CMM	2.904		
9. YO2QY	18.760	6. YO7VD	2.128		
10. YO9OC	18.156	7. YO4RSS	874		
11. YO6BMC	15.264				
12. YO2BLX	15.228	Log Control: YO2CEE, 2CED, 2LBL/P, 3RO, 3JOS, 4AAC, 5CL, 5OAW, 6PBP, 7LLB, 7KQE, 9KVV, YOOU			
13. YO6AWR	14.522	Lipsa Log: 3AV/P, 4KCA, 5ODC, 7LLO, 7LUO, 9FLD			
14. YO2AQB	13.680	Au solicitat Diploma			
15. YO6EX	13.280	"IDecembrie 1918": YO2AQB, 2ARV, 2CY, 2CJG, 3RK, 5BWJ, 6EX, 6KNW, 6OEJ, 6AWR, 7BUT, 8GF, 8QH, 8BGD, 8KOS, 9KBU, 9KVV			
16. YO4FRF	12.560				
17. YO4DIJ	11.564				
18. YO9FL	10.890				
19. YO4GJS	10.560				
20. YO3RK	10.086				
21. YO8RKU	9.680				
22. YO9BQW	7.968				

## GEORGE BOOLE – părintele logicii simbolice

Şerban Naicu – YO3SB

Societatea se îndreaptă cu pași mari spre o eră digitală și de aceea nu trebuie să uităm că la baza acestoria (ca și a tuturor echipamentelor caracteristice ei, de la telefoanele mobile până la computerele personale) stă *algebra booleană*.

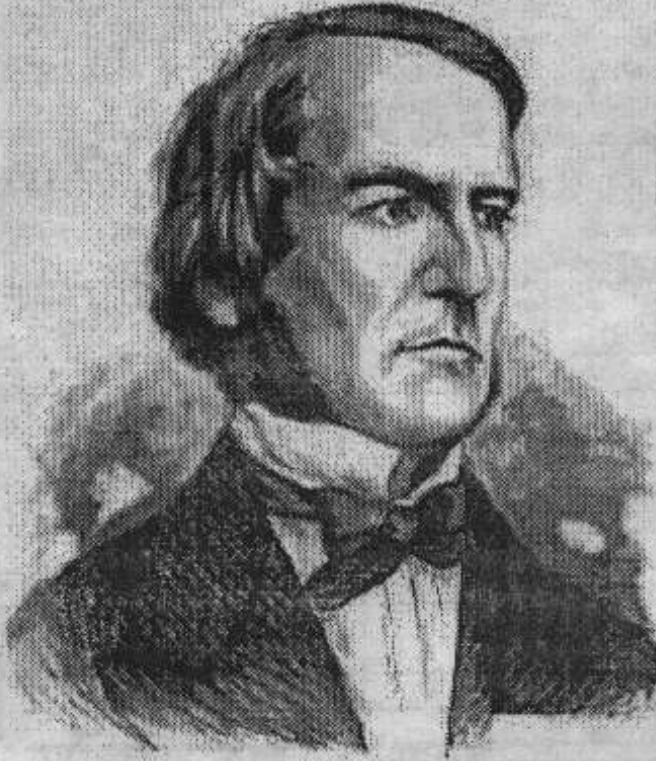
Principalul merit al fundamentării acesteia îl are, aşa cum arată și numele, matematicianul și logicianul britanic George Boole. Nu trebuie să-i uităm însă nici pe Leibnitz sau Charles Lutwidge Dodgson.

Consecventă principiilor ei de a vă face cunoscute principalele personalități din domeniul său de interes, revista noastră TEHNIUM vă propune o scurtă incursiune în istorie, pentru a lăua cunoștință de viața și opera științifică a lui George Boole.

George Boole s-a născut în Lincoln, Anglia, la data de 2 noiembrie 1815, fiind fiul unui pantofar sărac. El a urmat la început o școală generală din Lincoln, National Society, apoi o școală comercială, primind puțină educație formală, dar rămânând de fapt un autodidact.

Primele informații despre matematică le-a primit de la tatăl său care, de asemenea, l-a transmis și pasiunea de a construi instrumente optice.

Dar, mai întâi, interesul lui George Boole s-a îndreptat spre științele limbii, căpătând primele cunoștințe de limbă latină de la un vînzător de cărți din localitate. Era atât de priceput încât, la vîrstă de 12 ani, a provocat chiar o ceartă. Tradusese o odă de Horatiu pe care tatăl său, foarte mândru de aceasta, o dăduse spre publicare. Talentul lui George Boole era atât de mare încât un învățător din localitate a



negat vehement faptul că un copil de 12 ani ar fi putut scrie cu atâta profunzime.

Boole nu a urmat o carieră academică dar, la vîrstă de 16 ani, a devenit profesor-asistent la o școală elementară. și-a păstrat interesul pentru limbile străine, intenționând chiar să intre în structura bisericii. Începând cu anul 1835 se părea că s-a răzgândit, pentru că a deschis o școală proprie și a început să studieze de unul singur matematica. Mult mai târziu a înțeles că își irosise aproape cinci ani din viață încercând să învețe singur, în loc să apeleze la un profesor.

Dorința sa de a urma calea matematicii a fost parțial inspirată și de frustrarea încercată de el atunci când trebuia să predea copiilor matematică după niște metode necorespunzătoare. Acest lucru l-a determinat pe George Boole să elaboreze propriile sale teorii,

modificând pentru totdeauna lumea matematicii.

Boole a studiat, la acea vreme, lucrările lui Laplace și Lagrange, ceea ce se va dovedi foarte util în momentul realizării primelor sale scriri din domeniul matematicii. A primit încurajări din partea lui Duncan Gregory de a studia la Cambridge pentru că trebuia să câștige bani predând la școală, ca să-și ajute părinții. Oricum, el a început să publice în ziarul lui Duncan, concentrându-se în special asupra studiilor sale de algebră.

Boole a publicat în "Transactions of the Royal Society" o aplicație a metodelor algebrice la soluțiile ecuațiilor diferențiale. Pentru această lucrare, el a primit Medalia Regală a Societății. Astfel, activitatea sa în domeniul matematicii începuse să-l aducă faimă, precum și recunoașterea matematicienilor britanici. Reputația sa a crescut în anul 1847, când a publicat "Analiza matematică a logicii", un mic volum care facea cunoscute, pentru prima dată în istoria matematicii, ideile lui George Boole despre logica simbolică. Se demonstra aici că logica, prezentată în screrile lui Aristotel, putea fi reprezentată și prin ecuații algebrice. "Nu va mai trebui să asociem logica cu metafizica, ci cu matematica" – afirma Boole. Întradevăr, numerele pot da cea mai reală reprezentare a logicii.

Anul 1849 a marcat o puternică schimbare în viața lui Boole, când acesta a fost numit profesor de matematică la Queen's College în Cork, Irlanda. George Boole a preluat catedra de matematică, rămânând acolo tot restul vieții,

**CQ de VK0MM:** The QSL manager for VK0MM is Alan Roocroft (VK4AAR). DIRECT ONLY: PO Box 421 Gatton QLD 4343 Australia NO BURO CARDS. Alan is a well known & respected QSL manager & assures a turnaround of 24/48 hours once the cards are printed. The VK0MM card is full colour featuring the rare rockhopper penguin found at Macquarie Island. All excess proceeds from the QSLing process will be donated to Camp Quality,

a charity providing care for children with cancer & other terminal illness. The Australian postal system is efficient and secure, so please dig deep when mailing your cards. Greenbacks are preferred over IRCs. 73 de Alan VKØ Macquarie Millennium Australian National Antarctic Research Expedition 2000 Macquarie Island QRV: <http://www.geocities.com/vk0ld/1.html> QSL: <http://www.geocities.com/vk0ld/qslinfoX.html>

căștigându-și reputația de profesor remarcabil și devotat muncii sale. Mai târziu, această școală va deveni University College Cork.

În 1854 Boole a publicat lucrarea "O investigație asupra legilor gândirii, pe care sunt bazate teoriile matematice ale logicii și probabilităților" ("An investigation of the Laws of Thought, on Which are Founded the Mathematical Theories of Logic and Probabilities"). Caracteristica lucrării constă în aceea că Boole a tratat logica într-o manieră nouă, reducând-o la simple operații algebrice, încorporând logica în matematică. A pus astfel bazele unei algebri a logicii, numită algebra booleană.

Boole a fost numit cercetător științific de către Societatea Regală în 1857, îndreptându-și atenția asupra ecuațiilor diferențiale. În 1859 a publicat "Tratat despre ecuațiile diferențiale", iar în 1860 "Tratat despre calculul diferențelor finite" și alte lucrări referitoare la probabilitate.

**George Boole** a publicat 50 de lucrări, fiind printre cei care au investigații pentru prima dată proprietățile de bază ale numerelor, cum ar fi distributivitatea, care stau la baza algebrei.

**Boole s-a căsătorit în anul 1855 cu Mary Everest (nepoată a lui Sir**

George Everest, cel după care poartă numele muntele Everest) cu care a avut 5 fiice.

**Carierea lui Boole**, care a început relativ târziu, s-a sfârșit din păcate foarte devreme, la doar 49 de ani, odată cu moartea sa, survenită pe 8 decembrie 1864 la Ballintemple, County Cork, Irlanda. Decesul său a survenit în urma unei pneumonii contractate după ce, în drumul de acasă la colegiu (cca. 3 km.) a fost surprins de o ploaie torrentială și ajungând la școală a predat cu hainele ude pe el.

Geniul lui George Boole a fost recunoscut prin primirea de către acesta a numeroase grade



onorifice de la Universitățile din Oxford și Dublin, dar și de aprecierea a mulți contemporani.

Hirst îl descrie astfel pe Boole: "...evident, un om serios și capabil, dar în același timp un geniu".

De Morgan scrie despre activitatea științifică a lui George Boole următoarele: "Sistemul de logică al lui Boole este doar una din multele dovezi că geniul și răbdarea s-au combinat. Faptul că procesele simbolice ale algebrei, inventate ca unelte ale calculelor numerice, pot exprima fiecare act al gândirii și faptul de a asigura gramaticii și dicționarului un sistem de logică atotcuprinzător, acestea două nu puteau fi crezute până nu au fost dovedite."

Astăzi, contribuțările lui Boole referitoare la logica simbolică sunt utilizate nu doar în studiul matematicii, dar și al teoriei informaticii, teoriei graficii, a științei computerelor, și al cercetărilor asupra inteligenței artificiale.

Fără algebra booleană, pusă la punct de autodidactul matematician și logician britanic George Boole, astăzi nu ar fi de conceput întregul ansamblu de echipamente care au la bază electronica digitală, de la sateliții de comunicații la calculatoarele electronice, telefoanele celulare, robotii electronici și altele.

## **IMBUNĂTĂȚIREA STABILITĂȚII FRECVENTEI DE LUCRU LA TRANSCEIVERUL A412**

Avand în vedere deficiențele ce apar la numeroase exemplare ale transceiverului A 412 privind stabilitatea frecvenței de lucru, subsemnatii, prin adaptarea solutiei din [1], am rezolvat în bune condiții aceasta problema.

Solutia tehnica preluata a fost adaptata specificului transceiverului A 412 si experimentata in trafic.

Transceiverul a fost dotat cu o scala numerică similară celei prezentate în [2], dar la care circuitele de memorare/ decodificare - MMC 4511 au fost înlocuite cu MMC 4543, disponibile la data realizării scalei.

In Fig. 1 se prezinta schema completă a montajului realizat, iar Fig. 2 reda posibilitatea înlocuirii circuitului MMC 4013

su CDB 474 (bistabil, D din serie TTL).

Ambele montaje au functionat corespunzător. Funcționarea montajului este următoarea:

La ieșirea de date "A" de la numaratorul aferent sutelor de Hz din scala numerică, trecerea de la nivelul logic "0" la nivelul "1" se face alternat, din 100 în 100 Hz.

Acest semnal ("0" sau "1") se aplică la intrarea D a unui

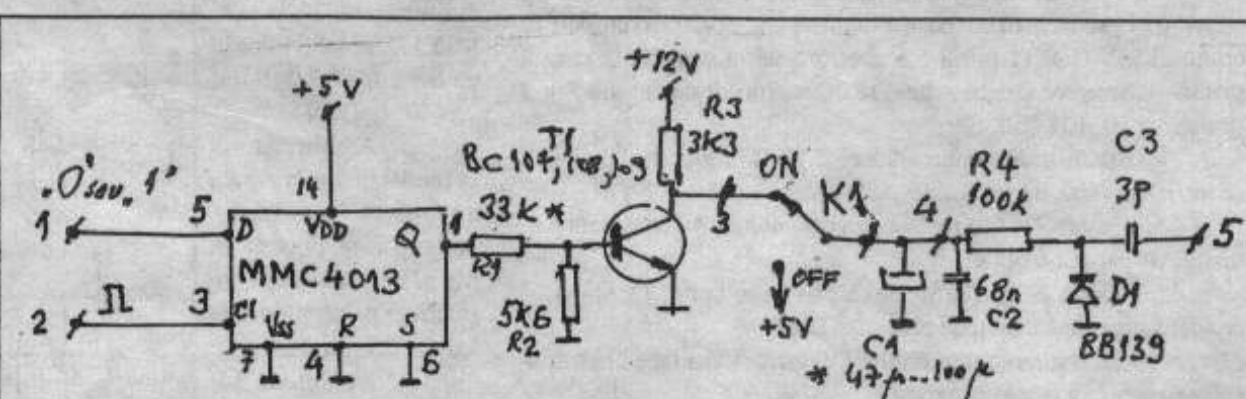


Fig. 1

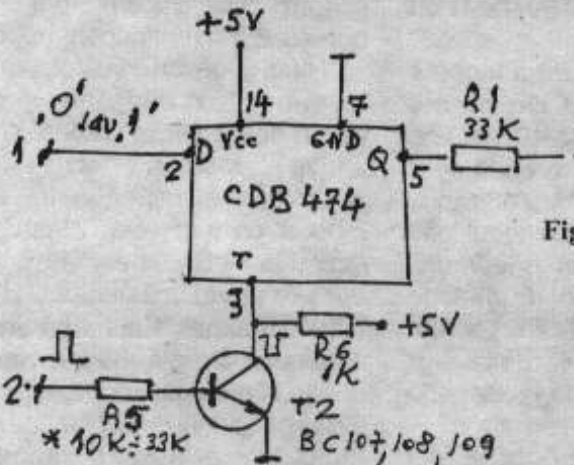


Fig. 2

bistabil. La intrarea de tact a acestuia se aplica semnalul de memorare provenit din scala, cu polaritatea corespunzatoare circuitului integrat bistabil folosit (CMOS sau TTL).

La iesirea Q a bistabilelor se regaseste acelasi nivel logic de semnal, ca la intrare. Semnalul de la iesirea bistabilelor comanda un tranzistor T1, care la randul sau prin circuitul din colector comanda o dioda varicap si implicit frecventa VFO-ului.

Consideram de exemplu ca in momentul conectarii montajului la intrarea / iesirea bistabilelor a fost nivelul "0", atunci tranzistorul T1 va fi inchis, tensiunea aplicata diodei D1 creste, deci, va creste si frecventa VFO pana la aparitia cifrei sutelor de Hz, imediat superioara celei initiale.

In acest moment semnalul de la intrarea/iesirea bistabilului va fi "1", T1 se deschide, rezultand scaderea tensiunii aplicata la D1, respectiv scaderea frecventei VFO.

Procesul se repeta ciclic rezultand o stabilizare a frecventei VFO-ului in jurul frecventei initiale. Practic se produce o modulatie de frecventa a VFO-ului, cu frecventa de cca 0,75-1Hz, ceea ce nu este sesizabil la corespondent.

Pentru verificarea functionarii montajului se definitivarea valorilor pentru R1 si R5 se conecteaza un voltmetru analogic in colectorul lui T1 si se constata variatia ciclica a tensiunii.

Constructiv montajul a fost realizat pe doua placute de circuit simplu placat. Una de cca 30 x 35 mm cuprinde circuitul integrat bistabil, tranzistorul T1 (eventual T2) si componente aferente, iar cealalta de cca 20 x 10 mm, cuprinde C2, R4, D1 si C3. Conectarea montajului la scala numerica si placa 412C se face astfel:

- Cosa 1 se va conecta in toate cazurile la iesirea de date "A" de la numaratorul aferent sutelor de Hz din scala (De ex. pinul 3 de la CDB 4192 sau MMC 40192).

- La cosa 2 se aplica semnalul de memorare din scala cu respectarea polaritatii din Fig. 1 sau Fig. 2.

Pentru scala cu circuite de memorare / decodificare de tip MMC 4543 se va conecta cosa 2 la pinul 1 al acestora, iar pentru circuitul MMC 4511 pinul 5 a acestora se va conecta la cosa 2 printr-un inversor de polaritate, realizat similar cu cel din Fig. 2 (tranzistor BC 107 - BC 109).

In cazul utilizarii circuitelor MMC 4511 montajul din Fig. 2 se realizeaza fara inversorul de polaritate.

- Cosele 3 si 4 se racordeaza la comutatorul basculant K1, dispus pe panoul frontal.

- Cosa 5 se racordeaza cat mai scurt la statorul condensatorului variabil de acord de 12 pF.

- Alimentarea montajului (12 sau 5 V) se face din transceiver, respectiv scala numerica.

Montajul realizat prezinta unele avantaje si dezavantaje

dupa cum urmeaza: - Costul realizării comparativ cu o bucla PLL sau FLL este net inferior.

- Gabaritul redus al montajului, permite amplasarea acestuia intr-un transceiver gata construit.

- Stabilitatea frecventei este mai buna sau cel mult egală cu 100 Hz si se mentine la aceasta valoare pe o durata de cel putin 3-4 ore, indiferent de valoarea efectiva a frecventei de lucru.

- Montajul functioneaza corect chiar si la alunecari de frecventa de 7-8 kHz in primele minute de functionare ale transceiverului. Se elimina astfel necesitatea "incalzirii" uzuale a acestuia, uneori de cca 30 minute, inainte de inceperea traficului.

- Necesitatea existentei unei scale numerice poate fi un impediment pentru aplicarea metodei de mai sus In viitor ne propunem sa presentam un montaj relativ simplu pentru eliminarea necesitatii unei scale numerice.

Pentru scale numerice realizate conform sau similar cu [2, 3, 4, 5], montajul descris se poate utiliza fara probleme deosebite.

- Pentru scala numerica conform [6] montajul nu se poate utiliza in mod direct. Completarile necesare nu fac obiectul prezentului articol. La functionarea corecta a montajului cifra sutelor de Hz "clipeste" cu frecventa de cca 1 Hz, dar aceasta este o caracteristica a metodei aplicate. Eventualul disconfort vizual se compenseaza din plin prin avantajele obtinute.

#### Bibliografie:

1. \*\*\* Transceiver MF 090. Schema de principiu.
2. Radiocomunicatii si Radioamatorism Nr. 1/93. Scala digitala YO7CKQ
3. Radiocomunicatii si radioamatorism Nr. 9/95. Scala Digitala YO7CKQ
4. Tehnium Nr. 7/86. Frecventmetru scala numerica YO3AVE
5. Tehnium Nr. 4/87. Frecventmetru scala numerica YO3AVE
6. Radiocomunicatii si radioamatorism Nr 1/99. Scala numerica YO4GCR, YO4WA  
YO9FIY – Calin Gheorghe; YO9FTO – Samoilă Traian

## ANTENĂ ACTIVĂ PENTRU RECEPȚIA BENZII DE 2200m

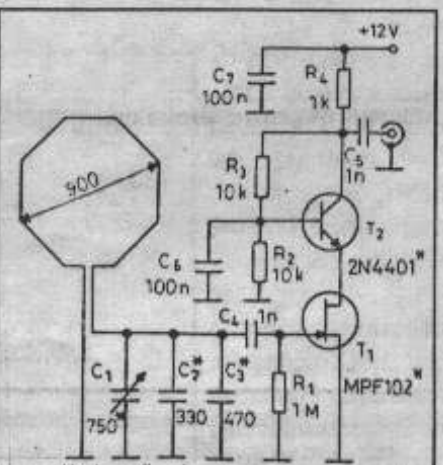
Amplificatorul prezentat permite acoperirea unei benzi mai mari decat cea acordata traficului radioamatorilor, dand astfel posibilitatea receptionarii sistemelor de navigatie hiperbolice, a frecventelor si unitatilor de timp etalon, a markerilor din navigatia aeriana, a statiilor cu specific militar etc.

Tranzistorul JFET, amplifica semnalele captate de o antena realizata pe un cadru având forma unui octogon. Prototipul a fost realizat folosind două asemenea octogone, dispuse paralel si fixate în colturi prin distanțieri din PVC.

Fiecare asemenea "carcasă" contine cate 24 spire din sarma de cupru izolata cu PVC (cca 70m). Valoarea capacitatiilor din circuitul de acord a fost aleasa pentru a acoperi in principal banda de interes pentru noi: 135,7 - 137,8 kHz. Cu elementele prezentate s-a acoperit banda: 120 - 150 kHz. Amplificarea etajului cascoda este cca 20 dB. Currentul consumat este cca 2 - 6 mA.

MPF102 poate fi inlocuit cu BF 244, BF 245, iar 2N4401 cu BC 413.

Amplificatorul se plaseaza ion imediata apropiere a antenei. Antena este plasata in plan vertical, la 1m inaltime pe un suport de lemn. Traducere dupa Radiotekhnika 11/2000 facută de YO9BRT.



**Dear Friends**

The Ontario QSO Party amateur radio contest has shifted to a new weekend. The 2001 Ontario QSO Party will take place from 18:00 UTC on April 21, 2001 to 18:00 UTC on April 22, 2001. Contest is on all HF bands 160-10 meters (except WARC) also on the VHF/UHF bands. Ontario stations work everyone...stations outside Ontario work Ontario stations.

1 point for HF SSB Contacts; 2 points for HF CW Contacts. (You may work stations twice per HF band...once on phone, once on CW). 10 points for contacts with ODXA club station VE3ODX and RAC Ontario club station VA3RAC

Multippliers for Ontario stations are Ontario counties/districts/regional municipalities, Canadian provinces/territories, USA states and DXCC countries worked on each band. Stations outside Ontario collect Ontario multipliers on each band. Mobile/Rover stations may be worked again when they change counties.

**MULTIPLIER LIST (48 TOTAL) CW ABBREVIATION**

Algoma District	ALG
Brant County	BRA
Bruce County	BRU
Cochrane District	COC
Dufferin County	DUF
Durham Regional Municipality	DUR
Elgin County	ELG
Essex County	ESX
Frontenac County	FRO
Grey County	GRY
Haldimand-Norfolk Regional Municipality	HNO
Haliburton County	HLB
Halton Regional Municipality	HTN
Hamilton-Wentworth Regional Municipality	HAM
Hastings County	HAS
Huron County	HUR
Kenora District	KEN
Kent County	KNT
Lambton County	LAM
Lanark County	LAN
Leeds-Grenville County	LGR
Lennox-Addington County	LXA
Manitoulin District	MAN
Middlesex County	MSX
Muskoka District	MUS
Niagara Regional Municipality	NIA
Nipissing District	NIP
Northumberland County	NOR
Oxford County	OXF
Ottawa-Carleton Regional Municipality	OTT
Parry Sound District	PSD
Peel Regional Municipality	PEL
Perth County	PER
Peterborough County	PET
Prescott-Russell County	PRU
Prince Edward County	PED
Rainy River District	RAI
Renfrew County	REN
Simcoe County	SIM
Stormont-Dundas-Glengarry County	SDG
Sudbury District	SUD
Thunder Bay District	TBY
Timiskaming District	TIM
City of Toronto	TOR
Victoria County	VIC
Waterloo Regional Municipality	WAT

Wellington County

York Regional Municipality

WEL

YRK

Complete info including entry forms are available at <http://www.odxa.on.ca/oqphome.html>. Should you need further info, please contact me at ve3sre@rac.ca 73 Bob Chandler, VE3SRE Contest Manager, Ontario QSO Party ve3sre@rac.ca

**Stimați prieteni,**

Deoarece foarte mulți amatori din țară au fost interesați de echipamentul meu de Radioamator QRP, pun pe acesta cale la dispoziția Dv. cîteva detalii importante.

Cu 2 ani în urmă, firma noastră Sand Labs Research, a fost contactată de o firma ce producea a ceasuri deșteptătoare cu radio. El voiau un singur chip radio, cu capacitatea de a recepționa în banda de FM cît și în cea de AM. După aproape un an și efortul a 6 persoane, am terminat ce a ce a devenit VIC2000. Puteți vedea rezultatul efortului nostru pe <http://www.sandlabs.com/radiorcw.htm>

Astfel, proiectul a fost închis de mult, dar eu to mă gîndeam să-l aduc aici, în benzile noastre. Așa că, 6 luni în urmă, am dezgropat hardul și softul și la trebă cu mine.

Circuitul este un ASIC (Application Specific Integrated Circuit) care provine de la Yamaha. În el, am introdus prin programare, un complet DSP CORE de la OAK și cîteva utilități necesare pentru debugging. Radioul este de fapt o dublă superheterodină. Oscilatoarele au fost create folosind DDS (Direct Digital Synthesis), iar amplificatoarele de semnal sunt de fapt multiplicatoare de amplitudine. Filtrele de frecvență intermedie au fost construite sub forma a 128 TAP Finite Impulse Filter (FIR), iar tunerul se folosește de Fuzzy Logic.

Primul Oscilator Local, are capacitatea de a oscila între 100kHz și 150MHz iar al doilea este pe o frecvență fixă.

Ca să convertesc receptorul acesta într-un transceiver, am extras frecvența primului oscilator local și am mixato extern (într-un mixer convențional), cu un oscilator cu cristal pe 10,7MHz, frecvența primului IF. Rezultatul a fost că acum aveam o ieșire pe o frecvență ce coincidea cu frecvența receptionată. Problema cea mare a fost producerea celor două Side Bands.

Acestea din nou a fost produse intern în receptor, prin adăugarea de 4 FIR-s și prin multiplexarea funcțiilor de IF cu cele de TX.

Din pacate nu am avut destule "gates" ca să produc o calitate profesională de audio. Deci, acum aveam un generator de SSB și a trebuit să audugăm un Microfon Input la secția de audio.

Cînd totul a fost gata, am avut un transceiver capabil de 15dBm, USB/LSB/AM/FM pe orice frecvență de la 1MHz la 150MHz

Tot ce mai trebuia, era amplificatorul, care este construit cu un MRF630 dela Motorola. Si iată că la 12V Dc input, puteam măsura 780mA curent de colector. La un randament de 55%, asta este aproape 5W Rf.

Deci asta este QRP-ul meu!

Cît despre antenă, asta este o sîrma electrică de 2,5mm izolată cu PolyVinil, lungă de 200 de metri și agățată în copaci fară izolatoare. Punctul de intare este la un capăt și este alimentat printr-un "PI filter", care joacă rolul de antena tuner. Deci cam asta este.

Nu am intenția de a comercializa acest transceiver, deoarece am fost anunțați de Yamaha că cipul original va fi scos din fabricație.

Stiu că semnalul meu nu este prea puternic în țară și de aceea lucrez acum (cînd am timp) la un amplificator de putere.

Două tranzistoare Motorola MRF L54 la 50V și 50A, vor produce aproape 1,2 - 1,5kW la antenă. Amplificatorul este extrem de simplu și este foare mic, cam jumătate de cutie de ghete.

In schimb, alimentarea este MAJORA, mare și grea. Dar asta va fi subiectul unui alt mesaj, cred.

Daca aveți întrebări sau sugestii și dacă nu sunt de interes general, va rog să-mi scrieți direct la [avy@questonline.com](mailto:avy@questonline.com)

## PUBLICITATE

**Disponibil MODEM Home made la 1200 baud.**

Circuitele integrate TCM3105 și SN74LS14 sunt montate pe soclu. Pe placă mai este montat un stabilizator integrat de tipul 7805, tensiunea de alimentare externă poate fi între 6-12 Volti. Funcționează la orice calculator PC (Com1 sau Com2) și la Commodore-64 (Casetofon port) fără nici-o modificare.

Construcția este compactă, prevăzută cu conectori pentru calculator și transceiver. Funcționarea este stabila, reglata corect. Oferește schema electrică și cea de montaj.

**YO6ADM, Stefan, Reghin.** Info tel. 065-520.920; Home BBS: YO6ADM@YO5KAQ; E-mail: yo6adm@netsoft.ro

**Francisc Grunberg, YO4PX,** are disponibile următoarele:

- Compresor de microfon DAIWA MC-220, adaptabil exterior la orice transceiver care nu are procesor, 13,5V, 90 x 25 x 92 mm., 300g.

- Filtru activ audio all mode DAIWAAF-606K, adaptabil exterior la orice transceiver.

4 funcții: filtru NOTCH, decodator PLL-CW, band pass SSB (2,4 - 2,0 - 1,5 KHz)

band pass CW (140 - 110 - 80 Hz!)

- Transceiver handy YAESU FT-23R, 144-148 MHz, max 5 W, bandă continuă, 10 canale programabile, cu alimentator nou FNB-17, incărcător STABO cu timer de 14 ore

- Rotor de antenă MINIX AR-1102, max. 50 kg., rotație 360 grade, pentru antene U.U.S. sau TV, cu telecomandă

- Transceiver CB FM/AM 40 canale UNIVERSUM TC-404 cu microfon de mână

- Antena verticală whip pentru 27 MHz, cu talpă magnetică, fixabilă și pe masină fără suruburi

- Aparatură TV satelit: Antenă parabolică offset Ghimbav 1,2 m., cu trepied solid de sol, montură polară;

Pozitioner DRAKE APS-3240, 36 pozitii programabile, dar și fixare manuală, rotație est-vest 180 grade, memorii EEPROM non-volabile; Bratz actuator SUA puternic, 180 inchi.

- Ghid de conversație pentru radioamatori, 5 limbi, ediția 1999, oferită limitată. Relații la telefon: 041.651382 sau 092.742.671

## UBA CONTEST 2000

SSB	SOSB	80m	1. YO9XC	1.251pt (loc 26)
		2. YO5BLD	1.010 (loc 29)	
		40m	1. YO8AKA	8.683 (loc 14)
		20m	1. YO5TP	13.684 (loc 24)
		2. YO8COK	10.164 (loc 33)	
		15m	1. YO5CRQ	16.016 (loc 33)
SOMB		1. YO9AGI	110.741 (loc 24)	
		2. YO5KTK	75.447 (loc 28)	
		3. YO2KJI	60.085 (loc 34)	
		4. YO7ARY	39.762 (loc 47)	
		5. YO2CJX	22.268 (loc 61)	
		6. YO9IAB	18.018 (loc 66)	
		7. YO9AHX	14.849 (loc 71)	
MOp	Single Tx	1. YO4KCC	14.136 (loc 22)	
SOp - QRP		1. YO4AAC	13.857 (loc 7)	
		2. YO9GZU	6.040 (loc 10)	
CW	SOSB	80m	1. YO2CJX	10.143 (loc 9)
		40m	1. YO8RI/P	728 (loc 14)
		20m	1. YO9FJW	28.217 (loc 6)
		2. YO4CTO	12.788 (loc 19)	
		3. YO4BBH	7.218 (loc 28)	
		15m	1. YO9AGI	12.029 (loc 13)
SOMB		1. YO4ZF	62.160 (loc 39)	
		2. YO3BWK	52.528 (loc 45)	
		3. YO2ARV	34.086 (loc 60)	
SOp - QRP		1. YO4AAC	17.507 (loc 9)	
		2. YO9GZU	14.450 (loc 12)	

Tnx info ON4RU (ex. YO3CD) și YO3BWK

## CUPA FEROVIARULUI - 2000

A. Stații operate de radioamatori feroviari	18. YO9BQW	1.804
	19. YO7BSU	1.780
1. YO8BPK	7.499	1.753
2. YO6KYZ	6.949	1.683
B. Stații club și seniori	21. YO5KOP	1.598
1. YO8BGD	5.172	1.571
2. YO2KJI	5.160	1.542
3. YO3KPA	4.998	1.404
4. YO9FJW	4.773	1.168
5. YO4RDK	4.476	1.145
6. YO4SI	4.362	C. Juniori
7. YO8MI	3.914	1. YO7LUH
8. YO7KFA	3.690	2. YO3JOS
9. YO6BMC	3.650	3. YO5ODC
10. YO2AQB	3.618	4. YO9FYP
11. YO6KNW	2.983	5. YO60EJ
12. YO5KUJ	2.630	6. YO7GWA
13. YO4KRF	2.596	Lipsa log: YO5AIR
14. YO9KPM	2.530	Log control: YO2LAU, 4CSE,
15. YO7KQE	2.439	4FRF, 4FZX, 6PBP, 6QT.
16. YO4KCC	2.260	Arbitru verificator: YO2BV
17. YO9FL	2.187	

## Concursul US "Dunărea de Jos"

- Organizatori: județele celor trei țări care au constituit Euroregiunea Dunărea de Jos: Izmail (IZ), Reni (RE), Chilia (KI), Vilcovo (VL) din Ucraina; Cahul (CH) din Republica Moldova; Galați (GL), Braila (BR), Tulcea (TL) din România.
- Data: penultima săptămână din aprilie, orele: 03-05 UTC.
- Banda: 80m; 4. Mod de lucru: CW: 3540-3580; SSB: 3600-3700 kHz.
- Participanți: stații de radioamatori din toate țările.
- Controle: stațiiile din Euroregiunea Dunărea de Jos transmit RS(T)+001+abrevierea județului. Celelalte stații: RS(T)+001.
- Punctaj: Legături cu stații din Euroregiunea Dunărea de Jos: 2 puncte în SSB și 4 în CW

- Legături cu stații din afara Euroregiunii Dunărea de Jos: un punct în SSB și două puncte în CW.

- Punctajul legăturilor cu stații DX se triplează.

- Multiplicator: în fiecare rundă de 30 minute: județele din Euroregiunea Dunărea de Jos plus țările DXCC luate în SSB, plus cele luate în CW.

9. În fiecare rundă de 30 minute cu aceeași stație se poate lucra o dată în SSB și o dată în CW.

- Legătura se anulează la ambele stații dacă: ora diferă cu mai mult de trei minute, există o greșală la indicativ sau la abrevierea județului sau două greșeli la codul transmis.

O singură greșală la cod, înjumătăjește punctajul.

- Scopul unei runde este suma punctelor x multiplicatorul.
- Scopul total este suma scorurilor din cele patru runde.
- Se întocmește clasament separat pentru stațiiile Euroregiunea Dunărea de Jos și separat pentru celelalte stații.
- Fișele de concurs se trimit în termen de o lună la adresa (pentru anul 2001): **RADIOCLUBUL JUDEȚEAN TULCEA, CONCURSUL "DUNAREA DE JOS" PO BOX 43 OFICIUL PoȘTAL 5 8800 TULCEA ROMANIA.**
- Primii 10 clasări din Euroregiunea Dunărea de Jos primesc diplome. Primii 20 clasări din afară primesc diplome.

**CAUT: Filtru CW - YK 88 C sau YG88C, pentru TS 830.**

**Horatiu - YO5BBO, tel. 059-415276, sau**

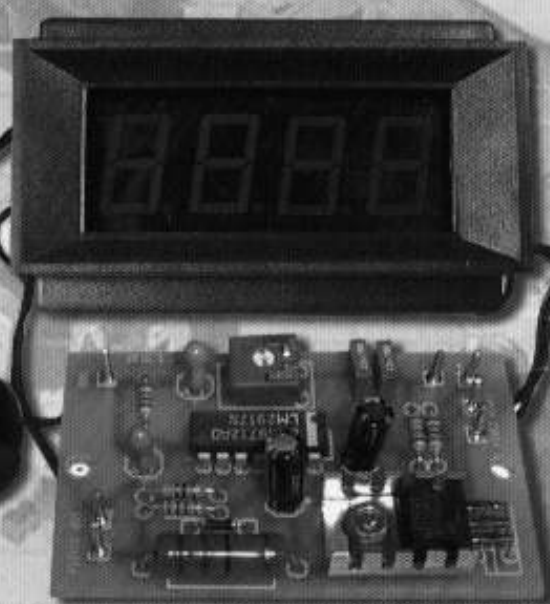
**059-144.365 (ac)**

# **conex** **electronic**

Str. Malca Domnului, nr.48  
sect. 2, Bucureşti  
Tel.: 242 2206, Fax: 242 0979



- **COMPONENTE ELECTRONICE**
- **APARATURĂ DE MĂSURĂ  
ȘI CONTROL**
- **KIT-URI ȘI SUBANSAMBLE**
- **SCULE ȘI ACCESORII  
PENTRU ELECTRONICĂ**
- **SISTEME DE DEPOZITARE**
- **CASETE DIVERSE**



**conex club**

**REVISTĂ DE  
ELECTRONICĂ  
PRACTICĂ  
PENTRU TOȚI**

**RADIOAMATORISM  
SERVICE TV  
OFERTE  
AMC  
TEHNICĂ MODERNĂ  
AUDIO HI-FI  
AUTOMATIZĂRI  
LABORATOR**



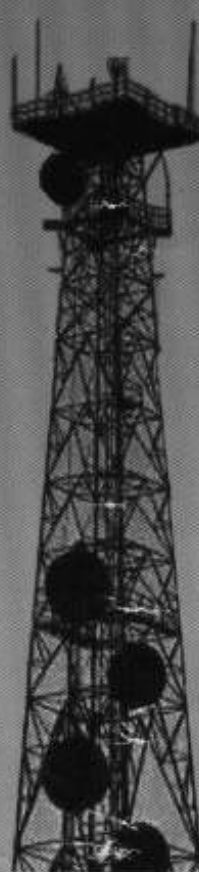
**YAESU**

*Choice of the World's top DX'ers<sup>SM</sup>*

## **ADVANCED RADIOCOMMUNICATIONS NETWORKS**



**VX 2000 MOBILE TRANSCEIVER**



**SITE PROPAGATION PROFILE**



**VX 400 PROFESSIONAL COMPACT**



**VX-5R TRIPLE BAND**



**VXR 5000 PROFESIONAL REPEATER**



**VX 10 FEATURE-RICH TRANSCEIVER**



# **AGNOR HIGH TECH**

COMMUNICATIONS & COMPUTERS COMPANY  
CONSULTING & ENGINEERING IN IT & C

Tel.: 340 54 57; 340 54 58; 340 54 59. office@agnor.ro  
Fax: 340 54 56; GSM: 094 56 89 98. www.agnor.ro